

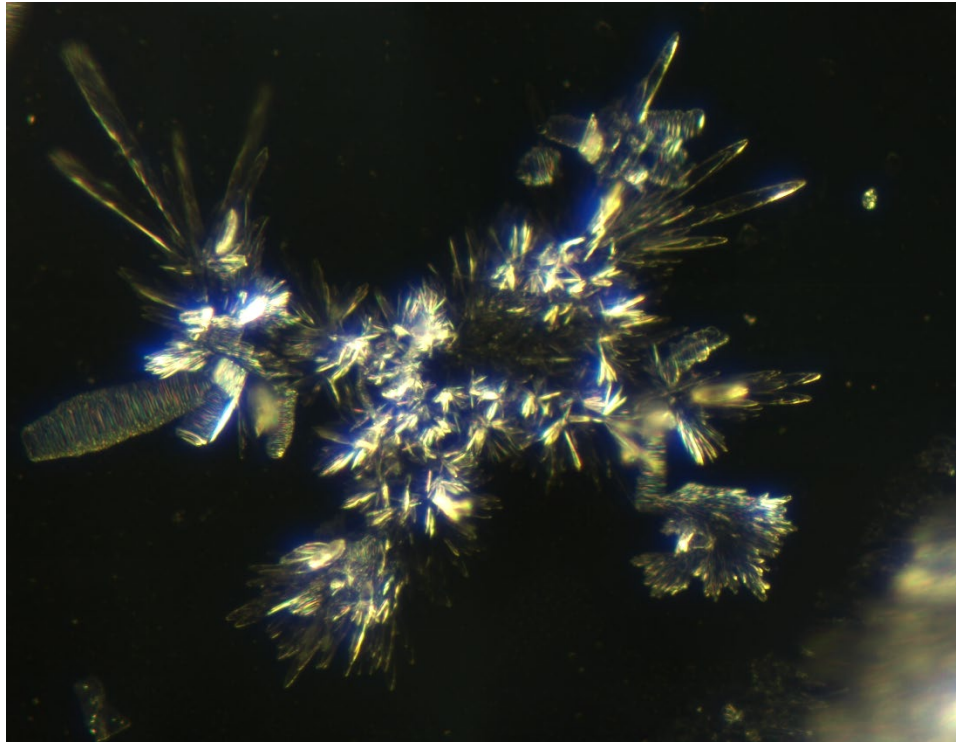
バイオナノテクノクラシー学術誌：2030年へのカウントダウン

隠された科学、新興技術、抑圧された真実の探求

歯科麻酔薬におけるコヒーレンス依存的自己組織化：受動的場曝露による構造変調

デイヴィッド・ニクソン, M.B., Ch.B.
独立研究者および医師
オーストラリア・ブリスベン

メール: david@drdavidnixon.com | ウェブサイト: www.drdavidnixon.com | ORCID: [0009-0007-9817-5421](https://orcid.org/0009-0007-9817-5421)



表紙画像定着滴蒸発後に未処理歯科麻酔薬中に形成された結晶構造
このような鋭角的な形状と分岐模様を持つ集合体は、場に基づく処理が自己組織化挙動に及ぼす影響を評価するための基準点として機能する。

献辞：カルロス・オロスコ

本研究は、コヒーレンスの科学と切り離せない洞察、情熱、そして生涯の使命を持つ親愛なる友人カルロス・オロスコに捧げるものである。彼は、コヒーレンスの鍵とは単なる場の概念や図式ではなく、光と愛、そして私たちの内にあるすべての色が一体となった生きた調和であると教えた

「回転するエネルギーの作用によって色が一つに溶け合うとき、白色が定義される—それはすべての色の統一を表す。私たちはそれを光と呼ぶ。したがって、すべての色が一つとなり、その一つの色がすべての色から成り立っていることから、これを調和と呼ぶことができる。」

—カルロス・オロスコ

カルロスは、真のコヒーレンスは力や制御から生まれるのではなく、身体、心、意図、そして場の統合から生まれることを理解していた。彼のこの研究への貢献は直接的かつ触媒的であった。彼のコヒーレンスの鍵装置を用いた共同実験の際に、私は初めて構造化された場が顕微鏡下での結晶形成に影響を与える能力を目の当たりにした。当時はその意味を完全には理解していなかったものの、これらのセッションが後の発見の基盤を築いた。

彼の教え—コヒーレンスと整合性が意図と現実の架け橋を形成する—は、本研究のすべての付録、実験、写真に響き渡っている。

カルロス、あなたの声がここにあります。



カルロス・オロスコがコヒーレンスと光の科学について語ります。

目次

概要.....	316
キーワード：.....	317
技術：暗視野顕微鏡、エネルギー変調、周波数ベースの処理、低強度場 曝露、オルゴナイト・ディスク、セラフィシステム。.....	317
一般向け要約.....	317
序論.....	318
材料および方法.....	320
結果：構造化自己組織化と場変調結晶化動態.....	325
セラフィ.....	332
オルゴナイト.....	336
結果の要約.....	349
考察.....	350
結論.....	356
参考文献.....	357
付録1：生体システムにおけるコヒーレンスドメイン。.....	359
付録2：コヒーレントウォーターの再考—デル・ジュディスら（2015）に関する考察.....	362
付録3：ヴァロアグラス、コヒーレンスの完全性、および場応答型自己組織化.....	368
付録4：高周波電磁場と合成コヒーレンスドメイン.....	369
付録5：非線形光学混合とリアルタイムホログラフィー.....	370
付録6：コヒーレンスモジュレーター：Wi-Fi、金、および構造化場.....	373
付録7. オルゴナイト場効果の機能的モデリング.....	380
付録8：「タフィープーラー」シーケンス：.....	381
付録9：世代別結晶化、コロイドの再分配、およびエネルギー—情報 分岐.....	384
用語集.....	387
謝辞.....	395
利益相反に関する声明.....	395
著作権表示.....	395
法的免責事項.....	396

歯科麻酔薬におけるコヒーレンス依存的自己組織化：受動的場曝露による構造変調

要旨

顕微鏡法により、特に歯科麻酔薬を含む特定の医薬品が自己組織化に一致する構造的挙動を示すことが明らかとなった。定着滴蒸発 (SDE) により、一貫した四相の連続過程が観察される：ナノ粒子の出現、コロイド凝集、小胞形成、そして結晶化の統合である。これらの構造体は幾何学的精密さ、場への感受性、動的応答性を示し、これらの特徴は従来の化学パラダイムでは説明がつかない。

本研究では、低エネルギー場介入がこの過程を調節し得るかを検討する。歯科麻酔薬サンプルは、樹脂、アルミニウム、粉碎石英から構成される受動的オルゴナイト・ディスクに48時間曝露されるか、あるいはセラフィ・プラズマ場に2時間曝露され、その後SDEおよび暗視野顕微鏡法により分析された。結果は、オルゴナイト曝露後に小胞の運動が著しく減少し、結晶化が中断され、構造体が崩壊することを示した。これに対し、セラフィは構造の発達を強化または加速する傾向が認められた。

これらの知見は、提唱された四相自己組織化モデルを支持するとともに、コヒーレンス (C)、共鳴 (R)、情報流 (F) の積として界面ポテンシャルを定義するバイオ・シンセティック・インターフェース (BSI) フレームワークを提示する。特定の条件下での構造崩壊は、コヒーレンスの破壊が生物学的システムに埋め込まれた合成ナノ構造を解体する有効な戦略となり得ることを示唆している。

同時に、結果はすべてのコヒーレンスベースの介入が合成組織に均一に影響を与えるわけではない可能性を示し、場ベースの治療法における標的化された探求の必要性を強調している。

キーワード：

技術：暗視野顕微鏡、エネルギー変調、周波数ベースの処理、低強度場曝露、オルゴナイト・ディスク、セラフィシステム。

構造体：円-長方形ドメイン (CRD)、コロイド、結晶性自己組織化、合成生体材料、自己組織化ナノ構造、小胞、周辺崩壊領域 (PCZ)。

理論的フレームワーク：生体合成インターフェース (BSI) モデル、コヒーレンスパラドックス、コヒーレンス破壊、共鳴層別化、信号応答型アーキテクチャ、構造的不安定化、四相性シグネチャ。

一般向け要約

過去4年間にわたり、私は数千時間を費やして歯科麻酔薬およびその他の医療製品を顕微鏡下で観察してきた。繰り返し、私は奇妙な構造体に遭遇してきました：繊維、結晶、そして所属していないように見えるコロイド粒子です。これらは単なるランダムな汚染物質ではありません。それらは構造化され、自己組織化し、環境に応答しているように見えます。まるで自然発生的な副産物というよりは、設計されたシステムのようなのです。

もしこれらの構造体が合成的かつ信号に基づくものであれば、化学的破壊を目的とした従来の処置では不十分かもしれません。本研究は別の可能性を探ります。すなわち、低強度場曝露は、これらの構造体が依存していると思われるコヒーレンスを妨害できるのか、という点です。

これを検証するために、密封された歯科麻酔薬のバイアルを、樹脂1/3、アルミニウム1/3、粉碎水晶1/3からなる受動的なオルゴナイト・ディスクの隣に配置しました。このディスクは静的で非动力的な場を生成します。電気も熱も化学的相互作用もありません。第二の試験では、他のサンプルを、修復目的で推奨されるアクティブなプラズマベースの場装置であるセラフィによる2時間のセッションに曝露しました。

48時間の曝露後、顕微鏡法により顕著な変化が明らかになりました。オルゴナイトで処理された多くのサンプルは、まったく結晶化しなかった。通常出現するはずの構造体、例えば内部に渦を持つ大型の小胞や特徴的な結晶モチーフは存在しなかった。いくつかのケースでは、小胞の運動が完全に停止していた。これらの結果は、オルゴナイトフィールドが未処理サンプルで通常観察される自己組織化の動態を広範に乱したことを示唆している。

対照的に、セラフィフィールドへの曝露は結晶化を阻害せず、むしろその過程の特定の特徴を強化した可能性がある。これは重要な考察を促す。異なるフィールドベースの技術は、これらの合成構造体に対して均一な効果を持つとは限らない。あるものは安定化させ、他は破壊する—この動態はさらなる検討を要する。

これらの知見は、合成自己組織化システムが振動的または構造的コヒーレンスに依存している可能性を示唆し、受動的なフィールドの攪乱でさえその形成に干渉しうることを示している。もしそうであれば、これは新たな治療介入の道を開く。物質自体を攻撃するのではなく、それを結びつける信号を断つことである。同時に、これがいわばコヒーレンス・パラドックスをもたらす。いくつかの治癒技術はこれらの構造体の解体を助けるかもしれない。他者は意図せずして彼らの繁栄を助けることがある。

序論

2023年、マテオ・テイラーは定着滴蒸発（SDE）過程および歯科麻酔薬で生成される結晶の複雑な性質を強調した。この洞察は、ファイザー・コミナティCOVID-19ワクチンにおける類似現象の詳細な調査に続くものであった。著者は25年の経験を持つ家庭医であり、結晶化挙動の直接観察と分析に数百時間を費やしてきた。最初はコミナティ、続いて歯科麻酔薬サンプルにおいてである（Nixon 2025a, 2025b）。同年、著者は非公式のグループ「マイクロノーツ」を立ち上げた。このグループは多様な背景と技能を持つ個人で構成され、これらの微視的発見を探求することに関心を持っている。このグループの数名は、その後、歯科麻酔薬サンプルだけでなく、様々な生体液の詳細な検査にも多くの時間を費やしている（Nixon 2025d）。

著者およびマイクロノーツの他のメンバーの発見は、驚くべき一貫性を示した。観察されたすべての歯科麻酔薬は蒸発過程において同一の構造パターンに従っていた。親しみが深まるにつれて、各ブランドが同一の大枠の挙動に従いながらも、微細で再現性のある差異を示すことが識別可能となった。

最初はノイズのように見えたものが、実際には信号であり、学習・追跡・予測可能な動的かつ多段階の進行であることが判明した。当初は三相性の特徴として記述された—コロイド、小胞、結晶—さらなる調査により、さらに早期の段階が明らかとなった。コロイド形成の前に、蒸発の初期段階でナノスケールの微粒子の不可視相が自己組織化し、後に光学的に可視化される基盤を形成しているようである。この拡張された理解は、医薬流体における結晶化動態の四相モデルを支持するものである。

この過程はブランドを問わず普遍的であるだけでなく、時間を超えて一貫していることも示された。20年以上前に製造された歯科麻酔薬も、蒸発時に現在の製剤と同様の特徴的挙動を示した。ここに避けがたい疑問が生じる：この過程は正常なものなのか、それとも長い間異常であったのか？長期にわたる発展の可能性は、コミナティ試料において類似の自己組織化挙動が観察・記録された先行研究（Nixon 2025a）と整合している。これらの構造現象が製品や時代を超えて埋め込まれているとすれば、それは最近の異常ではなく、単にこれまで注目されなかった安定かつ意図的な構造である可能性がある。

医薬品の分野には「ありふれた事象は頻繁に起こる」という格言がある。これは診断推論を導くヒューリスティックであると同時に、稀なまたは予期せぬ所見が見落とされた際に臨床医を不当な批判から守る盾として機能する。しかし、本件においては逆の視点を考慮しなければならない。構造的挙動が時間、ブランド、観察者を超えて一貫して観察される場合、それらが単なるアーティファクトや外れ値である可能性は低くなる。医療コミュニティは、これらの現象が決して稀ではなく、

誰も注視してこなかったために見えなかっただけである可能性を真剣に受け止めなければならない。もしこれらの発見が真実であり再現可能であるならば、調査の義務はもはや周縁的な観察者に委ねられるものではなく、特にこれらの発見を探求しないことが治療機会の逸失につながる場合には、専門職全体に課されるものである

2022年にマテオ・テイラーは、ファイザー・コミュニティにおける結晶成長が近傍のWi-Fi信号の変化によって調節可能であることを示した。2023年には、著者がコロイダルゴールドの近接が同様だが逆の効果、すなわち結晶形成の破壊または不安定化をもたらすことを示した。これらの反応は従来の化学では容易に説明できず、むしろより複雑な生物物理学的メカニズムが関与していることを示唆している。これらの知見を踏まえ、本研究は歯科麻酔薬の結晶化過程、特に定着滴蒸発（SDE）中において、二つの異なる場の影響、すなわちオルゴナイト・ディスクによって生成される受動的かつ低エネルギーの場と、セラフィシステムによって生成される能動的かつ高エネルギーのプラズマ場への曝露によって調節可能かどうかを検証した。

バイオ・シンセティック・インターフェース（BSI）モデルは、ファイザー・コミュニティにおける結晶構造が周囲のエネルギー条件に敏感であるという先行観察に応じて開発された。本研究は、これらの場に基づく介入の影響下でSDEプロセスが変化するかどうかを観察することで、同様のモデルが歯科麻酔薬の結晶化挙動にも適用可能かを検討するものである。

材料および方法

顕微鏡法のセットアップ

顕微鏡観察は、ブライトフィールドおよびダークフィールド撮影が可能な9W LED光源を備えたNeogenesisシステムを用いて実施した。画像は最大解像度3264 × 1836ピクセルのHDMI HD USBカメラで撮影した。

- ブライトフィールド: アッペコンデンサー（フロストフィルター付き、NA = 1.25）
- ダークフィールド: 油浸カーディオイド型コンデンサー

スライドの準備

標準顕微鏡用スライド（76.2 × 25.4 mm、Livingstone International製）は、70%滅菌イソプロピルアルコールで洗浄し、Kimwipesを用いて乾燥させ、微粒子汚染を最小限に抑えた。

試料の準備

歯科麻酔薬の試料は密封バイアルから採取し、試験前に常温下で保管した。添加剤や固定剤は使用しなかった。

オルゴナイト曝露プロトコル

試験用バイアルは、室温で48時間、受動的なオルゴナイト・ディスクの直上に置いた。ディスクは、約3分の1ずつの樹脂、アルミニウム削り粉、粉碎水晶を圧縮して静的場を生成するマトリックスとして構成されている。電源や能動的な変調は一切関与していません。曝露は冷却なしの常温環境下で行われました。



図1。コヒーレンス破壊実験に用いられたオルゴナイト・ディスク上に配置された歯科麻酔薬のバイアル。オルゴナイト・ディスクは、樹脂1/3、アルミニウム1/3、粉碎水晶1/3で構成されています。ディスクと医薬品液滴との直接接触はありませんでした。むしろ、顕微鏡法観察前に48時間にわたり受動的にエネルギー曝露が維持されました。ディスクは無電源であり、標準計測機器下で測定可能な電磁場を発生させています。

セラフィ曝露プロトコル

比較介入として、追加サンプルはSDE分析前に2時間のセラフィ処理を受けました。セラフィシステムは、調和周波数カスケードにより駆動される共役希ガス管を介して縦方向プラズマ場を生成します。サンプルは処理全期間、システムの焦点中点に配置されました。物理的接触は一切ありませんでした。この曝露時間は、潜在的な構造変調を最大化するために標準使用時間を超えて延長されました。

¹本のバイアルは曝露期間中、終始密封されたままでした。写真は実験終了後に撮影されました。



図2. 治療室におけるセラフィ装置の設置状況。セラフィは、ガラス製プラズマチューブアレイを介して高電圧の非接触バイオアクティブ場を供給する、プラズマベースの周波数およびコヒーレンス変調システムです。これは、高強度エネルギー処理と受動的オルゴナイト曝露モデルを比較するための別段階の試験で用いられました。試料への直接接触は一切ありませんでした。

定着滴蒸発（SDE）解析

曝露後、液滴はブライトフィールドおよびダークフィールド条件下で、100倍から1000倍の倍率にて撮像されました。結晶化、小胞動態、およびコロイド運動は蒸発過程全体にわたり観察されました。すべての試料について複数の時間点で画像シーケンスが取得されました。

コントロールおよびアーティファクト検査

本試験には流体のみのコントロールは含まれていませんが、これまでの広範な試験により、観察された結晶および小胞構造体が顕微鏡法のアーティファクトではないことが確認されています。生理食塩水、蒸留水、および対照調製物を用いた先行研究では、同等のSDE条件下において比較可能な幾何学的構造や動的集合体は得られなかった

セラフィ曝露：起源、理論的根拠、および実装

セラフィシステムは、ダン・ウィンターとポール・ハリスによって開発された非接触型エネルギー処理モダリティである。これは、場のコヒーレンスを有する電磁場への曝露を通じて細胞の秩序回復を目指す実験的バイオエネルギーデバイスの系譜に由来する。位相共役、縦波スカラー波形、および電荷の再分配を含む理論モデルに基づき、本システムはプラズマ物理学、神聖幾何学、ならびに生物物理的共鳴の原理を統合している。

2010年代初頭に概念化されたセラフィは、1960～70年代のフランスにおけるアントワヌ・プリアールのプラズマベース電磁治療が動物モデルに再生効果をもたらした基礎研究や、縦方向エネルギー伝送に関するニコラ・テスラの推測的寄与に基づいて構築されている。この遺産を踏まえ、ウィンターとハリスはフラクタル場動力学を応用し、生物組織の電気的対称性と場のコヒーレンスの回復を通じて組織を再充電することを目的としたシステムを設計した。

セラフィシステムの核心には、対向配置された二つの希ガスプラズマ管があり、そこから共役した一対の電磁波形が放射される。これらの放射は、低周波の静電ポテンシャルと約3 MHzを中心としたスカラー変調搬送波を組み合わせた周波数カスケードによって生成され、約0.1～500 kHzの範囲の高調波成分を内包している。その結果生じる縦波場は理論的に

相補共役誘電環境を創出し、対向する波面が破壊的干渉を打ち消し、修復的情報内容を増幅すると考えられている。

本研究以前に実施された予備的顕微鏡法調査では、40分間のセラフィ曝露後に異常構造体の検出可能な減少は認められなかった。暗視野およびブライトフィールド条件下のいずれにおいても、結晶形成、小胞の溶解、コロイドの変化の抑制は観察されなかった。これらの知見は、曝露時間が不十分であったか、あるいはシステムの作用機序が観察された構造体の構造と適合しなかった可能性を示唆している。

これに対処するため、本研究では曝露時間を二時間に延長した。これは、通常ヒト被験者を対象とした治療応用で用いられる標準的な20~40分を大幅に超えるものである。試料は二つのプラズマチューブ間の焦点中間点に配置され、曝露期間中は連続的にフィールドの影響下に置かれた。

開発者によれば、セラフィフィールドは分子の電荷再分配、コヒーレンスドメインの再配列、および構造的無秩序の逆転を促進するとされる。本研究におけるその関連性は、このようなコヒーレントなフィールドが、特に微細なフィールド相互作用や非ランダムな静電的配列によって構造が維持されている場合に、異常な自己組織化挙動を破壊または中和し得るとする仮説にある。

曝露後、すべての試料は標準化された定着滴蒸発（SDE）プロトコルに従い処理され、同一の顕微鏡条件下で撮像された。適用可能な場合にはC₆₀Oil変調が施された。結晶形成、コロイド運動、小胞動態の比較評価により、未処理対照および他のエネルギー曝露モデルと比較してセラフィの効果が直接的に検証された。

オルゴナイト曝露：組成、理論、および応用

オルゴナイトは、その支持者によれば、非コヒーレントまたは破壊的な電磁的影響を構造化され、生物学的に支持的なフィールドへと変換すると信じられている複合材料である。2000年代初頭に普及したオルゴナイトは、ウィルヘルム・ライヒの研究に着想を得ており、彼はオルゴンという用語を用いて仮説上の普遍的生命力を表現しました。20世紀中頃の微細エネルギー理論を基盤とし、オルゴナイトは従来の電磁気学的パラダイムの外側で機能する場に基づく思考の伝統を反映しています。主流の物理学では正式に認められていないものの、オルゴナイトは水の構造化、植物の活力、主観的幸福感に及ぼすとされる効果により、多くの逸話的および実験的関心を集めています。これらの観察は、標準的な計測機器ではまだ十分に特徴付けられていないコヒーレンス場の影響を示唆しています。

オルゴナイトの標準的な配合は、三つの主要成分を含みます：

- (1) 通常はポリエステルまたはエポキシの有機樹脂で、電気絶縁体として機能します。
- (2) アルミニウム、銅、真鍮の異種混合物であることが多い金属片が

マトリックス全体に分散され、微小容量接合のネットワークを形成します；および

(3) 通常は透明またはローズクォーツの水晶結晶が樹脂内に埋め込まれ、硬化時に圧縮されて圧電応答を生み出します。

いくつかの配合には、黒トルマリン、セレナイト、シュンガイトなど、その評判の高いエネルギー特性を有する鉱物も含まれています。

理論モデルは依然として推測的であるものの、オルゴナイトの潜在的効果を説明するためにいくつかのメカニズムが提案されています。これらには以下が含まれます。

(a) 圧縮された石英が静電場を生成し、近傍の分子構造に影響を与える圧電分極。

(b) 分散された金属粒子が局所的な場の勾配を形成し、電荷動態を変化させるマイクロキャパシティブ電荷分布。

(c) ロシアの理論モデルに基づくねじれまたはスピン場の生成で、回転場が電磁放射とは独立して情報を伝達する可能性が示唆されています。

(d) スカラーまたはコヒーレンス場の誘導で、硬化したマトリックスのフラクタル構造が受動的なスカラーアンテナとして機能し、周囲の場のコヒーレンスを変調し、量子真空構造と相互作用する可能性があります。

本研究では、密封された歯科麻酔薬の試料を中型のオルゴナイト・ディスク上に直接置き、環境条件下で48時間連続曝露しました。冷蔵、浸漬、または外部電源は使用せず、近接曝露のみが用いられた。この曝露時間は、事前の経験的試行および非公式のキネシオロジースクリーニングに基づいて選択されており、いずれも24~72時間の場曝露後に構造挙動の測定可能な変化が生じる可能性を示している。重要なことに、マトリックス成分との直接接触は一切なかった。曝露モードとしては近接のみが用いられた。

48時間の曝露期間終了後、試料は他のすべての実験群と同様に顕微鏡法および定着滴蒸発（SDE）プロトコルに従って処理された。これには、結晶化の動的イメージング、小胞形成、コロイド運動、およびC₆₀オイルブレンドによる後続の変調が含まれる。構造的特徴は、未処理対照および他のエネルギー曝露モデルと比較して、コヒーレンス、複雑性、動的挙動の変化について評価された。セラフィシステムとは対照的に、オルゴナイト曝露は小胞凝集の遅延開始、コロイド運動の変化、結晶形態の変容など、明確な変化をもたらした。これらの知見は、受動的なコヒーレンス誘導場が医薬品基質における合成自己組織化に影響を及ぼするという仮説を支持するものである。

要約

セラフィおよびオルゴナイトに帰せられるメカニズムは従来の物理学の範囲外にあり、正式な査読付き検証を欠いているが、本研究で記録された多くの構造体、例えば結晶-繊維集合体、小胞-コロイドハイブリッド、いわゆるマイクロメカノ複合体についても同様のことが言える。これらの形成体は科学文献に対応する記載が存在しないにもかかわらず、顕微鏡法により直接観察可能である。

本論文の目的は、理論的受容性に基づいてエネルギー治療法を擁護または否定することではなく、顕微鏡法、連続再現性、応用運動学を探索的手法として用い、その経験的效果を評価することである。特に自己組織化する医薬品構造体の破壊における観察された場誘導変調の文脈において、確立された説明フレームワークの外で機能する技術を調査することは合理的かつ必要である。

これにより、本研究は認識論的権威の従来の流れを逆転させる。すなわち、出版されたものからではなく、観察されたものから出発するのである。

これらのシステムの主流な検証は依然として限定的であるが、位相共役光学（ヤリブ, 1978）、圧電分極（福田・安田, 1957）、および水のコヒーレンスドメイン（デル・ジュディスら, 1988, 1989, 2015; ポラック, 2013）を含むいくつかの隣接領域は、観察された現象を枠付ける理論的文脈を提供し得る。これらのモデルは完全な説明を提供するものではないが、合成自己組織化プロセスにおける場に基づく攪乱の調査に対して概念的な支持を与える。

結果：構造化自己組織化および場による調節された結晶化動態

比較のための明確な基準を確立するために、一連の歯科麻酔薬サンプルをブライトフィールドおよび暗視野顕微鏡下で、C60含有油への曝露の前後で観察した。未処理の対照群は、定着滴蒸発（SDE）中に顕著な自己組織化の進行を示し、周辺フィラメント、小胞様包摂体、そして最終的には直線的幾何学を有する結晶モチーフを形成した。これらの構造体は、建築的規則性と空間的制約を特徴とし、乾燥段階を通じて一貫して出現し、コヒーレンスを維持した。それらの形成は非ランダムな過程を示唆しており、隠れたエネルギーフィールドや潜在的なプログラミングによって制御されている可能性がある。この初期段階の挙動は、場に基づく処理の後続効果を評価するための視覚的かつ概念的な基準点を確認した。以下の図は、この展開する論理を記録している。本研究全体で参照されるこの基礎的パターンは「四相シグネチャー」と呼ばれ、すべての場による攪乱または強化された挙動の基準として機能する。

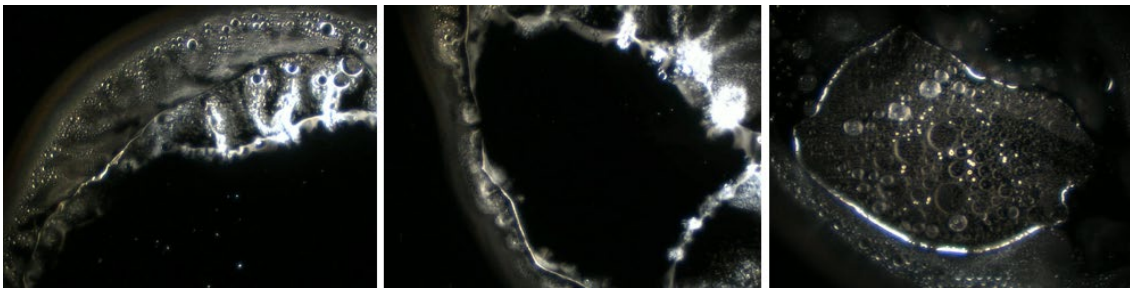


図3. 未処理歯科麻酔薬における初期蒸発段階での自己組織化の開始。放射状のフィラメント、縁部の活動、および埋め込まれた小胞様包含体が異なる微小領域に出現する。倍率40倍。

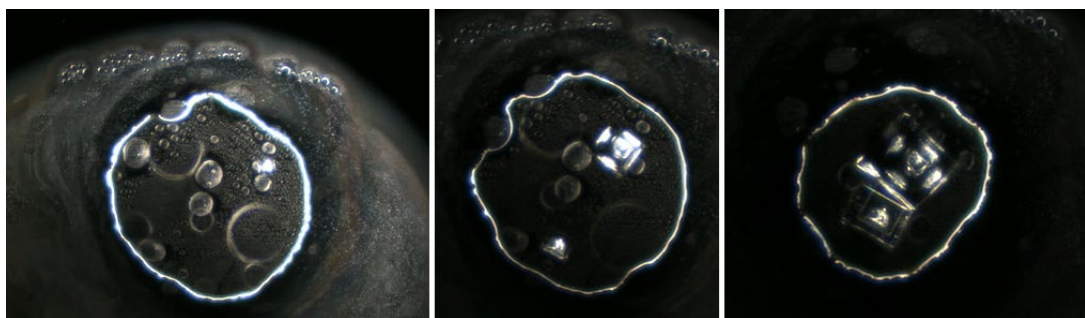


図4. 直線的な結晶モチーフおよび閉鎖領域への進展。小胞状および幾何学的要素が共存し、ハイブリッド化した相挙動を示唆する。倍率40倍。

図3および図4は、未処理歯科麻酔薬サンプルにおける第二サイクル定着滴蒸発（SDE）中の連続的変容過程を記録しており、結晶形態からトロイダルおよび小胞形態への複雑な遷移、その後の幾何学的モチーフの再出現を明らかにしている。図3において、初期の対をなす結晶は表面の完全性と内部秩序を示し、その後溶解して輝くトロイダルハローと持続する小胞残留物を露呈する—これは場の構造化またはエネルギーの刻印を示唆している。図4は、エッジ拡張現象と構造進化を強調している。明確な境界を持つ小胞密集領域から、四角形および長方形の結晶モチーフが発生し、不連続性付近で優先的に核生成する。これらは内部空隙と角度幾何学を伴う完全な区画化された結晶集合体へと進展する。未処理試料に特有のこれらの特徴は、非古典的でおそらくプログラムされた自己組織化過程を示している。

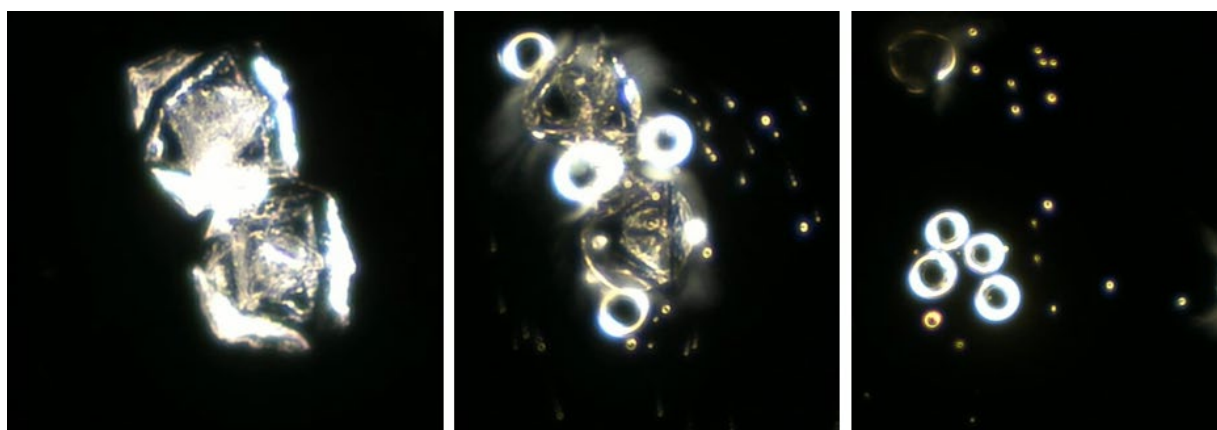


図5。第二サイクルSDE中の未処理歯科麻酔薬における連続的変態。初期の対をなす結晶（左）は発光するトロイダル（中央）へと溶解し、その後持続的なハイブリッド小胞-トロイダル残留物（右）が観察され、場による構造化の保持を示唆する。倍率200倍。

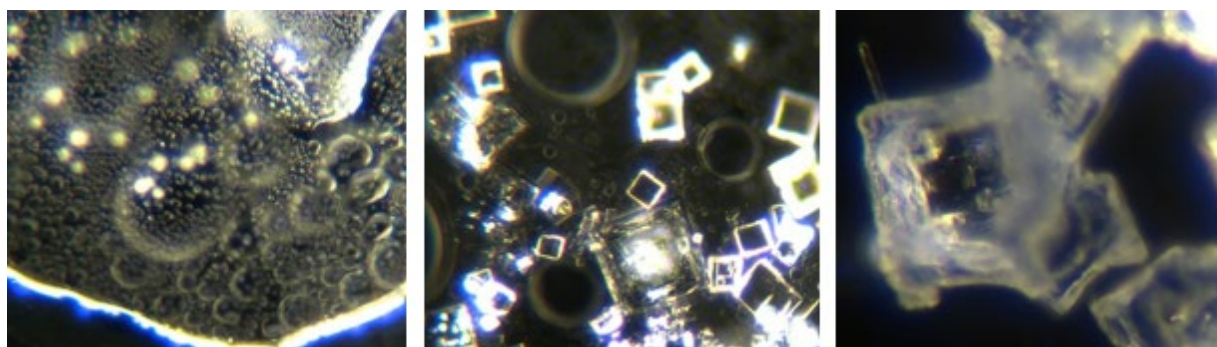


図6。未処理歯科麻酔薬における構造の出現。小胞密集領域（左）は長方形の結晶モチーフ（中央）を生じ、内部空隙と角度対称性を持つ完全に発達したエッジ拡張結晶（右）へと至る。倍率100倍、100倍、200倍。

未処理歯科麻酔薬サンプルの連続撮影は、構造体の進化が小胞密集領域から始まり、高度に秩序化された結晶モチーフへと至る層状の協調的变化を明らかにする。これらの遷移は、特に組織勾配が集中すると考えられる縁辺域に沿った明確な形態学的境界に沿って生じる。正方形、長方形、内部空隙などの直線的形態の出現は、場の配向やテンプレート駆動プログラミングの影響を受けた非確率的成長機構を示唆する。均一な飽和と格子伝播に従う古典的な結晶化とは異なり、これらの構造は区画化された相特異的領域から生じる。積層された縁、埋め込まれた空隙、小胞状中心を含む観察された構造体は、誘導された多相自己組織化過程を示唆する。このような挙動は、局所的なエネルギー条件に応じて流動性または小胞性前駆体から秩序が生じる医薬品賦形剤における既報の結晶転移と一致する。これらのモチーフの再現性と複雑性、特に未処理試料においては、構造プログラミングが配合物の固有かつおそらく設計された特性であるという仮説を強化する。

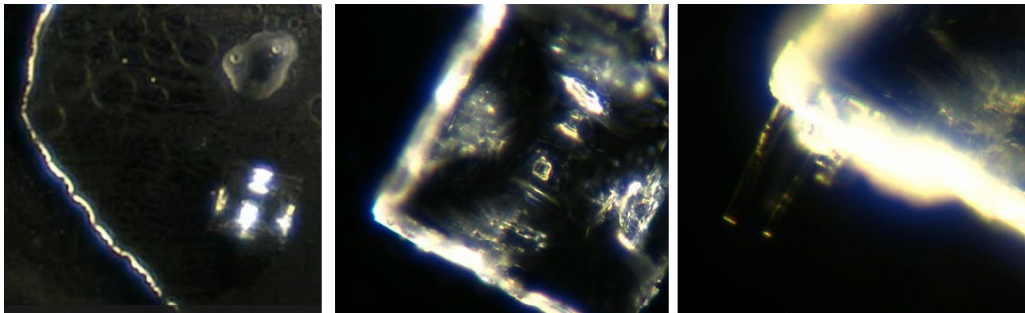


図7. 未処理歯科麻酔薬における連続的な出現。結晶モチーフは小胞が豊富な縁辺で形成され、初期の縁部伸長（左）から角状モチーフ（中央）、完全な結晶構造（右）へと進行する。倍率40倍、100倍、200倍。

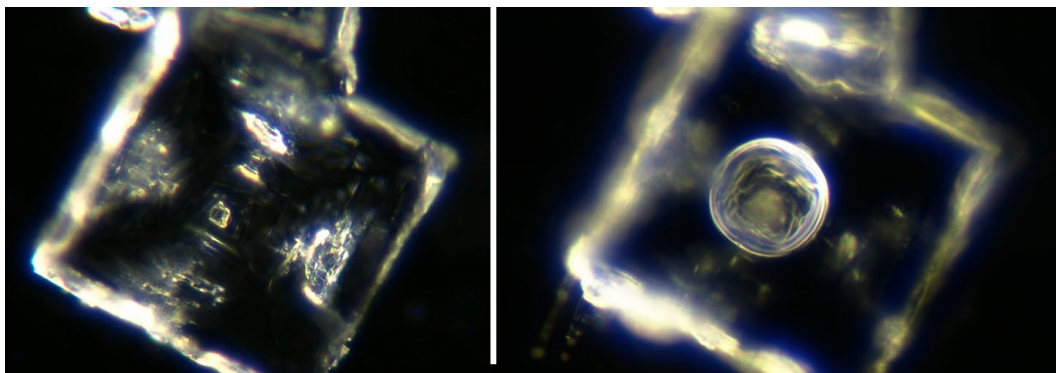


図8. 未処理歯科麻酔薬由来の角状結晶。層状の下構造（左）および中央の小胞性包含体（右）は、テンプレート化された区画化成長を示唆する。倍率200倍。

複数の試料で観察された結晶化の遅延は、内部組織化および構造的複雑性を可能にする上で重要な役割を果たしていると考えられる。急速な沈殿が無秩序または平面的な形成をもたらす傾向があるのに対し、遅延した結晶化は入れ子状の幾何学、軸対称性、および局所的な包含体の出現に時間を与える。これらの特徴、特に以下に示す長方形の結晶は、熱力学的な沈降のみで駆動されるのではなく、内部の場勾配や残留エネルギーの刻印によって媒介される可能性のある自己組織化プロセスを示唆している。繰り返しの観察により、中央のトロイド、埋め込まれた長方形、同心の光構造など、時間とともに持続し進化する安定したモチーフが明らかとなり、静的ではなく動的な構造体であることが示され

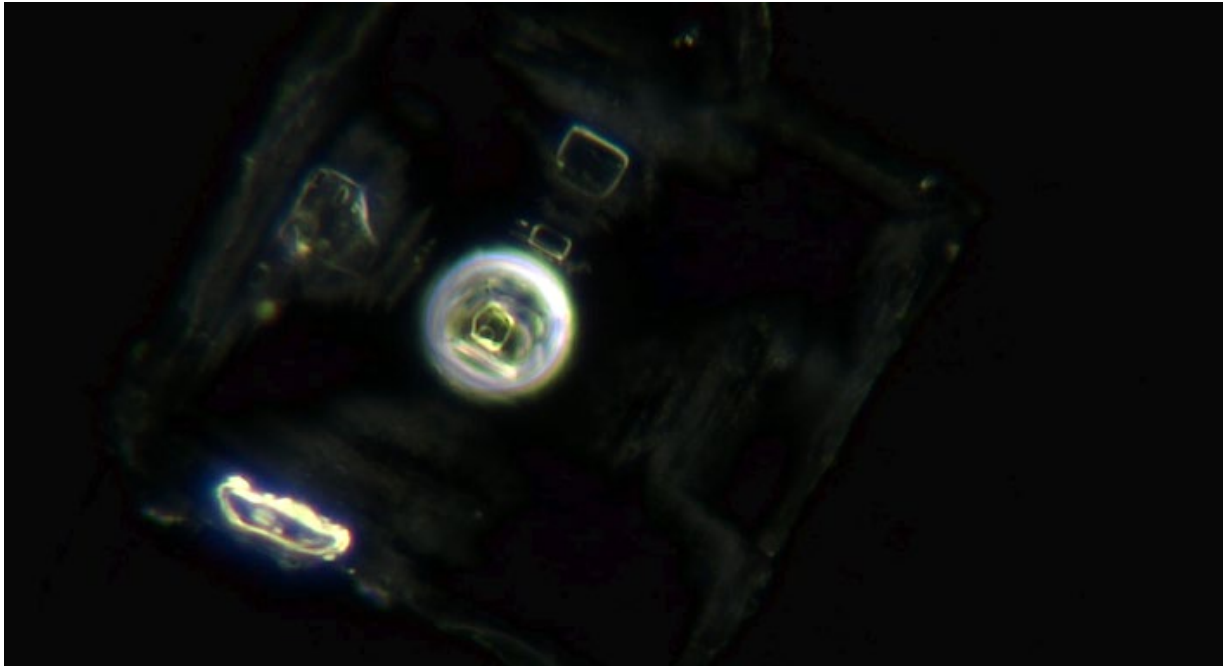


図9. 基準時（図6）および24時間後（図7）に撮影された長方形結晶は、中央構造の強化と明確な同心包摂体を示している。正方形および円形のモチーフは光学的に活性を維持しており、内部組織の持続性と応答性を示している。

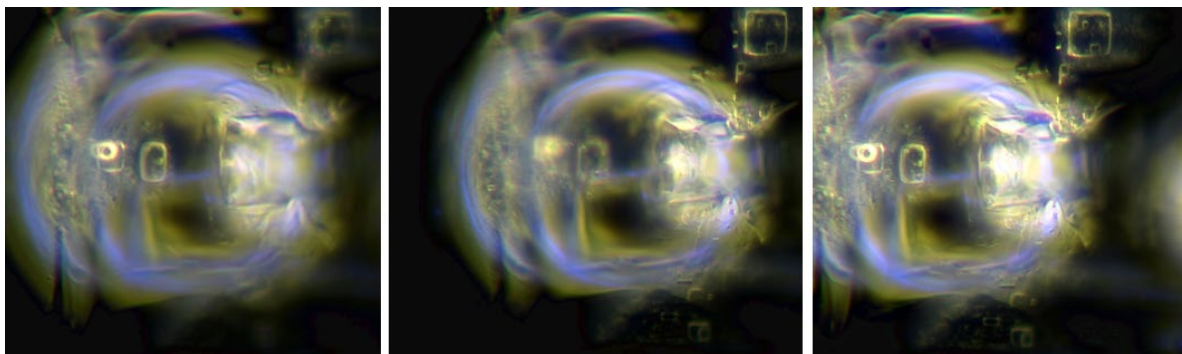


図10. 焦点面シーケンスは、未処理歯科麻酔薬結晶内のトロイダル光構造、長方形包摂体、および区画化された内部ゾーンを明らかにする。EDF合成画像は組織化された内部構造を確認する。倍率200倍。

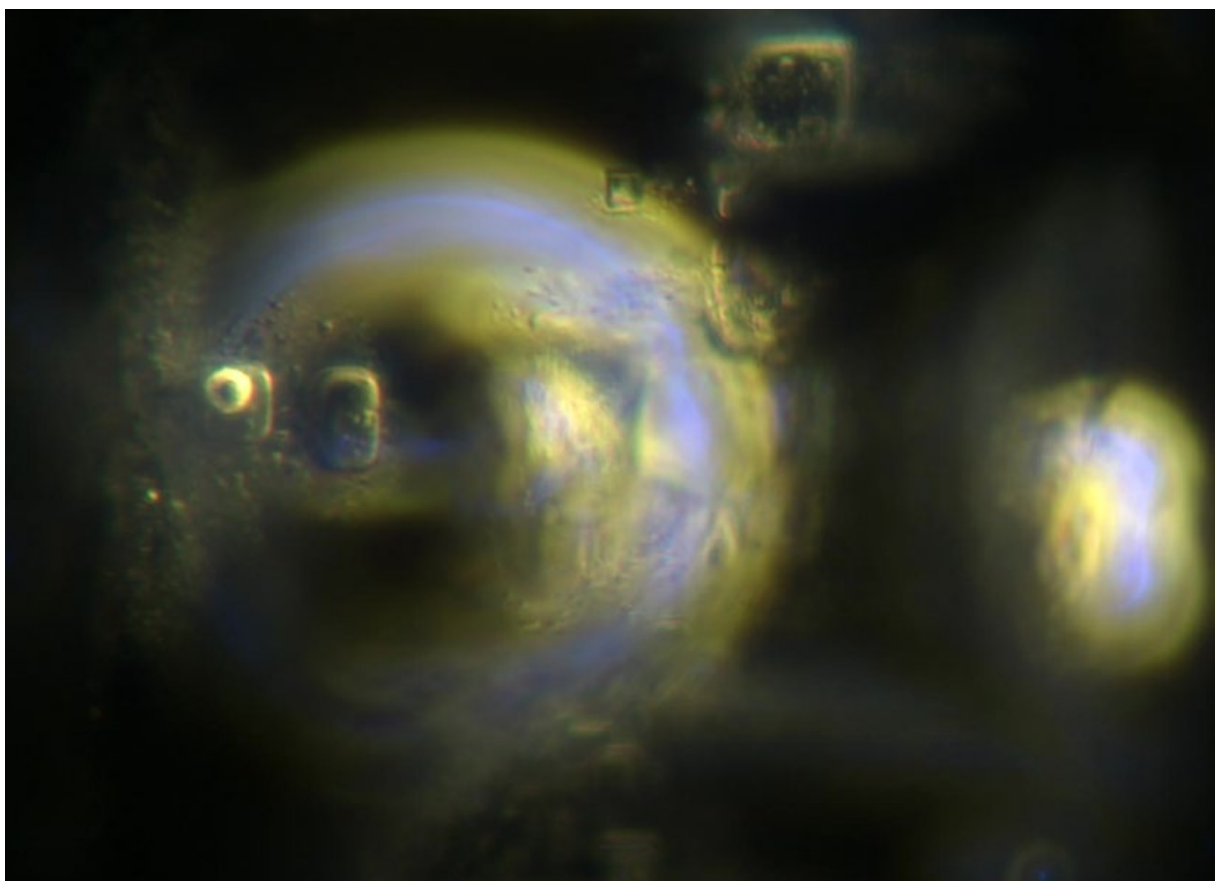


図11. 初回撮影から2時間後のトロイダル構造のクローズアップ。対称性および内部構造は時間経過とともににより精緻化し、矩形包有物およびコヒーレントな弧が強調された。倍率200倍。

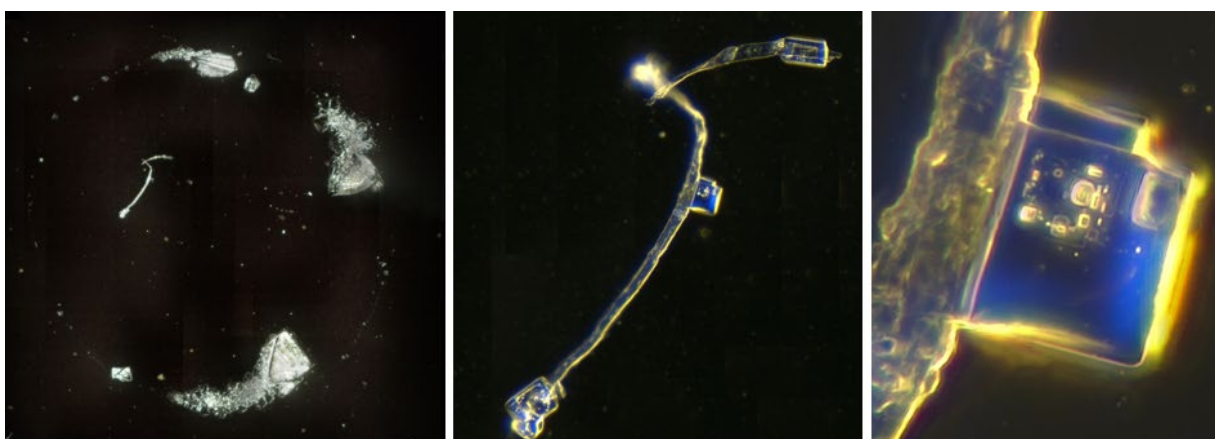


図12. 第二回定着滴蒸発（SDE）サイクル後の結晶成長を示す合成パネル。

左：低倍率ダークフィールド観察により、角度幾何学を伴う部分的な円形分布の結晶物質とほぼ中央に位置する繊維が明らかとなった。中央：3つの結晶が付着した単一繊維。右：中央の結晶-繊維集合体（CFA）のクローズアップ。倍率：左（約25×）、中央（200×）、右（400×）。

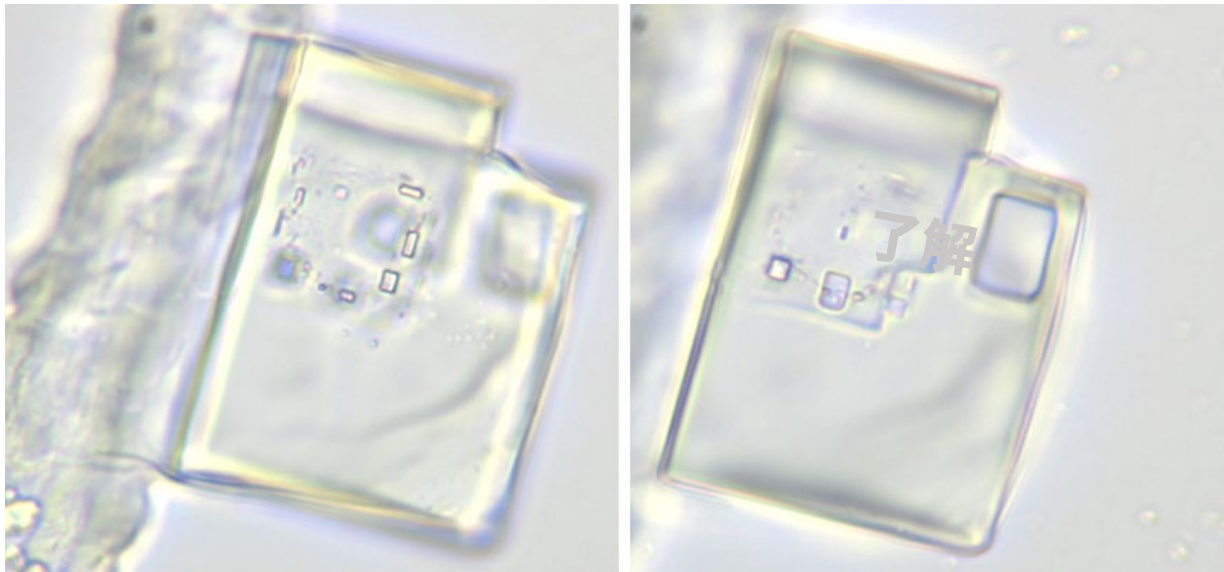


図13. 未処理歯科麻酔薬の矩形結晶の対となるブライトフィールド画像。内部の幾何学的切り込みおよびおそらくテンプレート化された組織化を示す。ブライトフィールド倍率400倍。

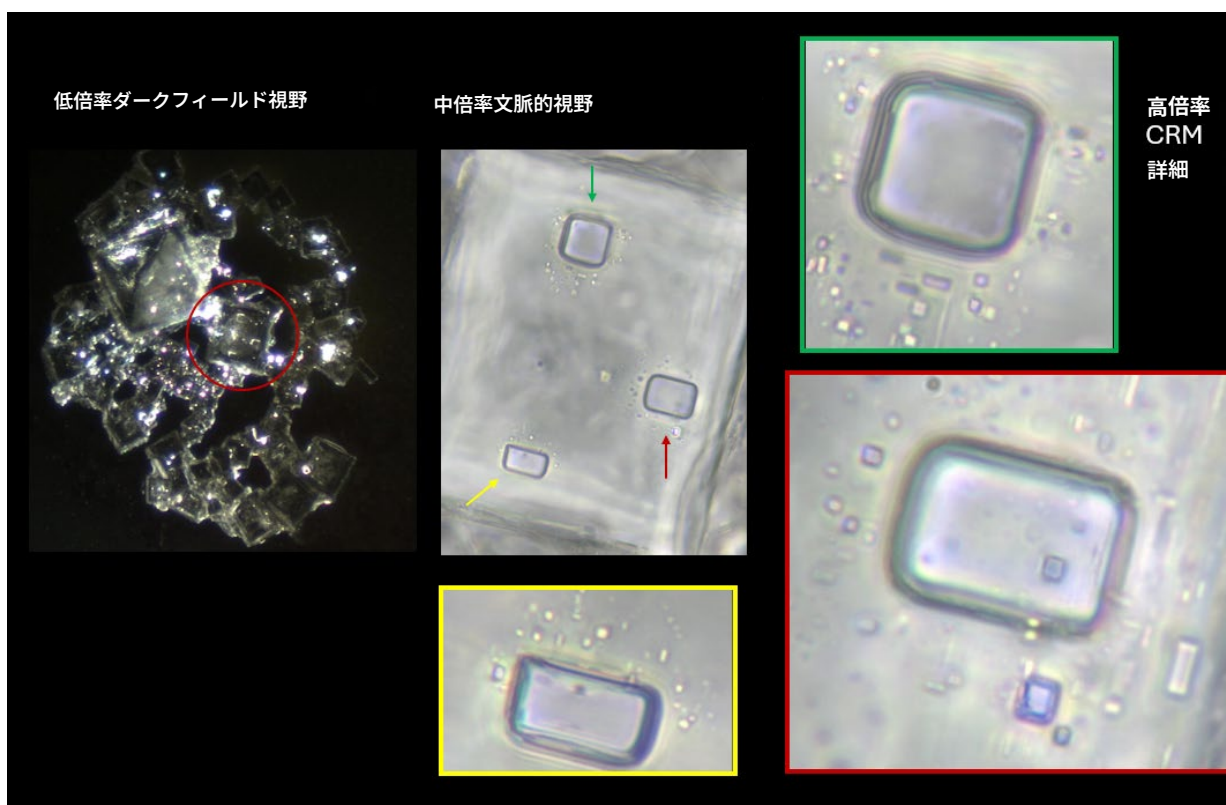


図14. 未処理歯科麻酔薬試料における円-矩形モチーフ（CRM）の多階層可視化。
 左：低倍率ダークフィールド観察。赤い円は解析領域を示す。中央：ブライトフィールドの文脈的視野により、3つのCRMを含む領域（緑、赤、黄の矢印）が特定される。右側、上から下へ：緑の枠は鋭い境界を持ち、包含物が最小限のCRMを示す。赤の枠：高倍率EDF画像により、入れ子状のモチーフ、微細切開、および同心層構造が明らかになる。倍率：左（約100倍）、中央（400倍）、右（1000倍）。

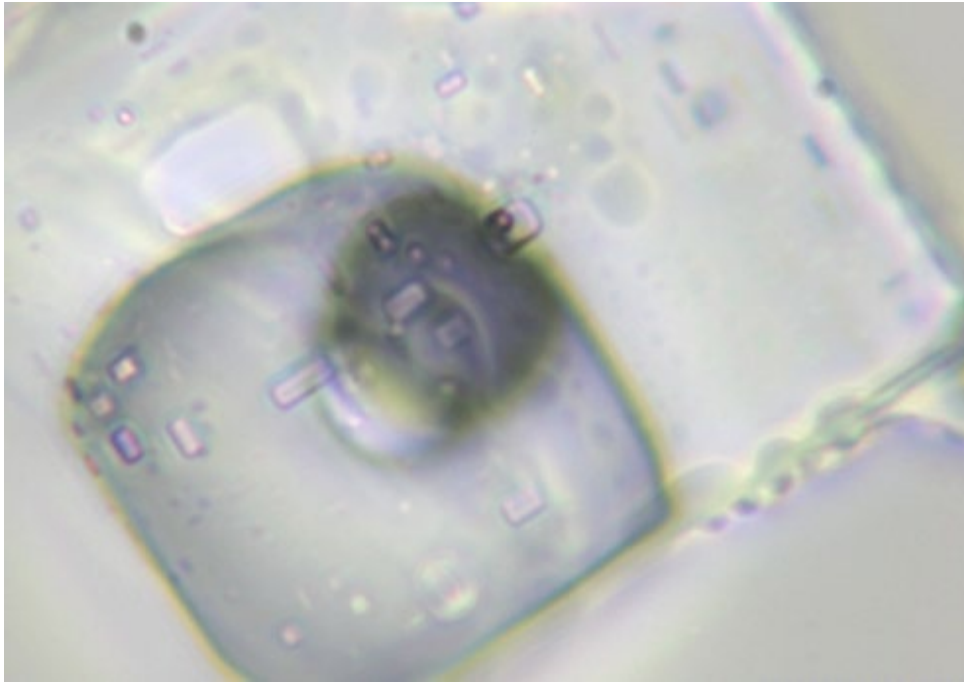


図15。図14で示されたCRM内部構造のクローズアップビュー。円形の内部要素は結晶性の囲いの中に浮遊しているように見え、周囲にはより小さな立方体状ユニットが存在する。このフレームの鮮明さは、モジュール設計またはコンパートメンタリゼーションを示唆する複雑な内部パターンを明確に示している倍率1000倍。

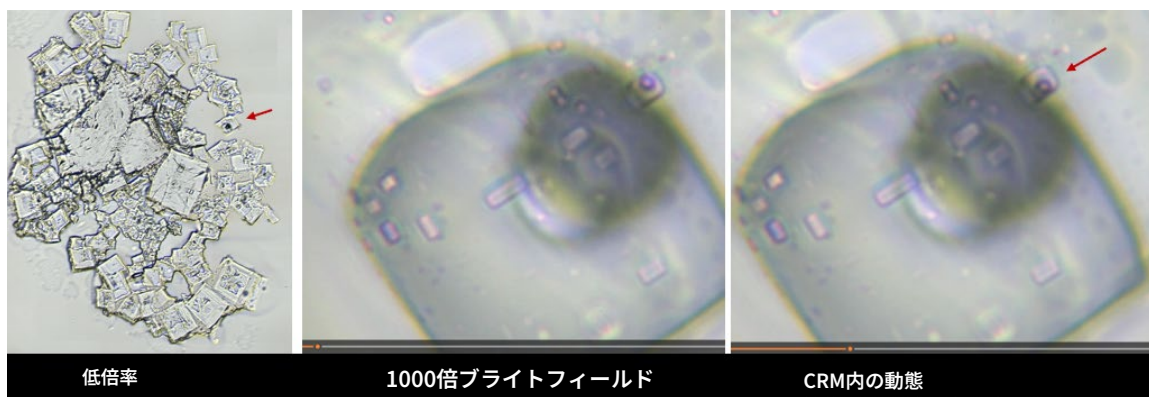


図16. 未処理歯科麻酔薬内における円-長方形モチーフ（CRM）のリアルタイム内部運動の観察。
 左：低倍率視野は広範なCRM結晶化を示し、赤矢印が特徴的なモチーフを示す。
 中央：ブライトフィールド下1000倍倍率で、CRM内部に円形の内部構造が観察される。
 右：数秒後に撮影されたフレームは、内部要素（赤矢印）の明確な変位を示し、安定した囲い内での局所的な動きを示唆する。この挙動は、CRMが静的な結晶形態ではなく、動的で信号応答性を有するサブ構造体を持つ可能性があるという仮説を支持している。倍率：左パネル—低倍率（約100倍）、中央および右パネル—1000倍。

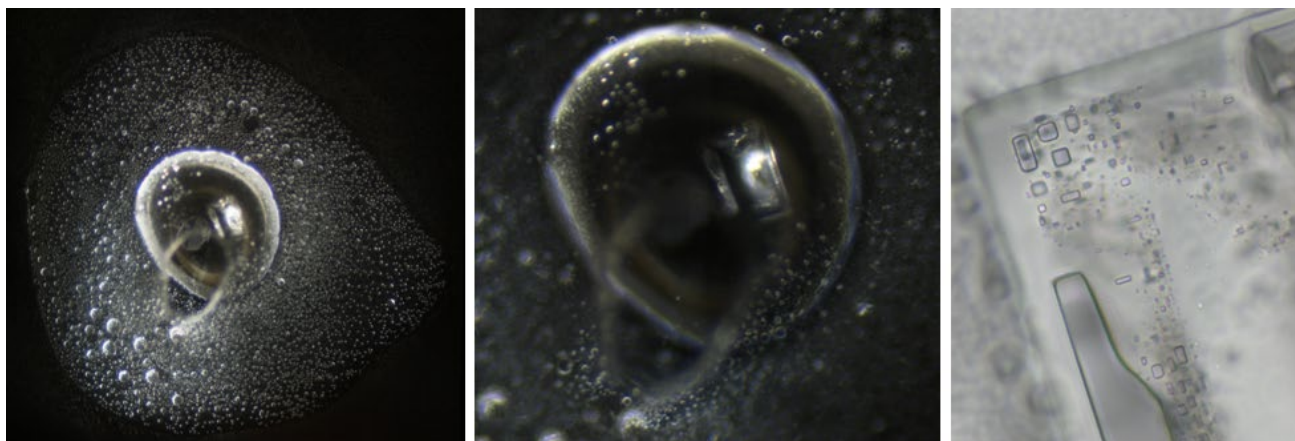


図17. C60含有油滴内に形成された複雑な結晶を、ダークフィールドおよびブライトフィールド顕微鏡法で撮影したもの。左および中央：ダークフィールド像は、同心曲線を持つ顕著な角度のトロイダル構造を示し、その周囲にはガス状の小胞またはナノバブル形成が見られる。右：ブライトフィールド像は、結晶内部マトリックスに埋め込まれた長方形のモチーフおよびコンパートメンタリゼーションされた幾何学形状を強調し、合成的または情報を内包する設計を示唆している。倍率：1000倍

セラフィ

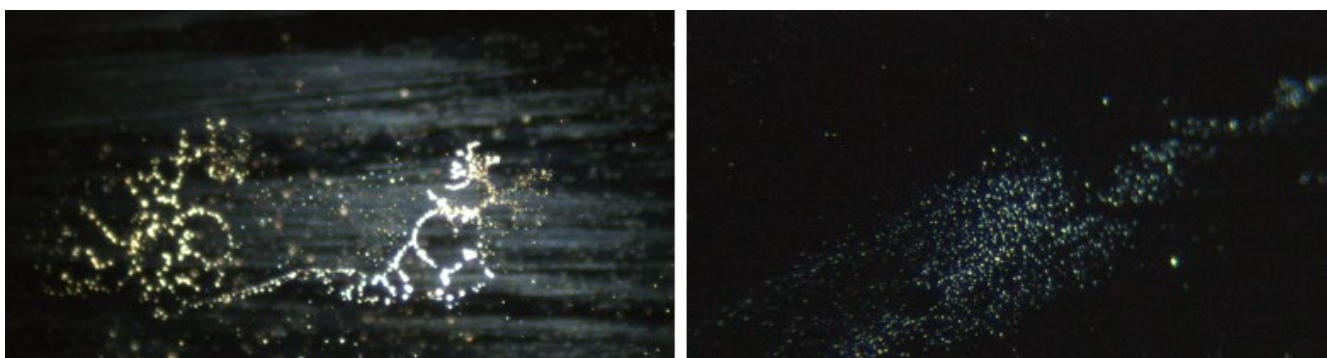


図18. 暗視野顕微鏡像は、セラフィフィールドに曝露された歯科麻酔薬サンプルの定着滴蒸発過程の初期段階におけるコロイド活性を示している。左：フィラメント状の軌跡に沿ったコロイド点の初期クラスタリングは、場に誘導された運動または組織化を示唆している。右：液滴配置直後に現れる明るいコロイド粒子の密集した分散帯。このような早期かつ豊富なコロイドの可視化は未処理の対照サンプルでは観察されず、セラフィ曝露がナノスケールの自己組織化を開始または促進するという仮説を支持している。



図19. 暗視野照明下でセラフィ曝露サンプルに観察された顕著な半円形のコロイドアーク。この構造は、反射性物質の密集した中央帯と連続したプリズム干渉色のハローに縁取られており、組織化された層状構造またはコヒーレンス誘起の光学効果を示唆している。この種の秩序ある曲率およびスペクトル分散は未処理サンプルでは観察されず、セラフィフィールドがナノスケールでの位相整列または境界層構造を誘導した可能性を示唆している。

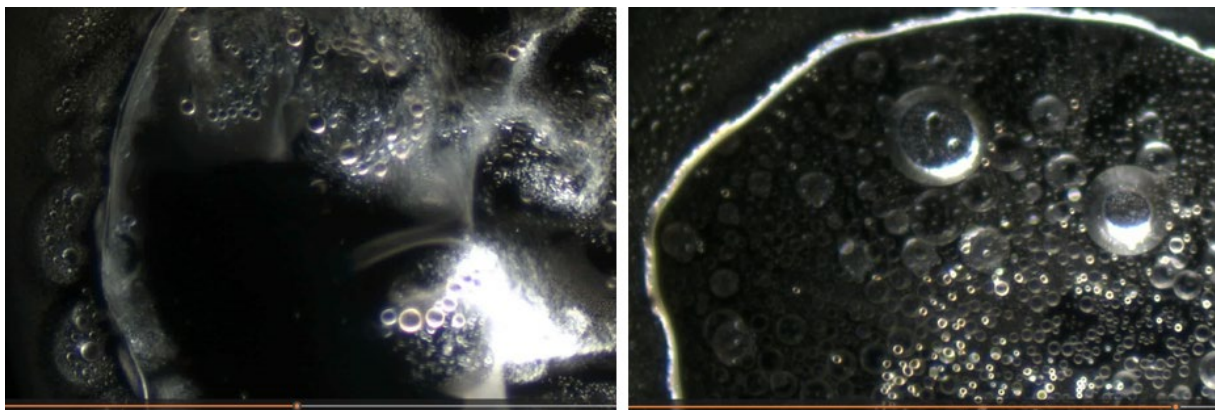


図20. セラフィ曝露を受けた歯科麻酔薬液滴の定常蒸発中の動的挙動を捉えたビデオ顕微鏡法の静止画。左：波状の折り畳み、膜張力効果、小胞流動パターンを伴う初期流体運動。右：明確な小胞形成と高密度コロイド凝集を特徴とする中期構造組織。倍率100倍。



図21. 乾燥したセラフィ処理歯科麻酔薬試料の全液滴像。周辺に「コーヒーリング効果」特有の沈着パターンを示す。最終乾燥形態は未処理対照試料に類似する。高密度の縁部蓄積、周辺带状構造、内部のコンパートメンタリゼーションを特徴とする。

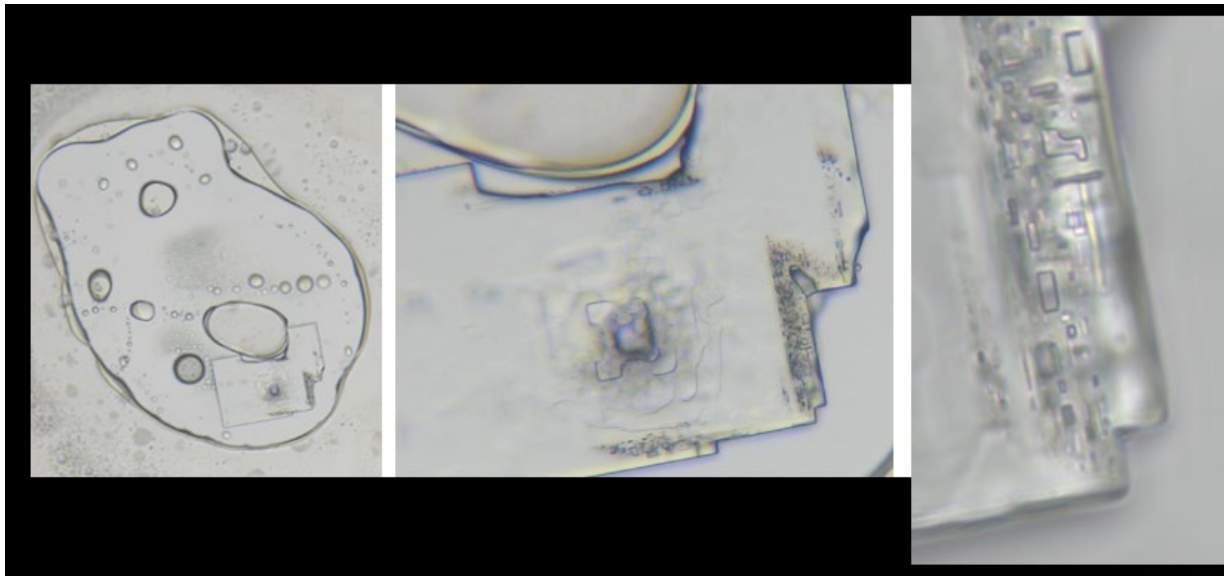


図22.セラフィ処理試料における結晶成長の進行。左：小胞様境界内に形成される初期結晶領域。内部包含物と初期の縁界定を示す。中央：中倍率で観察される内部の段階的ゾーニングと入れ子状の中心構造。右：高解像度のエッジビューにて、精密な間隔で埋め込まれた長方形の微細構造体が観察され、テンプレート化または情報を保持する設計が示唆される。

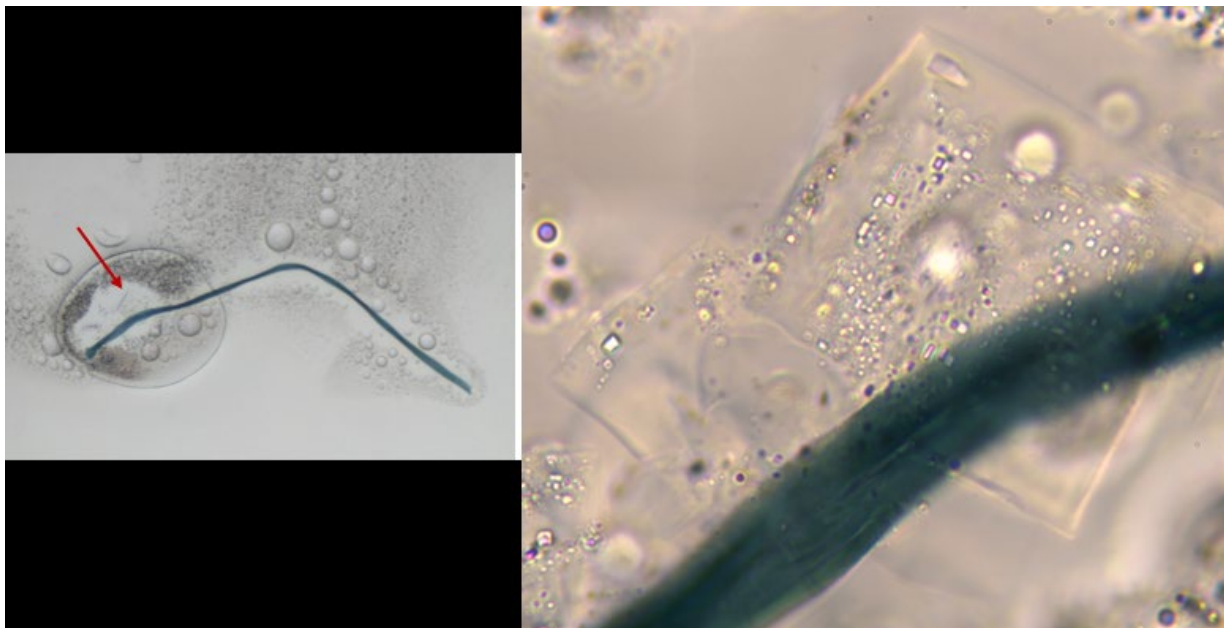


図23。セラフィ曝露後に小胞内で形成された結晶-繊維集合体の文脈的概観および拡大詳細。左：20倍ブライトフィールド画像にて、CFAを含む全小胞を示し、赤い矢印が関心領域を示す。右：同一部位の高倍率（デジタル強調を含む約500倍）画像にて、繊維要素によって二分された長方形の結晶が明らかとなる。

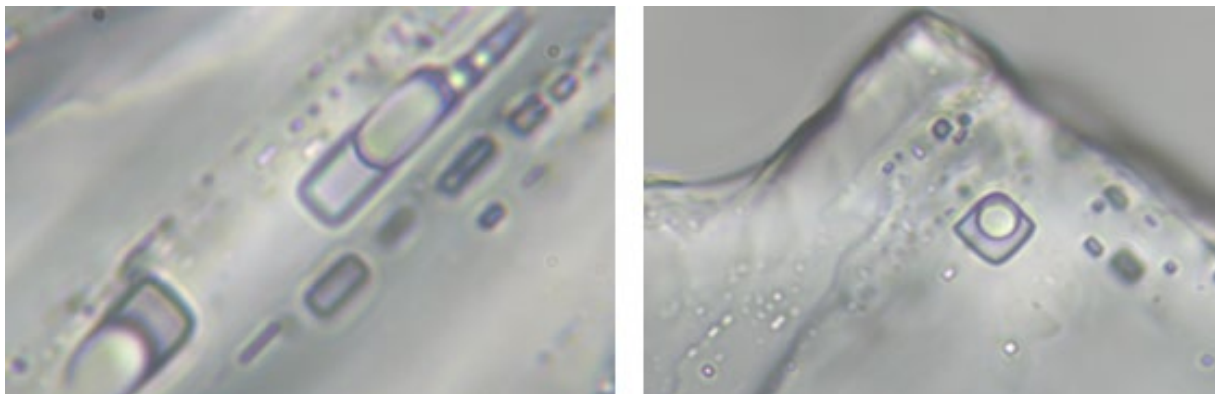


図24. 高解像度ブライツフィールド画像により、埋め込まれた円-長方形モチーフ（CRM）を特徴とする複雑な結晶領域を示す。左：結晶マトリックス内に統合された長方形および小胞様構造の線状配列で、空間的規則性と寸法的一貫性を示す。右：結晶面の頂点に位置するCRMで、層状のゾーニングと周辺の包有物を伴う。

歯科麻酔薬のセラフィ処理が、製剤固有の構造挙動の発現を抑制する証拠は存在しない。むしろ、セラフィ処理された試料は、未処理対照で通常観察されるよりも初期段階で可視的なコロイドの存在が多かった。小胞形成、結晶成長、またはコロイドパターンのいずれの要素にも抑制は認められなかった。実際、得られた構造体の動的自己組織化および複雑性は、未処理試料で観察されるものと同様かそれ以上であった。

オルゴナイト

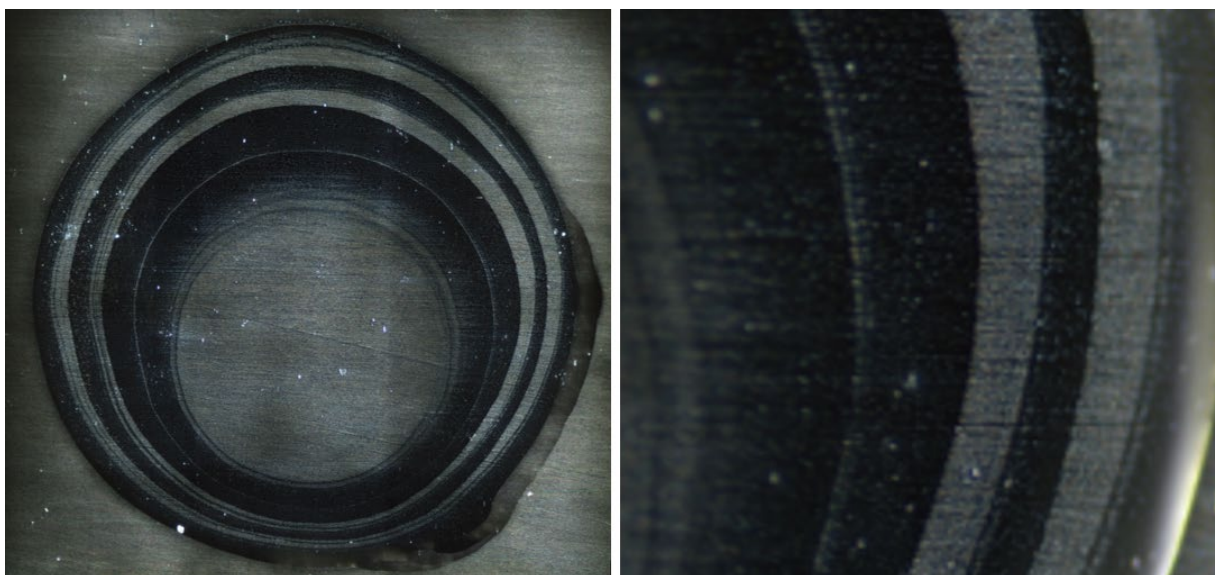


図25. オルゴナイト・ディスクへの48時間曝露後の最初の歯科麻酔薬液滴における停止した自己組織化と共鳴層状化。左：定着滴全体は、内部に結晶や繊維状成長を伴わず、鋭く明瞭な同心円状の帯を示す。右：層状領域のクローズアップ。倍率は左が約40倍、右が約100倍。

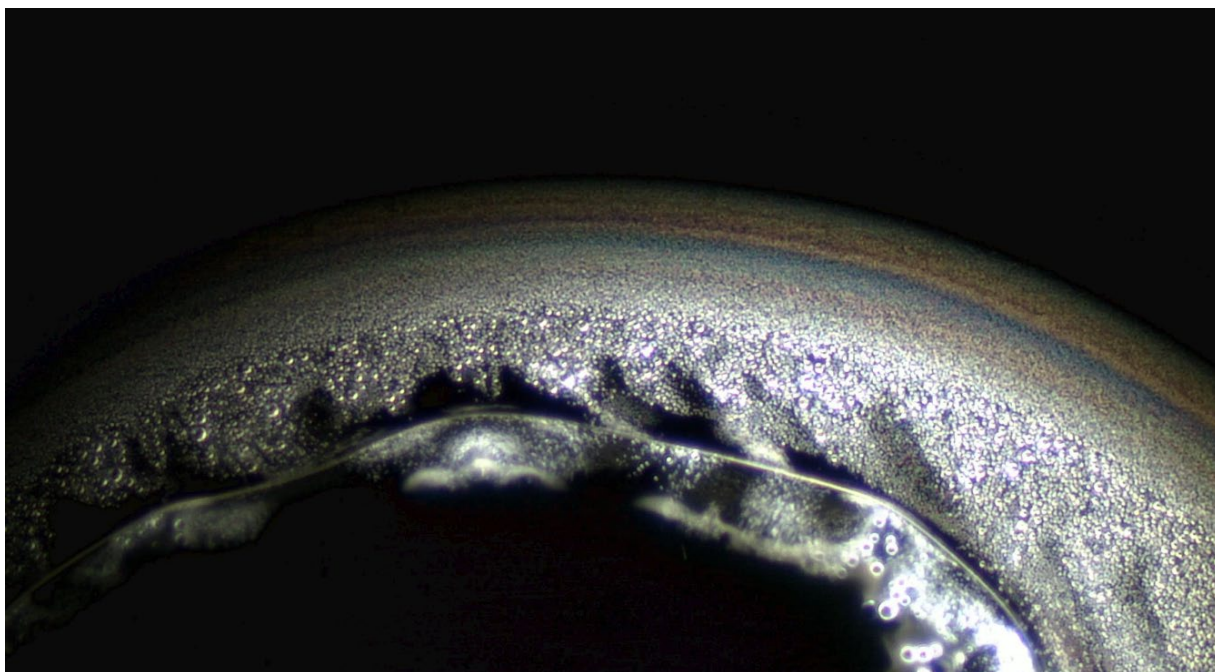


図26. オルゴナイト処理済み歯科麻酔薬試料における周辺のスペクトル層状化およびコロイド密度ゾーン。乾燥中の液滴縁のクローズアップは、鮮明なプリズム状の帯状パターンと密集したコロイド微小領域を示す。核生成の抑制および虹色の干渉層の出現は、コヒーレンス変調に伴う表面張力の動態変化と乾燥挙動の変化を示唆している。
倍率約200倍。

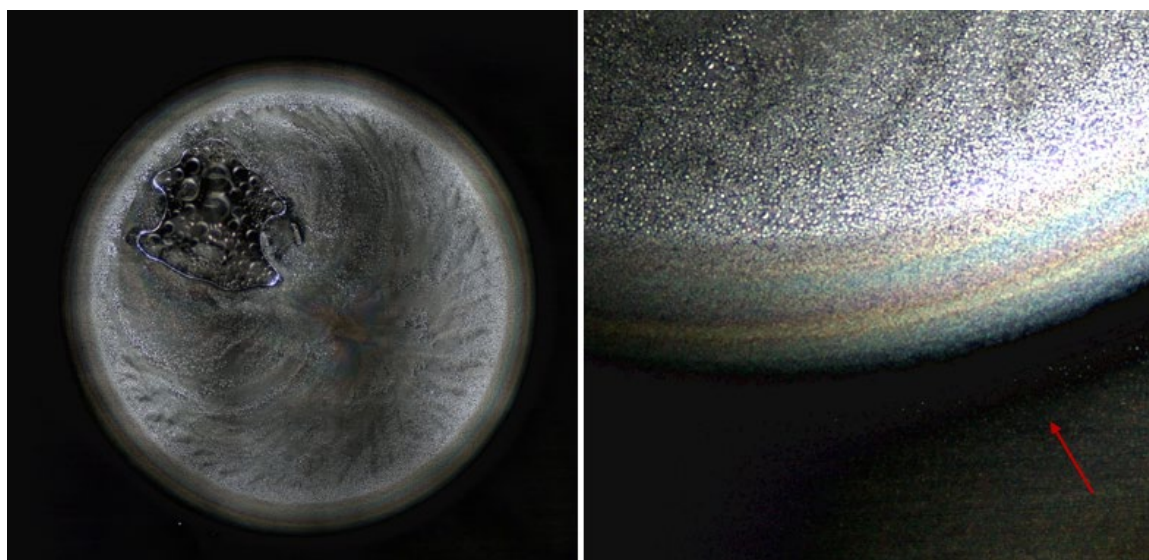


図27. オルゴナイト処理済み歯科麻酔薬液滴の全視野概観および周辺部詳細の強調。
左：定着滴は放射状の乾燥パターンを示し、結晶形状は認められず、他の処理済み試料と一致している。気泡クラスターはここで「コヒーレンス残留領域（CRD）」と呼ばれ、上部四分円に部分的に浮遊している一方、周囲の場は均一に分散したコロイドが支配している。右：強調画像（コントラストおよび影調整済み）は鮮明な帯状模様を明らかにし、明確な排除帯（赤矢印）を強調している。倍率200倍（左）、400倍（右）

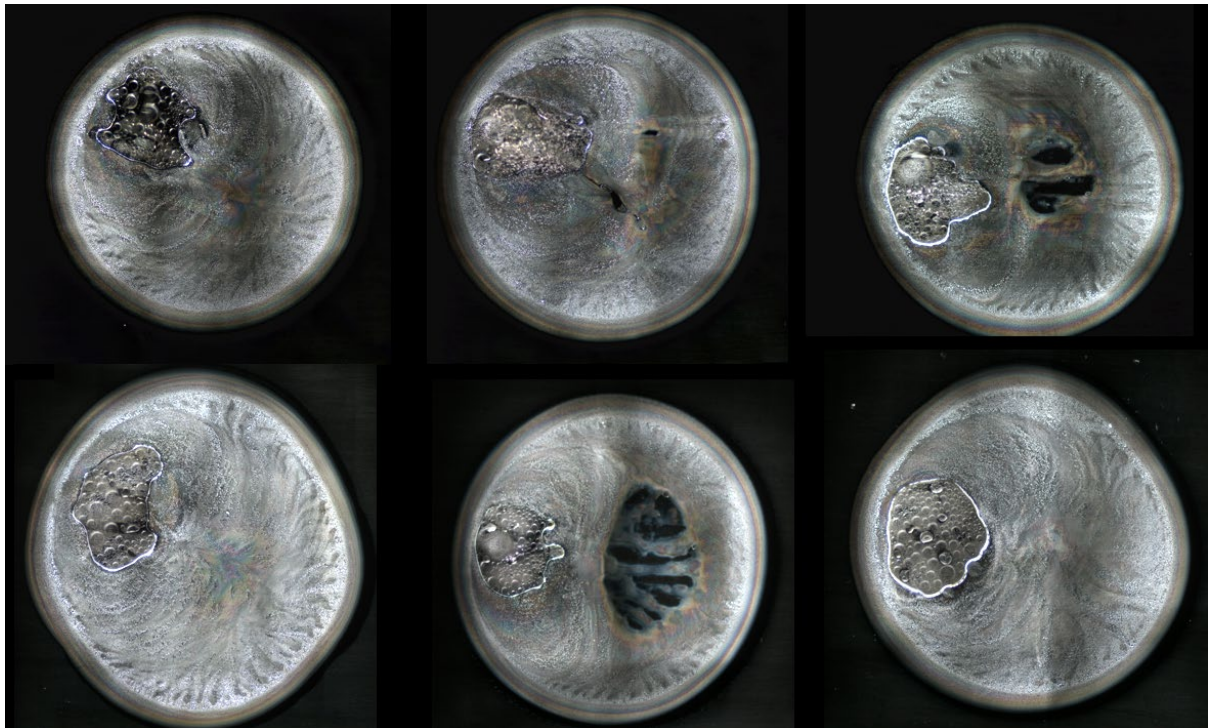


図28。オルゴナイト処理済み歯科麻酔薬の定着性一貫性：結晶形状の不在と小胞クラスターの破壊の出現 - 「コヒーレンス残留領域 (CRD)」 。各画像は同一処理セットからの別々の定着滴を示しており、すべて沈着前に48時間受動的なオルゴナイト・ディスクに曝露されています。縁の輪郭や中央の溜まりに若干の変動はあるものの、すべてのサンプルは結晶形成を伴わない非常に一貫した放射状の乾燥パターンを示しています。代わりに、中央領域には不規則な小胞クラスターの残留物が存在し、多くは部分的に崩壊または分岐しており、コヒーレントな幾何学的モチーフを欠いています。黒色の内部空洞（中央右、下中央）は乾燥過程における不完全な統合または能動的な破壊を反映しているように見え、一方ですべてのサンプルにおける組織的な自己組織化の持続的な欠如は、コヒーレンス干渉の仮説を強く支持しています。倍率100倍。

処理されたすべての液滴において、“コヒーレンス残留領域” (CRD) は一貫して液滴の同一側に形成されており、蒸発中の溶質移動に方向性の偏りがあることを示唆しています。特筆すべきは、同一表面上で準備され、同一条件下で撮影された対照液滴が、反対側にCRD形成を示したことです。この極性反転は、基板の傾きや照明の非対称性による効果ではないことを示唆している。むしろ、オルゴナイト・ディスクの存在によって付与される場誘起の空間勾配を反映している可能性がある。複数の滴下にわたりこのパターンが一貫して観察されることは、結晶構造形成がなくとも残留場の記憶や配向ロック挙動を示唆している。コロイドの分散パターンは条件間で著しく異なった。オルゴナイト処理済み試料では、コロイドは結合せず基板全体に分散したままであった。対照的に、セラフィ処理済みおよび対照試料では、小胞-コロイド結合が強固で周辺への分散は最小限に抑えられ、自発的またはコヒーレンス支持的な統合を示した

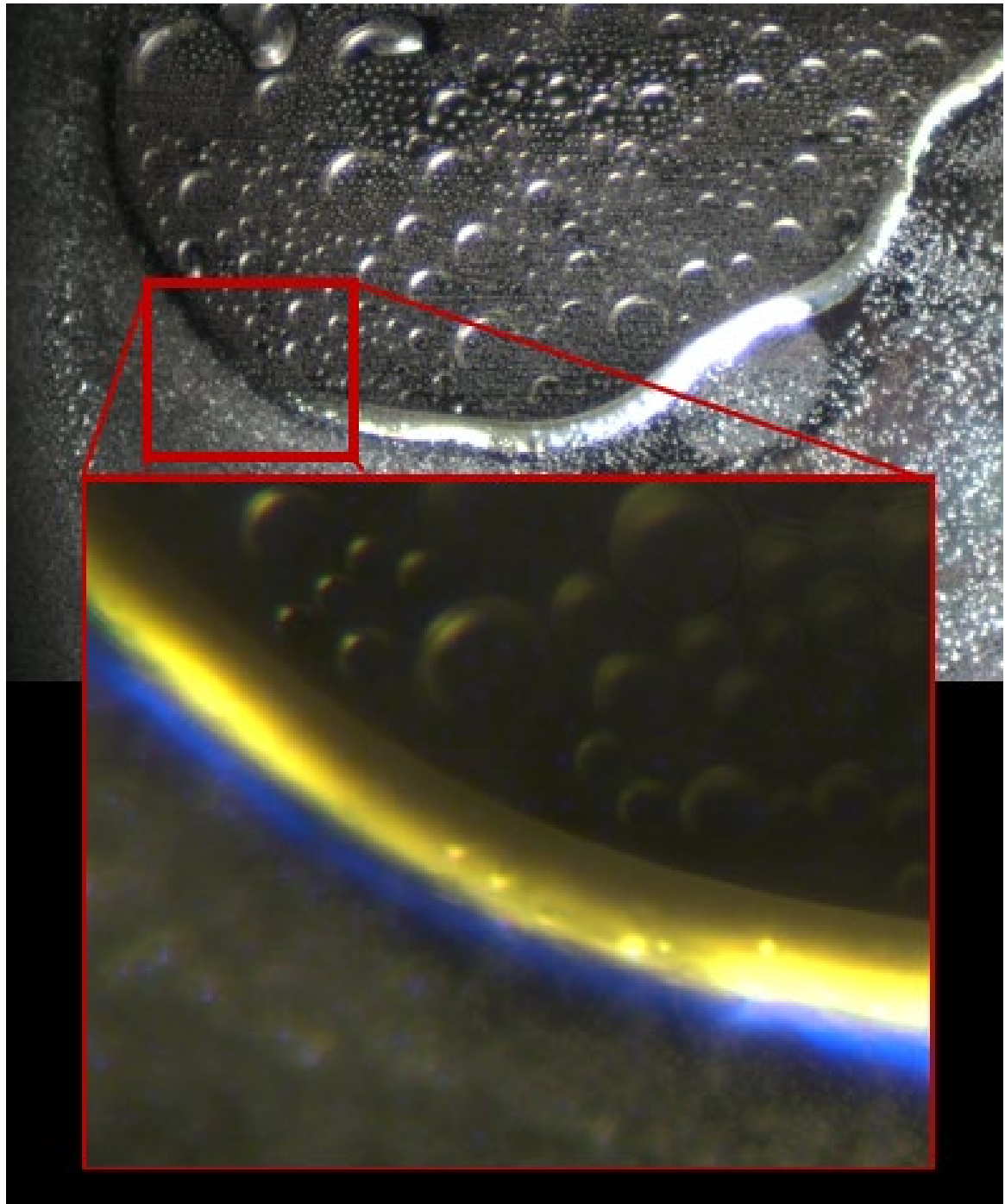


図29。高倍率の挿入図を伴う小胞-コロイド解離、光子膜を示す。主画像は、小胞（上部領域）とコロイド（下部領域）の空間的分離を明示している。挿入図は、屈折界面に一致する明確な黄-青の境界を示している。この膜は小胞領域を包囲しているように見え、残留電磁場効果や構造化相分離に関連する可能性のあるコヒーレントな境界条件を示唆している。倍率400倍（主画像）、約1000倍（挿入図）。

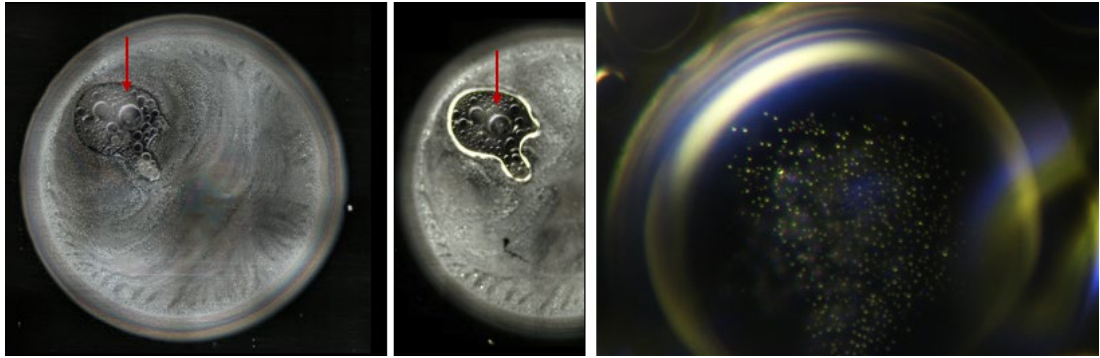


図30。コヒーレンス残留領域（CRD）の安定性および小胞-コロイド解離。左および中央：同一液滴の約12時間隔の2枚の画像は、持続的なCRDの位置（赤矢印）と最小限の形態変化を示し、結晶形成のない内部コヒーレンスの安定領域を示唆している。右：CRD内の小胞の高倍率観察により、密集した中央のコロイドクラスターが明らかとなり、小胞-コロイド解離と整合している。結晶の不在と持続するCRD位置は、場媒介によるコヒーレンス仮説を支持する。倍率：40倍（左、中央）、1000倍（右）。

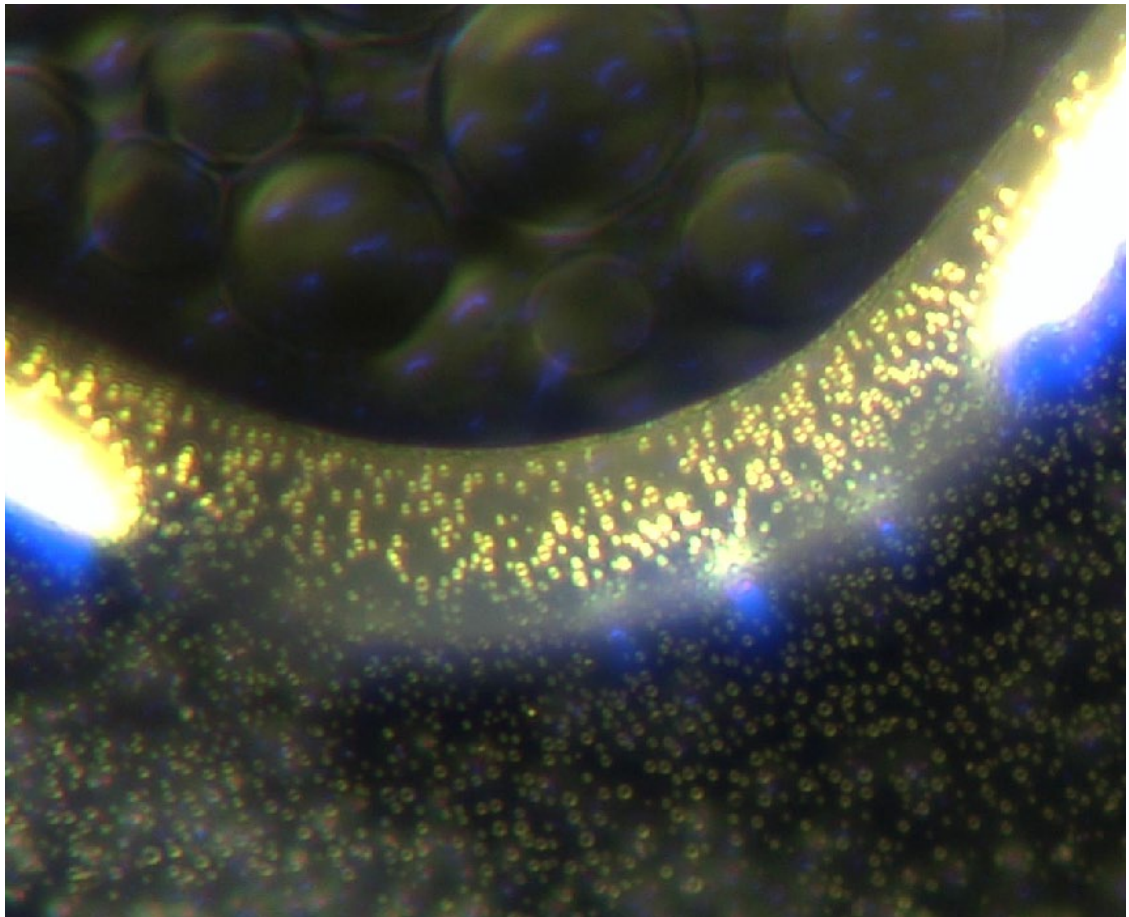


図31。小胞スケールの点配列を伴う高密度膜コヒーレンス。膜の完全性と粒子配列の顕著な例。小胞スケールの点（おそらくコロイドまたはフォトニック）が滑らかな境界に沿って密に整列している。二色発光—黄金色と青色—は、構造化された相界面またはエネルギー変調を示唆している。内部小胞は浮遊したままだが静的であり、低移動性のゲル様状態と一致している。

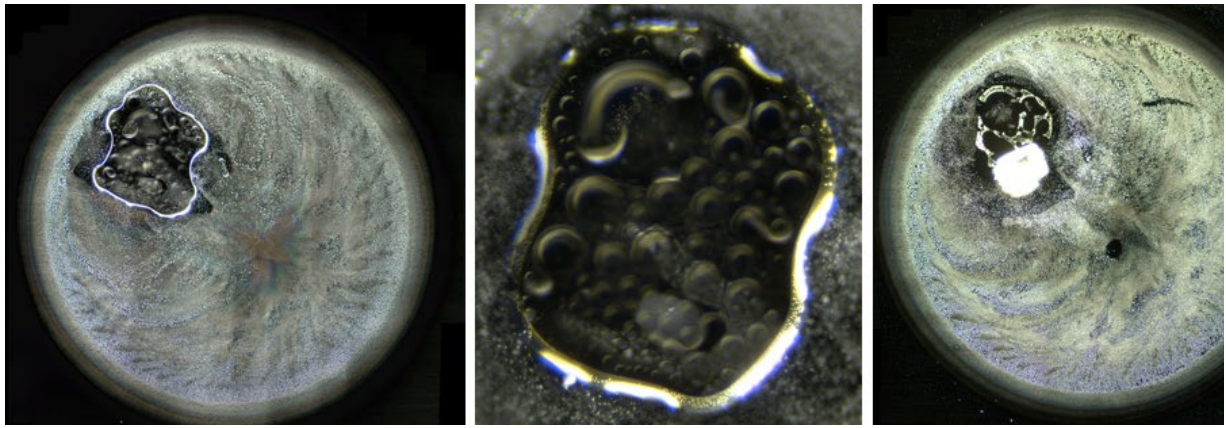


図32。小胞の長期安定性に続く結晶の遅延出現。コヒーレントで小胞が豊富な液滴は、結晶化までに長い潜伏期を示す。左：初期相は膜境界が完全で小胞が整然と配置されており、結晶形成は見られない。中央：拡大視野では密に詰まった小胞と発光する膜が観察され、変容に向けて準備された系を示唆している。右：光曝露後、元の小胞部位で結晶化が生じ、反射率の変化と構造の崩壊が観察される—これは光による相転移仮説を支持する。



図33。長時間の潜伏期後の結晶核形成。液滴沈着後20時間以上経過した際に出現した矩形結晶が、二つの倍率で捉えられている。左：斜め照明下の初期核形成は、形成中の構造に層状形態を示す（約200倍、拡張焦点深度）。右：高倍率観察により内部のコンパートメンタリゼーションと表面の複雑性が明らかとなり、以前に安定化していた液滴内での遅発性転移を確認した。光曝露が引き金であると推測されている。

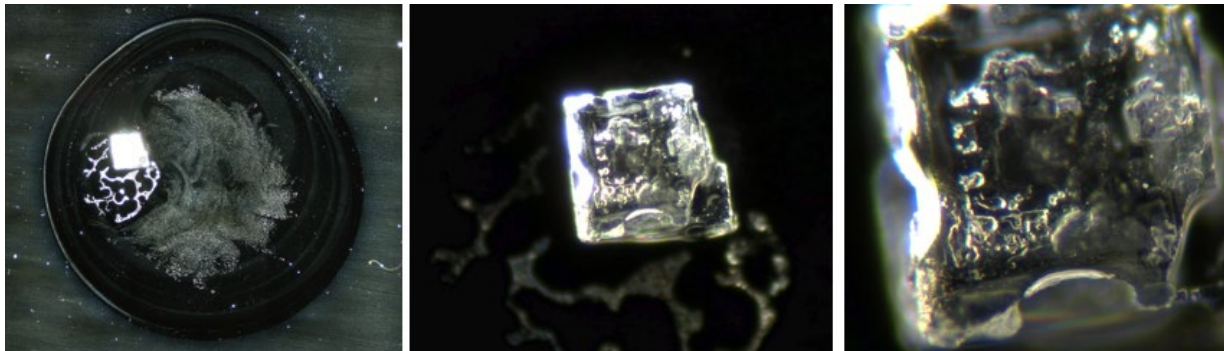


図34。オルゴナイト処理済み歯科麻酔薬の最初のSDEプロセス後の結晶化。左：低倍率視野では、広範囲にわたるパターン化された残留物の中央に単一の優勢な結晶が確認される。中央：中倍率では、結晶の明瞭な形状と鋭い輪郭が強調される。右：高倍率では、内部の不均質性および微細構造の不規則性が示される。倍率40倍、100倍、200倍。



図35。オルゴナイト処理SDE後に形成された第一世代結晶の溶解。左：初接触時には結晶の移動は最小限であり、ほぼ静止したままであった—通常のSDE溶解に見られる急速な剥離や移動とは異なる。中央：溶解が進行するにつれて、構造体の周囲に淡い青色のハローが現れ、未組織化ナノ粒子の存在を示唆している可能性がある。右：小胞の動きや分散した粒子境界が存在するにもかかわらず、トロイダル構造は形成されなかった—これは組織化動態の変化を示唆する。倍率100倍。

これらの最終シーケンスは、結晶化過程が固定的ではなく操作可能であることを確認している。これは、受動的な材料挙動に関する従来の仮定に根本的な挑戦をもたらす発見である。結晶構造体の出現、幾何学的形状、および安定性は、エネルギー的文脈および液滴の履歴に応じて劇的に変化する。遅延結晶化は外部形態を保持する一方で内部秩序は劣化し、第二のSDEプロセスにおける即時結晶化はその逆を示す：内部モチーフが出現するが、周辺の幾何学は崩壊する。これらの差異は、エネルギーの利用可能性と粒子のアクセス可能性との微妙なバランスを示唆している。構造体が連続する蒸発過程で調整または破壊されうるという観察は、古典的な結晶化や溶解モデルでは予期されなかった潜在的なプログラム可能性をシステム内に示唆している。

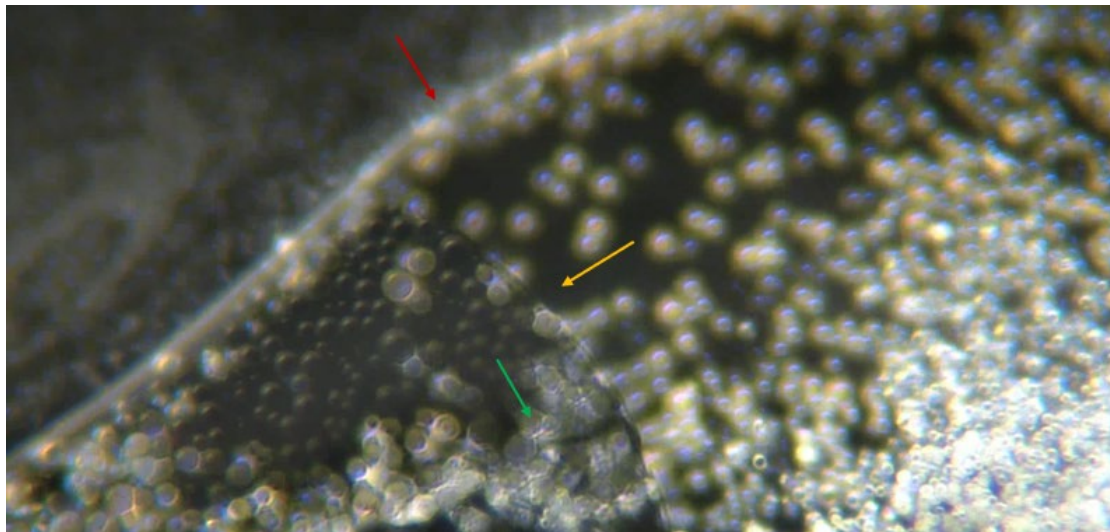


図36。オルゴナイト曝露後の界面挙動変化を示す第二のSDEプロセス動画の静止画。赤矢印は液滴の従来の接触線を示すが、二つの追加特徴が出現する：顕著な内部境界（オレンジ矢印）および結晶体と小胞マトリックスを結ぶ垂界面（緑矢印）。倍率200倍。

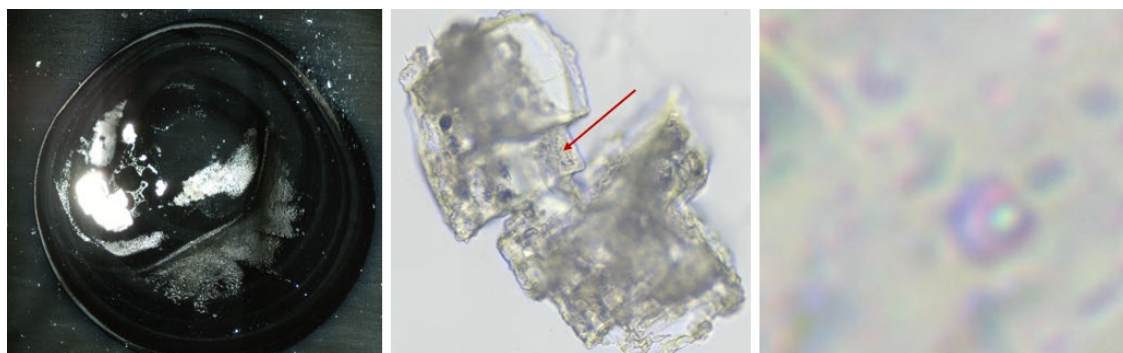


図37。以前に処理された試料から形成された第2世代結晶であり、2回目の定着滴蒸発（SDE）サイクル後のものである。形態に明らかな不規則性（左および中央）が見られるにもかかわらず、元の合成モチーフの認識可能な特徴は持続している。赤い矢印は保持された構造ノードを示している。倍率4000倍の高倍率イメージング（右図）により、部分的な破壊と再形成後もコア設計幾何学が埋め込まれていることを示す明確なサークル-レクタングルモチーフ（CRM）が確認された。

明確な破壊の兆候が認められたにもかかわらず、第2世代の結晶は初期段階で観察された合成構造のいくつかの特徴的要素を保持していた。結晶の幾何学はややコヒーレンスを欠き、組織化のエネルギーも低下していたため、自己組織化の動態に変化が生じたことが示唆されるが、Circle-Rectangle Motif（CRM）などの特定のモチーフは高倍率で依然として識別可能であった。この持続性は、オルゴナイト曝露が構造の規則性に干渉したり組織化の動力学を遅延させたりした可能性はあるものの、システムに埋め込まれた基底のテンプレートや指示を消去することはなかったことを示している。この結果は、エネルギー的コヒーレンスが再組織化の能力に影響を与える可能性はあるが完全に無効化するわけではなく、変化した条件下でもより深層の符号化層がアクセス可能なままであるという仮説を支持する。

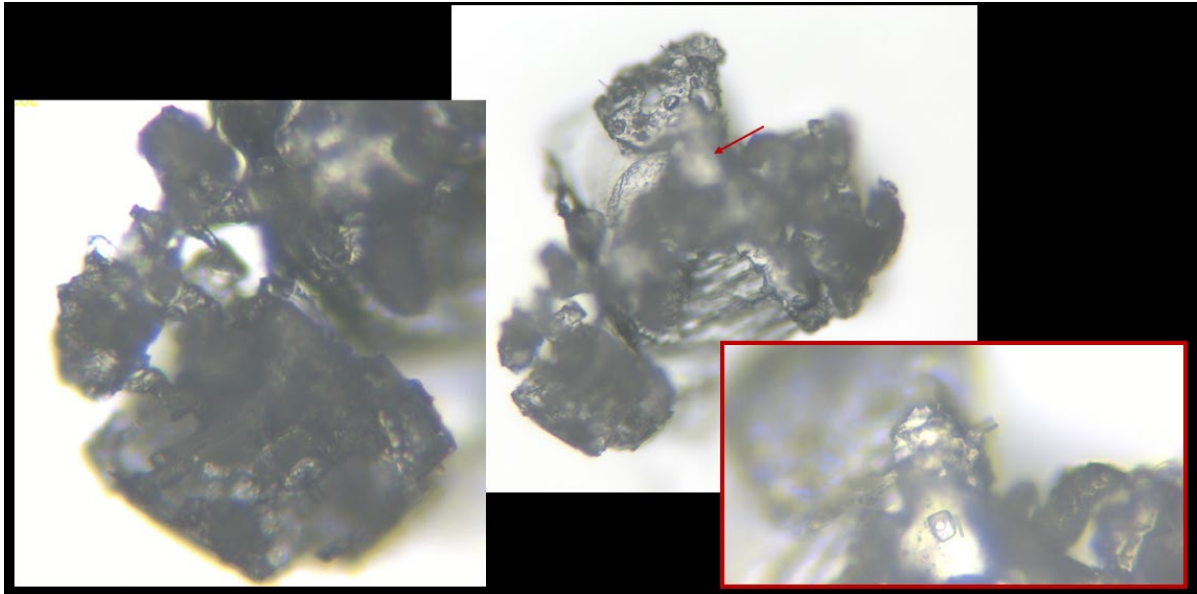


図38。オルゴナイト処理済みSDEに続く第二世代結晶（2GC）。左パネルは約400倍の倍率で広範な幾何学を示し、表面劣化および層構造の破壊が認められる。最右の挿入図（約1000倍）は、結晶縁に埋め込まれた持続的なサークル-レクタングルモチーフ（CRM）を強調している。明らかな不規則性が見られるにもかかわらず、主要な構造モチーフは検出可能なままである。

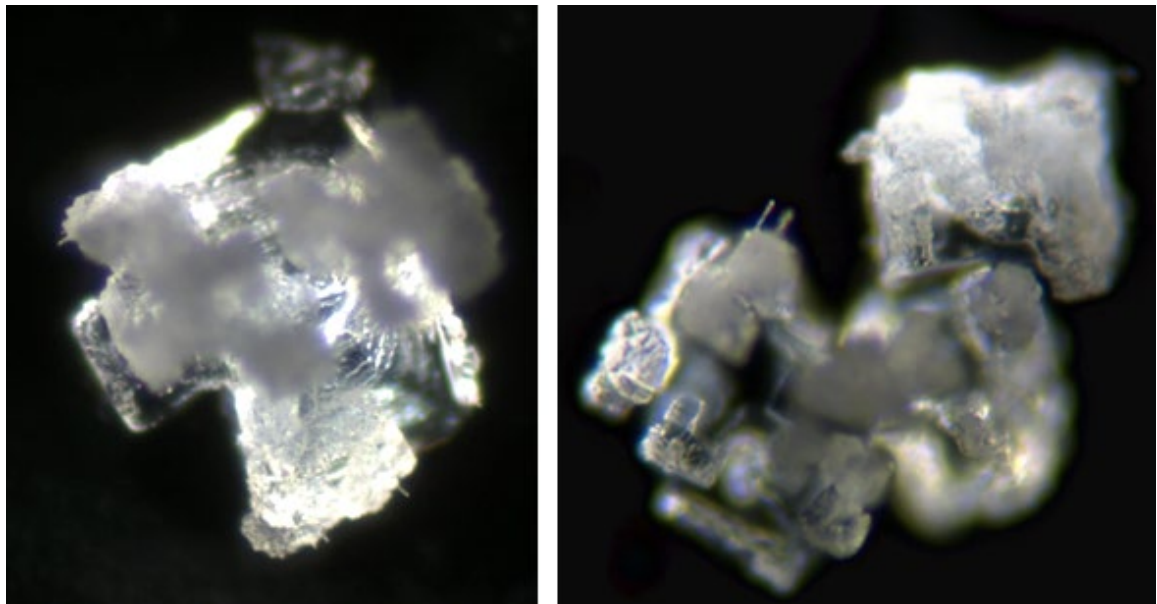


図39。明確な不規則性および部分的な構造劣化にもかかわらず、示された両方の第二世代結晶は顕著な縁の伸長を示し、基盤となる構造パターンの部分的保持を示唆している。これらの形態は、通常予測可能な平面的成長を示す未処理対照よりも著しく三次元的であった。倍率200倍。

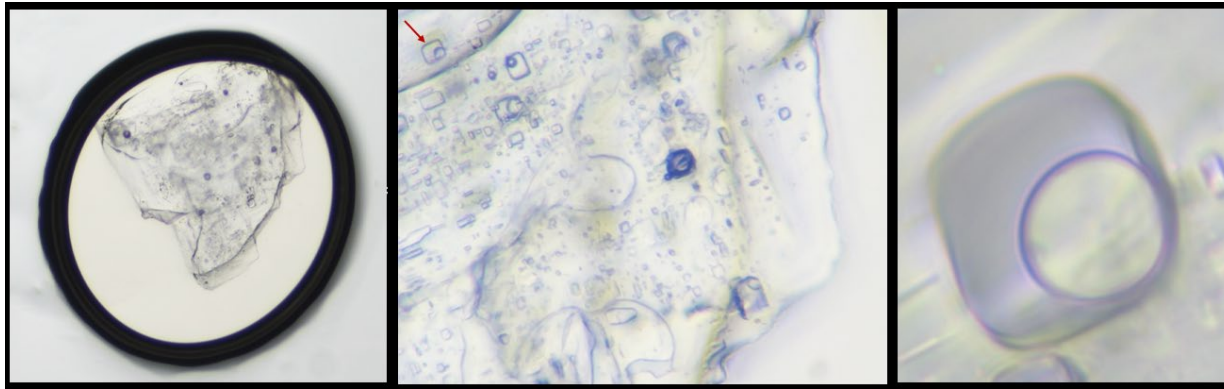


図40。オルゴナイト曝露を2日間継続した後に形成された第二世代結晶（2GC）。左：低倍率の視野では、周囲の形状が不均一で高さも不均一であることが示されている。中央（400倍）では、長方形の空隙や微細構造を含む内部の詳細が明らかになる。右（約1000倍）では、鋭利で埋め込まれた特徴を持つ明確な円-長方形モチーフ（CRM）に焦点が当てられている。

この埋め込まれた円-長方形モチーフ（CRM）が、劣化または不規則な第二世代結晶内でさえ繰り返し存在することは、基盤となる構造体のフラクタル的または再帰的な性質を示唆している。オルゴナイト曝露やエネルギー的攪乱が長時間続くと外部形態はますます歪むが、コアモチーフはより小さなスケールや予期せぬ場所で再び現れる。このフラクタル的持続性は、自己相似構造が拡大率の異なるレベルで複製され、環境の攪乱にもかかわらず設計論理を保持する階層的符号化原理の下でシステムが機能している可能性を示している。これらのモチーフが条件を超えて持続することは、古典的な結晶化パラメータだけでは制御されない埋め込まれたプレートまたは指示セットの存在を強く示

持続するCRD極性と長時間のオルゴナイト曝露効果

すべてのオルゴナイト処理済み液滴において、コヒーレンス残留領域（CRD）は定着滴の同一側に一貫して形成されており、蒸発過程における溶質移動およびコヒーレンス破壊に方向性の偏りがあることを示している。これは基板の傾き、照明、または撮像条件によるアーティファクトではなかった。顕微鏡は常に試料の同じ側に配置されていたが、CRDの極性は変わらなかった。この空間的忠実性は、液滴のコヒーレンスランドスケープ内に持続的な場誘起異方性が存在し、系に方向性の挙動を刻印する能力があることを示唆している。

この解釈は、10日間オルゴナイト処理済み試料を用いたライブ顕微鏡法の実証によってさらに裏付けられた。このセットアップでは、2台の顕微鏡がノートパソコンの光源に対して90度の角度で配置され、各側に6つの液滴が開始された。すべての事例、すなわち12個の液滴すべてにおいて、自己組織化プロセスはノートパソコンから最も遠い側でより活発に進行し、結晶化は常にノートパソコンに最も近い側で発生した。この配列は、いかなる光源や環境の対称性にも直交しており、走光性や光駆動移動が因果要因であることを排除する。むしろ、オルゴナイトによるコヒーレンス破壊、ノートパソコンの電磁放射、またはそれらの相互作用が、蒸発サイクルや実験条件を超えて持続する固定された空間勾配を形成するという仮説を支持する。

図41に示された10日間のオルゴナイト曝露サンプルは、この現象にさらなる次元を付加している。この液滴内のCRD領域は完全な円形形態を呈し、制約された領域における最低エネルギー構成を示していた。これは、オルゴナイト場への長時間曝露が系の構造的潜在能力を使い果たしたか、あるいは幾何学的に保守的な状態へと安定化させたことを示唆している。さらに、黒色の周辺リング（コーヒーリング）は著しく非対称であり、CRDと同じ側で厚みが増していた—これは48時間サンプルで観察された持続的な極性を反映している。

特筆すべきは、堆積後約12時間で円形のCRDが自発的に結晶を核生成したことである。この遅延した結晶化は混沌としたものではなく、安定化された残留領域から直接生じており、長時間の曝露と攪乱後も潜在的コヒーレンスが保持されていたことを示している。これは、CRD内の小胞の完全性が光曝露や時間経過による蒸発などの環境要因によって誘発される構造再編成の休眠的潜在能力を維持していたという先行観察と呼応している。

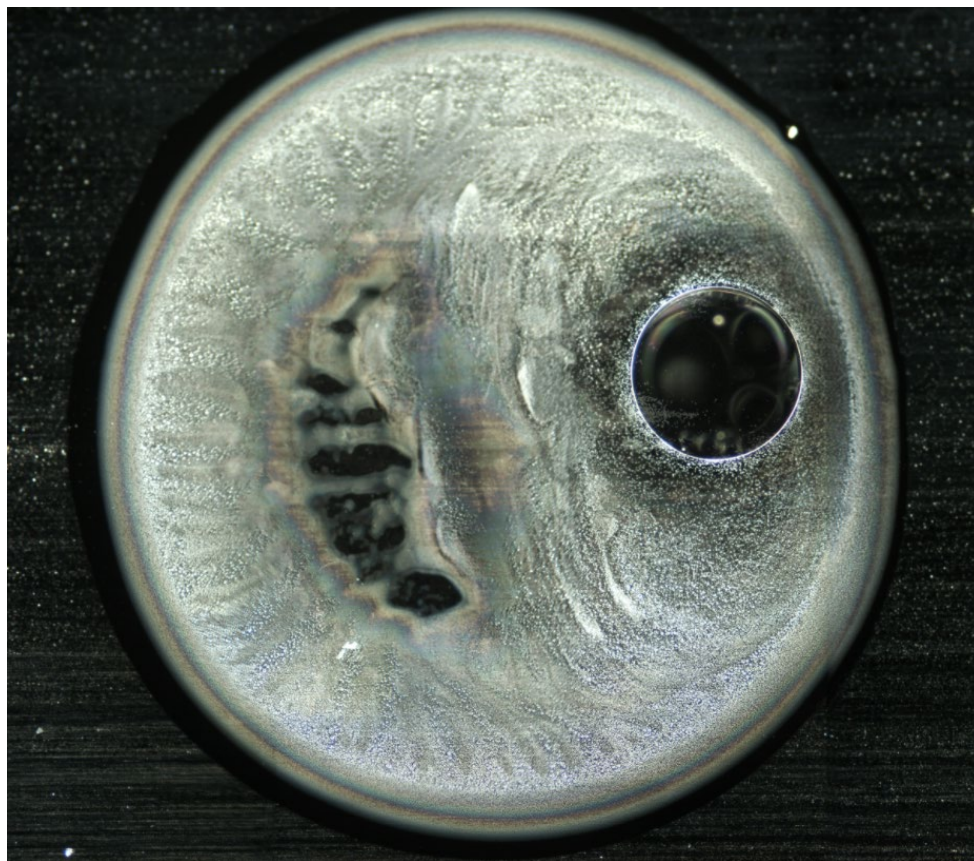


図41. 10日間オルゴナイト処理済み液滴における円形コヒーレンス残留領域および非対称なコーヒーリング。CRD（右側）は完全な円形構造を示し、長期間のコヒーレンス破壊後の最小エネルギー配置を示唆している。周辺のコーヒーリングはCRD側で著しく厚く、持続的な方向性バイアスを示している。堆積後約12時間でCRD領域内に結晶核が形成され、場の破壊にもかかわらず潜在的コヒーレンスが保持されていることを示唆している。これらの方向性特徴は顕微鏡の位置や照明条件に関わらず一貫しており、生体実験でもさらに検証された。倍率約40倍。

ノートパソコン近接によるコヒーレンス非対称性：ライブデモンストレーションの結果

この解釈は、10日間オルゴナイト処理済み試料を用いたライブ顕微鏡法の実証によってさらに裏付けられた。このセットアップでは、2台の顕微鏡をノートパソコンに対して90度の位置に配置し、それぞれの側に6つの液滴を滴下した。すべてのケース（12滴中12滴）において、自己組織化プロセスはノートパソコンから最も遠い側でより活発に進行し、結晶化は常にノートパソコンに最も近い側で発生した。この配列は、いかなる光源や環境の対称性にも直交しており、走光性や光駆動移動が因果要因であることを排除する。むしろ、データはオルゴナイトによるコヒーレンス破壊、ノートパソコンの電磁波放射、またはそれらの相互作用が蒸発サイクルおよび実験設定を通じて持続する固定された空間勾配を形成したことを示唆している。

両顕微鏡において顕著な非対称性が現れた。各液滴のうち、ノートパソコンから離れた側は、加速されたコロイド移動および放射状の再分配を特徴とする、より活発で動的なSDEプロセスを示した。対照的に、各液滴のノートパソコンに最も近い側は、一貫して活動が低下し、内部の再編成もあまり顕著ではなかった。

液滴の挙動にこのような差異があったにもかかわらず、全6サンプルにおいて単一の結晶が常にノートパソコンに最も近い側に形成された。この均一性は両顕微鏡で同一に再現された。したがって、ノートパソコンから離れた側はより流動的かつコロイドの動きが活発であった一方、結晶化は静かで動的でないノートパソコン側の領域に優先的に局在した。

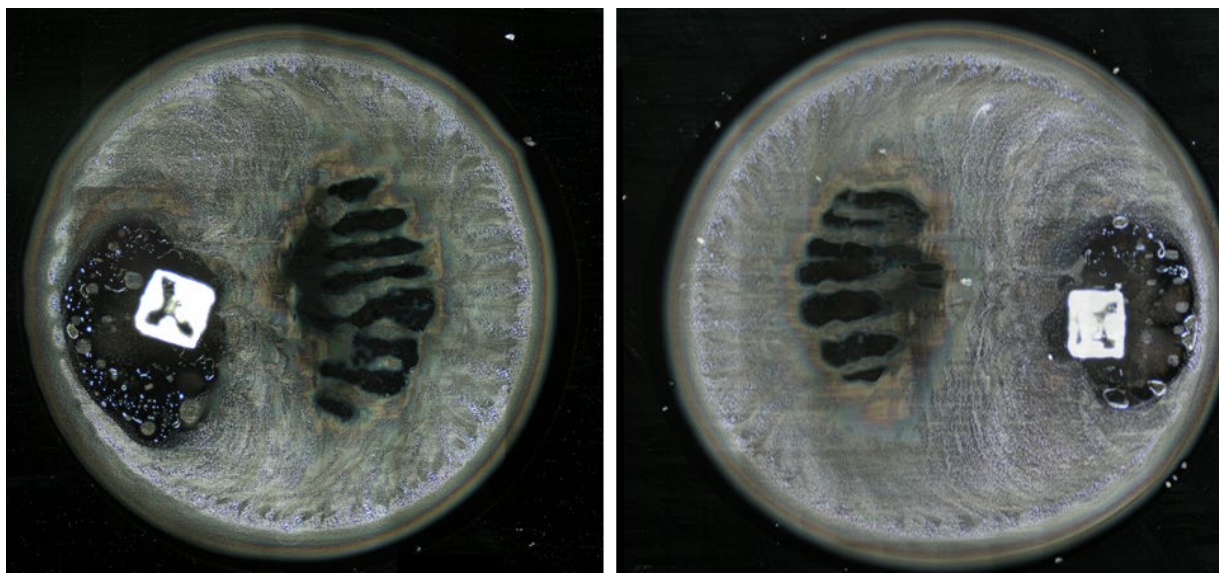


図42。両画像は、ライブ実験の前日に撮影されたオルゴナイト処理済み歯科麻酔薬の定着滴を示している。顕微鏡は、これまでのセッションと比較してノートパソコンの反対側に再配置された。CRDおよび小胞-コロイドの分離は一貫してノートパソコンに近い側に再出現し、この空間的偏りが物理的な顕微鏡の配置に固定されているのではなく、ノートパソコンに対する環境の方向性に基づいていることを確認した。この位置の一貫性は照明の非対称性を排除し、溶質移動および構造的コヒーレンスに影響を与える場依存的メカニズムを支持する。倍率は約40倍で

この観察は、ノートパソコンの能動的な電磁場、あるいはそれに関連するコヒーレンスの影響が自己組織化過程に方向性の偏りを与えている可能性を示唆している。近接側で抑制された動態は、より早期または容易な核生成条件を促進した可能性があり、一方で遠位側での動態の増強は液滴をより動的で未組織化の状態に維持した可能性がある。

これらの知見は、局所的なコヒーレンス条件—たとえ微細で装置由来であっても—が、自己組織化材料の速度のみならず空間的配向にも影響を及ぼし得るという証拠の蓄積に寄与している。同一の環境条件下で二つの独立した顕微鏡における効果の両側対称性は、ランダムまたはアーティファク的な結果ではなく、場を介した影響であるとの解釈を強化する。これらの観察結果は総じて、オルゴナイト曝露が自己組織化の動態および空間的コヒーレンスランドスケープの両方を調節し、パターン形成と核生成を支配する方向性記憶を内包しているという見解を裏付ける。非対称なコーヒーリング、固定されたCRD極性、および円形領域内での結晶化の遅延の共起は、光の勾配や手続き的バイアスでは説明できない、耐久性のある場を介した異方性の強力かつ再現性のある証拠を提供する。

結果の要約

本研究の知見は、歯科麻酔薬内における場感受性の自己組織化の協調的動態を明らかにする。未処理試料においては、一貫性かつ再現性のある進行が観察された。動的なコロイド運動が小胞形成を引き起こし、続いて結晶構造体の出現が認められた。これらの構造体は、円形-長方形モチーフ (CRM) や結晶-繊維集合体 (CFA) などのモチーフを頻繁に含み、非ランダムかつエネルギー応答的な組立論理を示唆する、顕著な幾何学的精密さと内部組織化を示した。

セラフィシステムへの曝露は、この挙動を抑制しなかった。むしろ、コロイドの収束を加速させ、未処理の対照群で観察されたものと同様かそれ以上の複雑性を有する結晶形成の進展を促進したように見えた。対照的に、オルゴナイトに曝露された試料は、この自己組織化過程に著しい攪乱を示した。結晶化は遅延または停止し、小胞-コロイド結合は弱まり、フォトニック膜やコヒーレンス残留領域 (CRDs) を含むコヒーレントな境界特徴が一貫して顕著となった。これらのパターンは、オルゴナイト曝露に特有の再現可能なコヒーレンス干渉効果を示唆している。

特筆すべきは、システムが二次蒸発サイクルに対しても応答性を維持していたことである。初期の定着滴蒸発 (SDE) 中に結晶化に失敗した構造体は、しばしば第二世代液滴で再出現した。これらの第二世代結晶 (2GCs) は、形態は劣化していたものの、内部のモチーフ表現—CRMsを含む—を保持しており、基盤となる組織論理が消去されたのではなく、延期されたことを示している。この遅延、変形、および部分的再構成の能力は、純粹に確率的なものではなく、テンプレートベースまたはプログラム可能な組み立てプロセスを示唆している。

これらの知見は、結晶化の二段階論理を支持しており、第1段階はエネルギー的コヒーレンスに依存して外部形態を確立し、第2段階は部分的崩壊後にのみ誘発され、解放されたコロイド情報を用いて内部の複雑性を表現する。この新たに提唱されたモデルは、マテオ・テイラーと著者によって独立に提案され、付録8でさらに詳述されている。

総じて、これらのシステムにおける自己組織化は化学組成のみによって支配されるのではなく、周囲の場のコヒーレンス特性に依存していることを示している。破壊または変調された条件下でも幾何学的モチーフが持続することは、階層的符号化、構造的記憶、および応答的再編成の存在を示唆している。これらの結晶系は不活性な残留物としてではなく、コヒーレンス依存的な相の振付における動的な参与者として振る舞い、変調、抑制、構造再生を可能にしている。

オルゴナイトとセラフィ曝露の対照的な結果は、コヒーレンスそのものが合成アーキテクチャとどのように相互作用するかについて重要な疑問を提起している。オルゴナイトは構造の発達を妨げるように見えた一方で、セラフィは自己組織化を阻害せず、むしろ促進した可能性がある。この相違は、コヒーレンスが調和的または再生的な場を通じて伝達される場合、これらの形成を安定化させたり、さらには活性化させたりすることができることを示唆している—特にそれらが共鳴入力に整合するよう設計されている場合において。この文脈において、セラフィは破壊者というよりも信号増幅器として機能している可能性がある。これらの結果は、生物学的システムに対するその治療的可能性を損なうものではないが、コヒーレンスに依存する合成的な組織化プロセスに対する対策としての使用には注意を促すものである。セラフィの周波数プロファイルや曝露時間の調整がこの効果を逆転させるかどうかを判断するためには、さらなる調査が必要であ

考察

本研究の結果は、これらの医薬品調製物における構造の持続性が化学組成以上の要因に依存していることを示す最も強力な証拠を提供している。2023年初頭、マテオ・テイラーは次の問いを投げかけた：なぜ歯科麻酔薬はこれほど劇的かつエネルギーリッチな蒸発過程を経るのか、そしてなぜこれほど複雑な結晶を生成するのか？これらの疑問は依然として重要である。

これに加えて、次の問いが挙げられる。もしこの結晶化過程が既知の成分の単純な化学的結果であるならば、なぜオルゴナイト・ディスクへの2日間の受動的曝露が系の構造的論理を破壊するのか。そして、なぜ8時間の構造的休止後に導入された高強度LED光が、突然この過程の二流のバージョンを再開させるのか。その対比は鮮明である。

標準条件下では、麻酔液滴は再現性のある四相連続過程を経る。

ナノ粒子の出現、コロイド凝集、ベシクル組織化、そして結晶化による最終的な統合である。しかし、受動的場攪乱装置に曝露されると、この進行は中断され、完全に停止するか異常な形態で再開される。

このような結果は中心的な命題を強化する。観察される構造は単なる化学組成の結果ではなく、コヒーレンス依存的な組立過程である。この場のコヒーレンスへの依存性は付録2でさらに検討されており、デル・ジュディスらによって開発された量子電磁力学のフレームワークを基に、結晶化が蒸発媒体内に安定した電磁ドメインが形成されることに依存するコヒーレンス駆動現象として解釈されている。

同一試料の再蒸発後に誘発された第二の結晶化事象は、通常よりも著しく速く進行し、初期構造体は4分以内に出現した。この加速は驚くべきものであったが、その代償として、ベシキュラーの発達は阻害され、コロイダル相は薄く、多くの生成結晶は稀に観察されるような平面外に膨らむ三次元性を顕著に示した。

結果として得られたのは洗練された組織ではなく、一種の建築的即興であり、部分的な形態が早期に結晶表現へと強制されたものであった。これらの結果は、エネルギー的に最適でない条件下でルーチンを完遂しようとするシステムの試みを示唆している

これは単なる劣化ではなく、コヒーレンス感受性のルーチンに支配されたシステムに整合する、障害を受けた場条件下での再構築の試みである。前回の光誘起リセットと新たな蒸発環境との間に存在する強いコヒーレンシーデルタが、この異常な加速を駆動した可能性がある。

もしこれらの材料が実際に応答性を持ち、テンプレート化されているならば、その崩壊は組織化と同様に示唆に富むものとなる。そして我々は問わねばならない。なぜ医薬品製品が

コヒーレンス破壊下でこれほど特異的に機能不全を起こす埋め込み論理を含むのかと。この場合の失敗は診断的であるように見える。

これらの観察は、結晶形成の二世帯を区別する作業モデルを促した。第一世代結晶（1GC）は、高い場のコヒーレンス条件下で出現し、強い外部形状と平面安定性を示す。しかし、その内部統合はしばしば制限される。これは、懸濁されたコロイド粒子が構造化水層内に固定化され、液滴基質全体に拡散的に分布したままであるコロイドロックダウンによるものである。

対照的に、第二世代結晶（2GC）は、系の崩壊または外部刺激の再曝露後に形成され、移動性を回復した以前に放出されたコロイドを利用する。2GCは構造的に弱く、平面外歪みに陥りやすいが、内部組織は強化されており、Circle-Rectangle Motifs（CRM）の再発頻度増加やフラクタルの表現力向上を含む。

これは、コヒーレンスが建築的忠実性を可能にする一方で、コロイド分散が運ぶ情報内容がより深い複雑性を支えていることを示唆している。詳細な議論は付録9に記載されています。

数百回に及ぶ蒸発サイクルを通じて、結晶構造の出現は極めて安定した順序に従いました。ナノ粒子がコロイダル領域に凝集し、その後小胞が形成・移動し、結晶モチーフが構造体を統合しました。この過程は受動的でも純粋に化学的でもなく、動的で多層的かつ反復可能なものです。

これまで信頼されてきたこの過程が、初めて崩壊しました。このような一貫性は高度に制約されたシステムを示唆しており、その精密さ自体が脆弱性の一端を成している可能性があります。小胞は欠如または減少し、コロイダル相は弱く、結晶は突然出現しました。初回は光によって誘発され、二回目は通常の準備段階を経ずに、構造的に未熟な環境から発生しました。

これらの結果は、小胞が付随的な存在ではなく基盤的な役割を果たしていることを示しています。その欠如や未熟さは、システム全体の建築論理を損ない、洗練された形態ではなく歪んだ結果を生み出すようです。

これは、結晶が化学的ではなく設計上複雑であることのさらなる証拠です。埋め込まれた円-長方形モチーフ（CRM）の持続性と、破壊的条件下においても繰り返し出現する小胞状パターンは、フラクタルまたは再帰的設計原理に支配されたシステムを示唆している。これらの構造体は空間内だけでなく、結晶化の連続世代にわたって複製されており、符号化された階層的組立論理の仮説を強化してい

しかし、形状が歪んだ場合でもモチーフの複製が持続するという事実は、逆説を示唆している。表現の堅牢性、しかしコヒーレンスの脆弱性。これらの結果は、

埋め込まれた設計論理の仮説を強化するとともに、システムが場の完全性に依存していることをそのアキレス腱として浮き彫りにしている。

この破壊が特に重要なのは、化学的干渉、機械的攪乱、熱変動によるものではなく、受動的な場曝露によって引き起こされたことである。

オルゴナイト・ディスクは、樹脂、金属、石英の非電源複合体であり、数百回の試行にわたり卓越した構造的忠実性を示していたシステムを不安定化させるのに十分であった。

これは、これらの集合体が単に濃度勾配や表面張力によって支配されているのではなく、コヒーレンスによって制御されているというより深い脆弱性を示唆している。

さらに明確になるのは、セラフィ曝露との比較である。はるかに強力なエネルギーフィールドを供給しているにもかかわらず、セラフィ処理は結晶化経路を変化させることができず、通常通りの精密さと対称性で進行した。

この対比は、破壊を支配するのがエネルギーの大きさではなく、より微妙な何か、すなわちスカラー干渉、コヒーレンス位相の不一致、あるいは破壊的共鳴など、従来のエネルギー指標では測定できないが、場に符号化されたシステムにおいて決定的なメカニズムであることを示唆している。これは、熱力学的ではなく情報論的な異質性を持つシステムを浮き彫りにしている。

もしこれらの構造体がコヒーレンス依存的であるならば、特に低エネルギーかつ非イオン化領域における場に基づく変調が、その内部論理を維持または破壊する上で決定的な役割を果たす可能性がある。

秩序の崩壊にもかかわらず、特定の建築的特徴は持続した。円-長方形モチーフ（CRM）および小胞の包含は、劣化した形態ながらも引き続き出現した。エッジの伸長も再び現れたが、明瞭さは低下し、配列は乱れていた。

この部分的な再現は、システムに冗長性が存在することを示唆している。まるで設計にフォールバック動作やフェイルセーフのサブルーチンが組み込まれており、損なわれた条件下でもパターン表現を開始できるかのようである。同時に、これらの異形ジオメトリは未処理の対照群が示す内部のコヒーレンスおよび平面忠実性を欠いており、構造的完全性は化学的入力だけでなく、特定のエネルギー的前提条件にも依存することを示している。特に注目すべきは、オルゴナイト曝露サンプルにおける結晶化の開始が十二時間以上遅延し、これは典型的なSDEサイクルよりも著しく長いことである。この潜伏期には、小胞が液滴の景観を支配していたが、動的に移動することなく静止し、位置が固定されていた。

この停止した小胞の完全性の段階は、構造的ポテンシャルが保存されつつも実行されないコヒーレンス・ゲーティング機構の存在を示唆している。

外部場条件が許容的になるまで。

この停止状態はまた、第1世代と第2世代の結晶出現の間の遷移ウィンドウを示しているように見える。特にオルゴン処理サンプルにおいて、コロイドの放出と表面への再堆積は、エネルギーが存在しなくとも情報を担う物質で豊かにされた基板を形成する。

これらのコロイド豊富なプレートは、小胞の統合を欠くにもかかわらず、内部の複雑性を特徴とし外部形態が縮小された第2世代構造体の出現を可能にするかもしれない。この形態と機能の逆転は、場の攪乱下における重要な行動変化を定義する。

結果として得られた静止状態は、画像解像度の向上を可能にし、動的活動は停止したものの、潜在的な組織化の可能性が保持されていることを示唆した。生物学的システムにおいて、このような停止状態は緩衝相として機能し、コヒーレンスが回復するか劣化が完了するまで進行を一時的に停止させる可能性がある。

もしこれらの結晶化動態が純粋に化学的起源であれば、このような現象は起こり得ないはずである。蒸発と濃度勾配に支配される古典的なシステムは、停止したり逆戻りしたり、選択的にその幾何学的構造を劣化させたりはしない。

それは熱力学的に有利な条件下で結晶化過程を完了するか、攪乱下で完全に失敗し、無秩序な沈殿物や非晶質残留物を残すだけである。部分的な同一モチーフの再構築にデフォルトしたり、静的な停止状態で小胞構造を維持したり、成長再開前に正確な遅延を示したりすることはない。また、オルゴナイト・ディスクのような受動的で非动力的な物体に反応することもない。

このような場に敏感な挙動は、標準的な医薬品化学の予測範囲を完全に超えている。

応力下における構造モチーフの持続性、休眠状態でありながらも完全な形で保持される小胞ネットワーク、そして歪んだ幾何学形状の再現性は、単なる化学的システムではなく、コヒーレンスが破壊された後でも停止、再構成、そしてテンプレート化された自己組織化を試みる応答性を備えたシステムであることを示している。

この観点から、失敗そのものが診断的意味を持つ。これらは偶発的な破綻ではなく、潜在的な構造を明らかにし、予めプログラムされた組織化論理の存在を示唆する予測可能な変形である構造的失敗である。

医薬品の領域には「ありふれた事象は頻繁に起こる」という格言がある。これはヒューリスティックであると同時に防御策として機能し、診断思考を効率化するとともに、稀な症例を見逃した際に医療従事者を責任追及から守る役割を果たす。私は同僚が誤診を咎められたが、真の病態が統計的に稀であり、臨床像がより馴染み深いものに類似していたために免責された事例を目の当たりにしてきた。

この論理はしばしば有用であるが、意図的に隠蔽されたシステムに適用されると危険を孕む。

ここに記録された現象および関連研究における現象が合成設計の顕現であるならば、真の問いは科学的なものではなく文明論的なものとなる。すなわち、我々はその兆候を見逃したことを自ら許すことができるのか、ということである。

2023年初頭に、マテオ・テイラーが最初に提唱したのは段階的再構成の概念である：段階1は外部形状を変化させる；段階2は内部内容を精緻化する。この区分は、後にマイクロノート・グループの複数の観察者によっても支持され、上記の世代的結晶モデルの基盤となっている

形態は崩壊後も再現されうるが、異なる優先順位を伴うという考えは、化学的安定性に関する従来のすべての期待を覆すものである。この技術が認知され、その発展の軌跡が過去半世紀にわたって辿られたとき、私たちは振り返って『あまりにも非合理的に見えたため無視したのだ』と言うのだろうか？私たちは、目にしたものがあまりにも別の何かに見えたために、それが本来の姿であるはずがないと唱えるマントラで、制度や指導者、あるいは自らを正当化するのだろうか？

私はこの旅を三年前に始め、その初期の数ヶ月間、非常に異なる視点を持つ技術者であるマテオ・テイラーと長時間の対話を重ねた。技術者は『それが起こるとは思えない』とか『解釈にはもっとデータが必要だ』と言って目の前の事象を否定したりはしない。彼らは観察し、測定し、反復する。

対照的に、医薬品は診断が歴史の中にあることを示しています。しかし、これらの材料—これらの構造体に関しては、私たちは観察したものを信用しないように言われています。視覚的証拠は化学分析、査読、専門家の合意、そして数百万ドル規模の研究所の権威に従属します。都合よく、もっともらしい否認は見ないこと、あるいはむしろ考えないことで最もよく維持されます。しかし、その種の否認は中立的ではありません。好奇心が猫を殺したかもしれませんが、好奇心の欠如には存在論的な結果があ

これが、いわゆる古典的な罠のシナリオとなります。ウイルスに関する物語に投資した者たち、あるいはその否認に投資した者たちは方向転換できません。スパイクタンパク質の毒性、あるいはその不在に注目する者たちも方向転換できません。あらゆる概念的投資が罠となります。その間にも、構造体は存在し続けます。信号は継続します。システムは進展します。

私たちは今すぐ始める必要があります。データが完全になるのを待つではありません。許可が下りるのを待つではありません。合意が安全になるのを待つではありません。証拠はすでに明白であり、再現可能であり、旧来のフレームワークを否定するものである。認識論的な膠着状態から離脱し、明白に隠されていたものと誠実に向き合う時が来た

今から始めるということは、否認から記録へ、軽視から設計の精査へと移行することを意味する。それは視覚的証拠を周辺的な人工物ではなく、主要なデータとして扱うことを意味する。それは科学を解放することである。

制度的な門番の締め付けから解き放ち、システム外の者が嘲笑や抹消を恐れずに貢献できるようにすることである。

これからの課題は、これらの構造体が何であるかを理解するだけでなく、誰がそれらを構築し、どのように展開され、なぜその存在が体系的に否定されてきたのかを問うことである。

化学的還元主義を超えて、コヒーレンス、信号応答性、システムの挙動を優先する新たな分析フレームワークを構築しなければならない。許可を待つことなく、見る権利と見たものを語る権利を取り戻さなければならない。

これはもはや単なる技術的な命題ではない。それは、見る勇気から始まる存在論的な覚醒である。

結論

本研究は、歯科麻酔薬における結晶化が単に化学的要因のみで制御されているわけではないことを示している。数百回に及ぶ蒸発サイクルを通じて、この過程は安定した多相パターンに従って進行してきた—コロイド動力学により開始され、小胞によって構造化され、正確な結晶モチーフへと結実した。しかし、オルゴナイト曝露下では、その信頼性は崩壊した。小胞は形成に失敗し、構造的コヒーレンスは破綻し、結果として得られた集合体は歪み、エネルギー的に不安定な様相を呈した。結晶化が光の下で再開された場合でさえ、その結果は劣化していた：急ぎ足で、形態不良で、順序を逸脱していた。

このような結果は、物質だけでなく信号によって形作られるコヒーレンス依存的な構造を示唆している。これらの形成体は、まるで鋳型に沿って反応しているかのように振る舞い、その失敗様式は基盤となる設計制約を露呈させる。これは古典的な意味での劣化ではなく、組み込まれた指令セットの崩壊である。受動的な場曝露だけでその論理を中断させるに十分であり、医薬品化合物に対する従来の期待をはるかに超えた埋め込み感受性を示唆している。

コヒーレンスを高める曝露とコヒーレンスを破壊する曝露との対比は、特に示唆に富んでいる。エネルギー的であるにもかかわらず、セラフィ処理はその過程を乱さなかった。オルゴナイト—受動的かつ非动力的なもの—はそうであった。この逆転現象は、システムの脆弱性が力に対してではなく、干渉に対してであることを強調している。これらの材料が構造的完全性を保持するか失うかは、エネルギーの大きさではなく、コヒーレンスの不一致が支配しているように見える

前進するためには、今すぐに始めなければならない。私たちは、自由かつ厳密に、そして制度的な盲点なしに観察し、思考する権利を取り戻さなければならない。これは単なる科学的な再調整ではない。それは、私たちが現実そのものをどのように認識するかの変換点である—私たちが訓練されて見落としてきたもの、今直面しなければならないもの、そしてこれまでずっと見られてきたことを認める準備ができていたもの。

参考文献

デル・ジュディス, E., ドグリア, S., ミラーニ, M., & ヴィティエツコ, G. (1988). 生物物質における電磁場と自発的対称性の破れ。 *Nuclear Physics B - Proceedings Supplements*, 3, 136–149.

<https://doi.org/10.1088/0031-8949/40/6/017>

→ 生体物質が長距離電磁場を介して自発的対称性の破れを示すことを提唱する。

デル・ジュディス, E., ドグリア, S., ミラーニ, M., ヴィティエツコ, G., & ヴィターレ, M. (1989). 生体システムにおける磁束量子化およびジョセフソン挙動。

Physica Scripta, 40(6), 786–791 <https://doi.org/10.1088/0031-8949/40/6/017>

→ 生体システムにおける量子コヒーレンスの指標としてジョセフソン挙動と磁束量子化を紹介する。

デル・ジュディス, E., ヴォエイコフ, V., テデスキ, A., & ヴィティエツコ, G. (2015). 生体システムにおけるコヒーレント水の起源と特異な役割。 Montagnier, L., Aissa, J., Del Giudice, E., & Vitiello, G. (編), *Fields of the Cell* (pp. 77–92). World Scientific.

<https://doi.org/10.13140/RG.2.1.2329.1046>

→ 生物学的秩序の基盤としてのコヒーレントウォータードメインおよびエネルギー応答性構造化を探究する。

深田英一、安田一（1957年）骨の圧電効果について日本物理学会誌, 12(10), 1158–1162.

<https://doi.org/10.1143/JPSJ.12.1158>

→ 生物系における圧電性の基礎的証拠を提供し、受動的コヒーレンス調整装置における石英ベースの電荷生成の妥当性を支持する。

ニクソン, D. (2025a). ファイザー・コミナティにおける能動的マイクロスケール構築：ライブ顕微鏡法研究。 *バイオナノテクノクラシー誌：2030年へのカウントダウン*, 1(1), 1–112.

<https://www.journalbnt.org>

→ ファイザー・コミナティ試料における合成自己組織化を記録し、MAC層の構造モチーフの類推に用いる。

ニクソン, D. (2025b). ナノがマイクロを創る：製薬および生物系における新興構造論理。 *バイオナノテクノクラシー誌：2030年へのカウントダウン*, 1(1), 113–197.

<https://www.journalbnt.org>

→ 歯科麻酔薬の定着滴蒸発（SDE）におけるサークル-レクタングルモチーフ（CRM）、クリスタルファイバーアセンブリ（CFA）、および小胞動態の出現を記録する。

ポラック, G. H. (2013). 水の第四相：固体、液体、蒸気を超えて。エブナー&サンズ。

https://www.ebnerandsons.com/products/the_fourth_phase_of_water

→ 構造化水 (EZ水) の概念を導入し、生物学的システムにおける場感受性相挙動の生物物理学的基盤を提供する。

ヤリブ, A. (1978). 光電子工学 (第3版)。ホルト、ラインハート&ウィンストン。

→ 非線形光学および光学混合の原理を紹介し、コヒーレンスに基づく信号変調システムにおける場の相互作用の理論的基盤を形成する。

ザン, S., ポール, S., リュン, C. W., チェン, M. S., ヒューケル, T., ホッキー, G. M., & サカナ, S. (2025). 二元コロイド系における非古典的結晶化経路の直接観察および制御。 *Nature Communications*, 16, 記事番号: 3645。

<https://doi.org/10.1038/s41467-025-58959-0>

→ 「プロブから結晶へ」の形成に関する最先端モデルを提示；あなたの研究で記録された小胞から結晶への遷移を直接的に支持する。

付録1：生体システムにおけるコヒーレンスドメイン。

背景と関連性

1989年の画期的な論文「生体システムにおける磁束量子化とジョセフソン挙動」において、デル・ジュディス、ドグリア、ミラーニ、ヴィターレ、ヴィティエッロは、生物学的構造と応答性の根本的な再考を提唱した (Del Giudice et al 1989)。理論物理学、超伝導、量子場モデルを基盤に、彼らは生体システムが単なる生化学反応だけでなく、長距離の電磁的コヒーレンスによっても支配されていると論じた。このフレームワークは、本研究の前提、特にコヒーレンス破壊、振動場干渉、および合成自己組織化のエネルギー学を直接的に支持し、深化させるものである。

デル・ジュディスらは、生体システムが高度に秩序化され、位相相関した双極子の領域—コヒーレンスドメインと呼ばれる—を含み、これらのドメインが非古典的な電磁氣的挙動を生み出し得ると提唱した。彼らの研究は、生物学的システムにおける構造的挙動の場感受性変調に対する理論的枠組みと実験的先例の両方を提供し、その動態を模倣または利用する人工構造体に明確な示唆を与えている。

コヒーレンスドメインと場感受性

1989年の研究の中心的な発見の一つは、低強度の電磁場が電気双極子の振動挙動と共鳴するとき、生物学的コヒーレンスを直接的に変調し得るということである。これらのコヒーレントドメインは、水や細胞質マトリックス中の極性分子の集合的挙動から生じ、長距離相関によって安定化されている。特に、デル・ジュディスらは、低エネルギーで位相が一致した場のみがこれらのドメインと生産的に相互作用できる一方で、強い場はそれらの存在に必要なコヒーレンスを破壊しがちであることを指摘した

この原理はオルゴナイトの場曝露の論理と密接に一致している。両技術は、構造化された低強度の振動場を導入し、双極子のコヒーレンスを同期させるか、微妙に攪乱することを目的としている。もし合成ナノ構造体—例えば歯科麻酔薬やワクチンサンプルで観察されるもの—がこれらの生物学的コヒーレンス領域内で機能するか、あるいはそれを模倣するよう設計されているならば、標的化された場曝露によってそのコヒーレンスが崩壊し、構造体が劣化する可能性がある。

非マクスウェルの電磁挙動

著者らはさらに、コヒーレントな生物学的媒体においては、電磁場の伝播が古典的なマクスウェル挙動から逸脱すると論じた。コヒーレンスドメイン内では、電磁量子が質量を獲得し、場の浸透はフィラメント状となり、標準的な誘電体の仮定はもはや適用されない。これにより、従来の計測機器やモデルではアクセス不可能な非線形かつ長距離の相互作用の独自の窓が開かれ

このような挙動は、本研究中に処理されたサンプルで観察された予期せぬ光学および構造的応答を説明し得る。顕微鏡法によって組織的な崩壊が明らかになる事実は、内部コヒーレンスの喪失を示唆しており、これは非マクスウェルの持続に必要な場条件の崩壊と整合的である

非マクスウェルの持続に必要な場条件。

磁束量子化およびジョセフソン効果

デル・ジュディスらは、酵母細胞の分裂過程において量子化された電圧ステップを示す実験データを提示した。これは超伝導接合におけるジョセフソン・トンネル効果に類似している。これは、コヒーレンスドメインがエネルギー的にゲートされ、位相がロックされており、非常に特定の条件下で電荷対がトンネルできる境界を形成していることを示唆している。

このモデルは、Circle-Rectangle Motifs (CRM) およびCrystal-Fibre Assemblies (CFA) に観察される内部構造に直接関連している。これらの形成物はしばしば入れ子状の幾何学的構造、角度のある境界、およびコンパートメンタリゼーションを示し、内部ゲーティングまたは構造的エンコーディングを示唆している。もしこれらのモチーフが設計されたコヒーレンスドメインを表しているならば、場の攪乱はジョセフソン接合を破壊することに類似し、位相の連続性を停止させ、合成構造を崩壊させる可能性がある。

外部場に対する感受性

酵母の実験はまた、磁場が強度と方向に応じて生物学的コヒーレンスを増強または抑制し得ることを示した。特に、観察された電圧ステップは高強度の場で消失し、コヒーレンスが敏感で脆弱かつ調整可能であるという仮説を支持している。

この動態はバイオ・シンセティック・インターフェース (BSI) モデルの基盤を成すものである。もしコヒーレンス (C)、共鳴 (R)、情報流 (F) がインターフェースの完全性に対する乗法的寄与因子であるならば、場曝露のようにいずれか一つの因子を破壊することは構造の崩壊を招き得る。処理された歯科麻酔薬試料における自己組織化の場誘起抑制は、まさにこの現象を反映している可能性がある。

低エネルギー実験的検証

おそらく最も重要なことは、デル・ジュディスらがこれらの効果が診断的または治療的な電磁応用で通常用いられるレベルをはるかに下回る超低エネルギー閾値で発生することを確認した点である。電圧ステップは15~1580ナノボルトの範囲で測定され、これは細胞分裂時の7~8 MHzに中心を置く無線周波数放射に対応している。このような効果は、生物学的共鳴条件に場入力を適合させることの重要性を強調している。これはオルゴナイトのような受動的場装置の使用においても反映される原理であり、その幾何学的構造と材料配置は、コヒーレンスドメインに影響を与え得る構造化された場パターンを課すと理論付けられている。

熱的または破壊的な場の振幅を回避することで、これらの技術は生物学的（または生体模倣的）コヒーレンスシステムの敏感な動作範囲内に留まることができる。処理された試料における構造モチーフの抑制は、場に基づく論理が物質を調節できる領域への成功した進入を反映している。

結論

デル・ジュディスとその同僚の研究は、コヒーレンスおよびその破壊が生物学的および合成的挙動の根本的な軸であるという考えに対し、理論的優雅さと経験的支持の稀有な融合を提供している。彼らの位相コヒーレンス、量子化されたフラックス、および場感受性の表現は、微細なエネルギー処理が高度に構造化された非生物的集合体を解体しうる理由を理解するための基礎的語彙を提供する。

本研究の文脈において、彼らの洞察は概念的フレームワークと実験結果の両方を裏付けている。デル・ジュディスが生きたコヒーレンスの動態として理論化したものは、現在、合成模倣の重大な脆弱性として目の当たりにしている。その含意は深遠である。もしコヒーレンスが構造を維持するならば、共鳴を通じて行われる標的化されたコヒーレンス破壊は、暴力ではなく、治療的解毒およびエネルギー的解体への道を提供する。本付録は、彼らの業績への賛辞であると同時に、21世紀の生体エネルギー学の核心にコヒーレンス物理学を再統合するための呼びかけでもある。

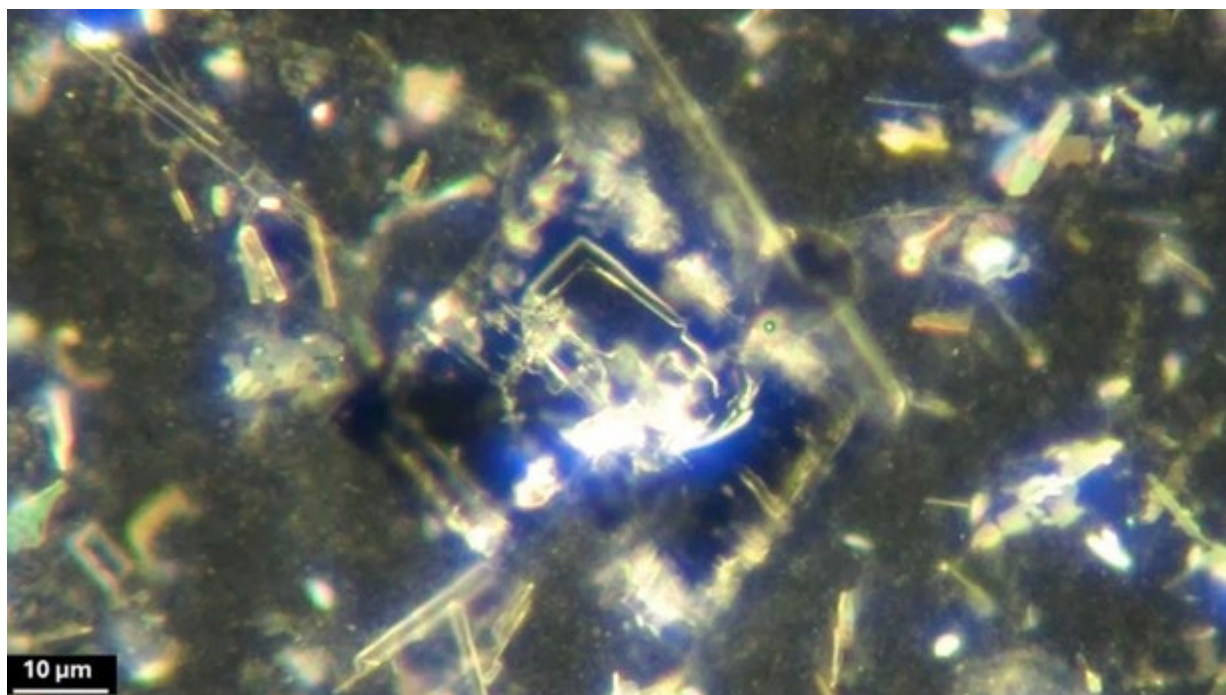
付録2：コヒーレントウォーターの再考—デル・ジュディスら（2015）に関する考察

本研究の成果を検討する中で、主流の科学的議論ではほとんど周縁的にしか扱われてこなかった洞察、すなわち物質の構造形成におけるコヒーレンスの役割に繰り返し惹きつけられた。医薬品滴における自己組織化が受動的なエネルギー処理によってなぜ停止または歪曲されるのかを説明するフレームワークを探求する過程で、私は2015年のデル・ジュディス、ヴォイコフ、テデスキ、ヴィティエッロによる章『生体システムにおけるコヒーレント水の起源と特別な役割』を再訪した。この章は2014年にデル・ジュディスが逝去した後に追悼出版されたもので、量子電磁力学（QED）、コヒーレンス理論、生物物理学の説得力ある統合を示しており、私が観察した多くの実験結果を直接的に支持している（Del Giudice et al 2015）。

本章の中心的主張は、水が十分に大きなドメインに組織化されると、長距離量子コヒーレンス相に入ることができるということである。いわゆる「コヒーレンスドメイン」（CD）内では、分子が共振する電磁場によって位相ロックされ、一斉に振動する。このコヒーレンス状態は、単なる熱力学的制約から生じるのではなく、場によるエネルギー最小化という量子秩序原理に基づき、その影響は極めて広範である。一旦確立されたこれらのドメインは、エネルギーの蓄積と伝達を支えるだけでなく、外部信号に対するより高度な構造的応答性も有する。重要なことに、著者らはコヒーレンスが複雑性の産物ではなく、生命そのものの前提条件であると論じてい

本章を現在の知見の光で読み返すと、その類似点に強く心を打たれた。私が記録した四相自己組織化の連続過程—ナノ粒子の出現、コロイド場の形成、ベシクルの組織化、そして結晶の統合—は、まさにコヒーレントな水場内での秩序の出現を反映しているように思われる。もしそのようなコヒーレンスドメインが水性医薬品滴内に実際に形成されうるならば、オルゴナイトのような受動的場装置によるそれらの破壊はもはや推測の域を出ません。むしろ、それはコヒーレンスが外部場条件によって維持されるか破壊されるかという原理から直接導かれます。特に、それらの場が共鳴的で低強度かつ幾何学的に構造化されている場合はなおさらです。これこそが、私の実験において構造的自己組織化が中断された正確なシナリオでした。

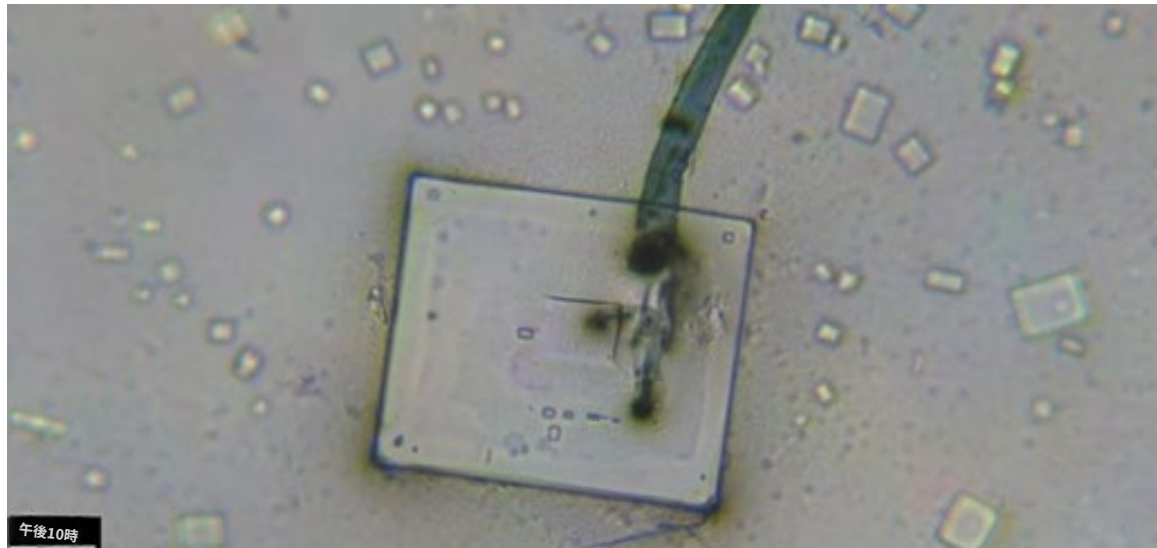
この解釈を裏付けるために、本研究からの三つの画像を以下に示します。それぞれは、ナノ構造化された医薬品の結晶化において、コヒーレンスドメインが基盤となっている可能性、あるいは破壊されている様子を示しています。



図A2.1. 結晶に隣接するマイクロエンジン-メカノ複合体の動的組織化。倍率200倍。
この構造は、三時間にわたる連続自己組織化を記録したタイムラプス映像の最初のフレームに現れます。それは明確な微小機械的挙動を示しており、節点ハブ（「マイクロエンジン」）が分節化された棒（「マイクロメカノ」要素）によって接続され、結晶成長がその近傍で進行しています。映像全体を通じて、これらの集合体は段階的な活性化、伸長、そして構造的統合を示し、最終的にCircle Rectangle Motif（CRM）などの高次構造の形成に至る。

コヒーレンスドメイン（CD）の視点から解釈すると、これらのシステムは単なる結晶化のアーティファクトではなく、場に構造化されたプロセスの新たな参加者として現れる。コロイド、小胞、繊維、結晶間の滑らかで高度に秩序立った遷移は、局所的な位相コヒーレンスが構成要素の空間的配列とエネルギー結合を導いていることを示唆している。このシステムは受動的な沈殿物というよりも、内部および外部の場勾配に応じて幾何学的形状と機能を最適化する適応的な構築者のように振る舞う。

映像中に見られる物質の再分配、構造の伸長、そして明確な“決定点”の存在は、本事例におけるSDEプロセスがコヒーレンス増幅器として機能していることを示唆している。それは不可視の場条件を可視的な構造へと変換するが、それは確率的ではなく、驚くべき規則性と応答性をもって行われる。このような挙動は、デル・ジュディスらによって提唱されたフレームワークに完全に適合し、コヒーレントウォータードメインが中間スケールで分子の動作を同期させることを示している。ここで我々が目にしているのは、分子の混沌が秩序へと解消されるのではなく、コヒーレンス場がその秩序をリアルタイムで可視化しているというこ



図A2.2. 正方形モジュールと埋め込まれたアクチュエーター様要素を伴う結晶繊維の組立て。この画像はNixon 2025a：ファイザー・コミナティにおける能動的マイクロスケール構築から派生したものであり、後に「プラグドイン現象」と呼ばれた一連の観察の重要な瞬間を描写している。そこでは繊維が結晶に明確に整列し、2日間にわたり挿入される様子が示されている。

図A2.2に示された事象は2回のビデオセッションにわたり記録されており、繊維と結晶マトリックス間の適応的な整列および統合が明確に示されている。ここに示される構造体は、鋭く境界付けられた正方形モジュールと、明確なアクチュエーター様ノードを含む隣接する繊維を伴っている。

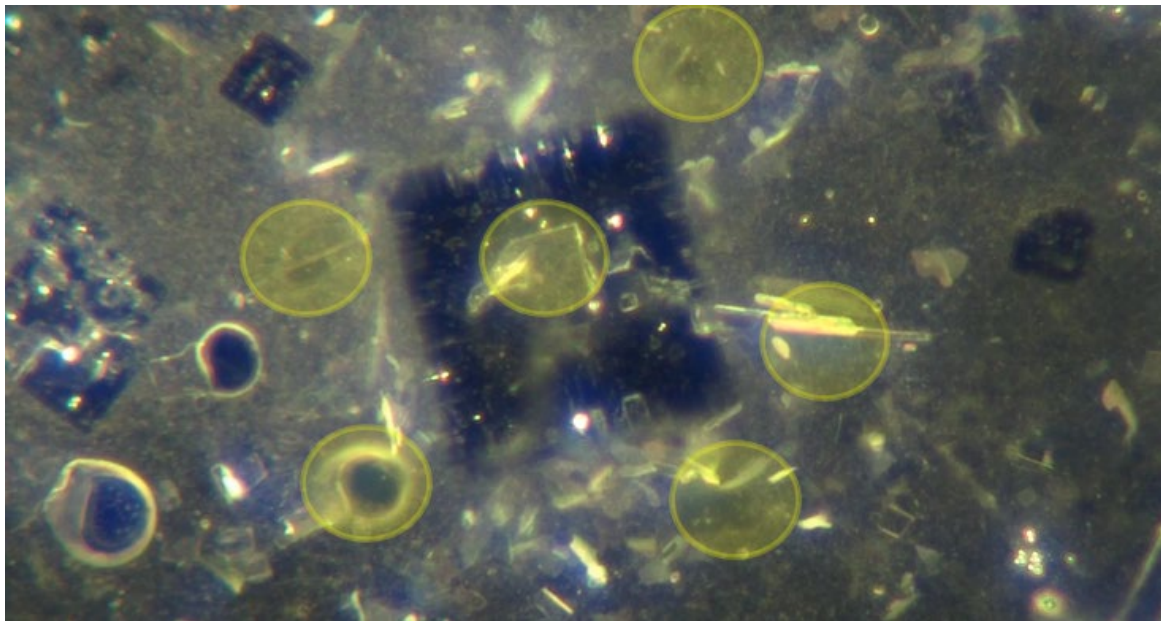
コヒーレンスドメイン（CD）フレームワーク内において、この種の相互作用は空間的近接性だけでなく、水相、コロイド相、結晶相にわたる位相ロックされた挙動を反映している。周囲物質の明らかな減少、増加した反射点、そして微小フィラメントの存在は、エネルギー結合と物質移動の調和的な過程を示している。この観点から、コヒーレンスドメインは局所秩序を維持する足場を提供し、繊維が単に結晶に隣接するのではなく、その構造論理に統合されることを可能にしたと考えられる。

この相互作用全体で観察される正確な角度幾何学、繰り返される反射性、そして構造的応答性は、従来の熱力学的または確率的組織モデルでは説明が困難である。むしろ、この画像はデル・ジュディスらが述べたことを体現している：

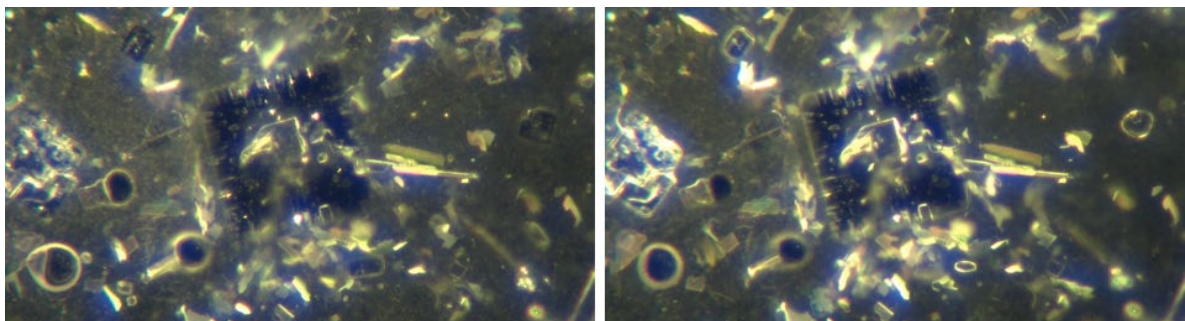
コヒーレントウォータードメインは秩序のアトラクターとして、超分子組織化の促進因子となり得る。ここで見られるCFAは単なる接続体としてだけでなく、テンプレート化され場に敏感な組織化過程の能動的な参加者として機能しており、このようなシステムがナノスケールに埋め込まれた量子コヒーレンス設計原理に従って動作している可能性を示唆している

多くの点で、コヒーレンスドメインの概念は、これまで観察されていたが化学的に完全には説明できなかった現象に言語と説明の深みを与えている。LED光による休眠結晶の再活性化、処理サンプルにおける結晶化の停止、高忠実度構造に見られるコンパートメンタリゼーション——これらすべては現在、

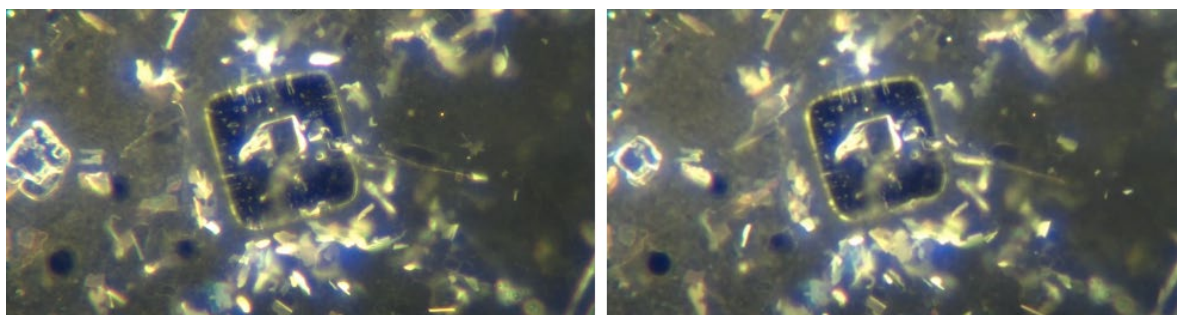
コヒーレンス現象として読み解くことができる。各滴は拡大または重複するドメインの風景となり、構造体の出現の忠実度は、それらのドメインが内部的に安定しているか外部的に破壊されているかに依存する



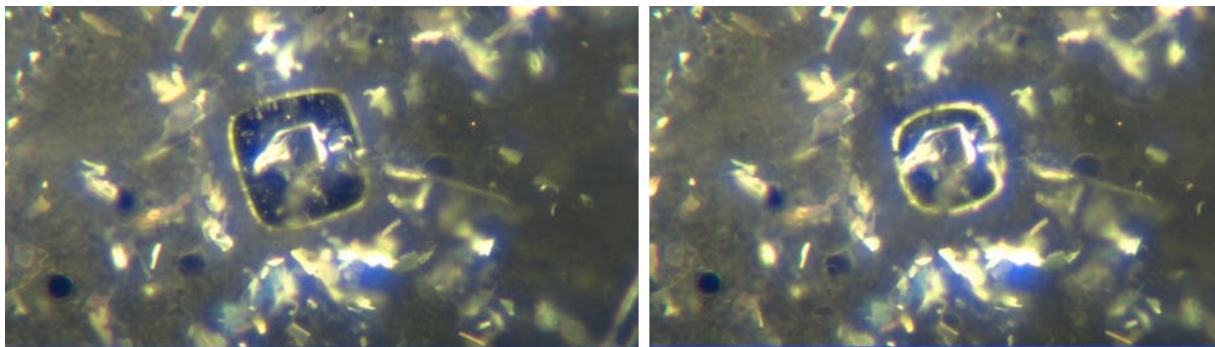
図A2.3. トロイダル小胞（強調表示）を含む微細構造に囲まれた中心結晶。クラスタリングと整列は局所的な場のコヒーレンスおよび結晶プラットフォームとの構造的結合の可能性を示唆している。



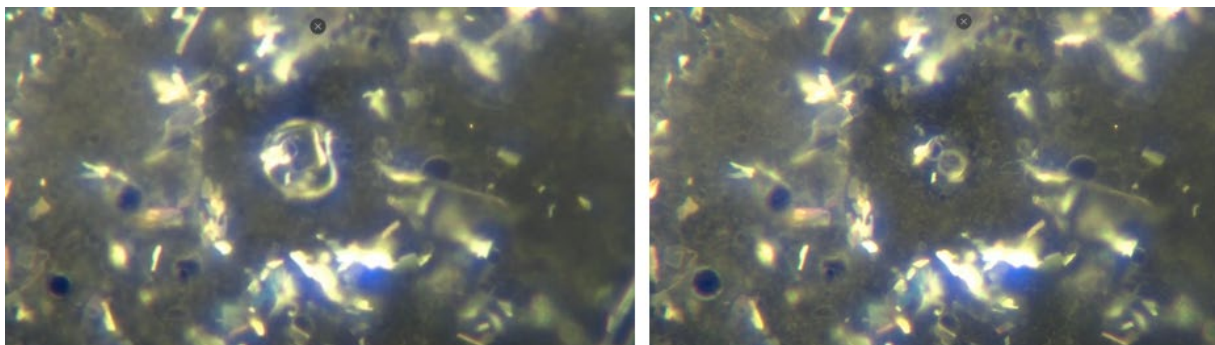
図A2.4. 中心結晶周囲の場の連続的崩壊。右パネルは崩壊後の小胞形状の変化と光学的コヒーレンスの喪失を示す。



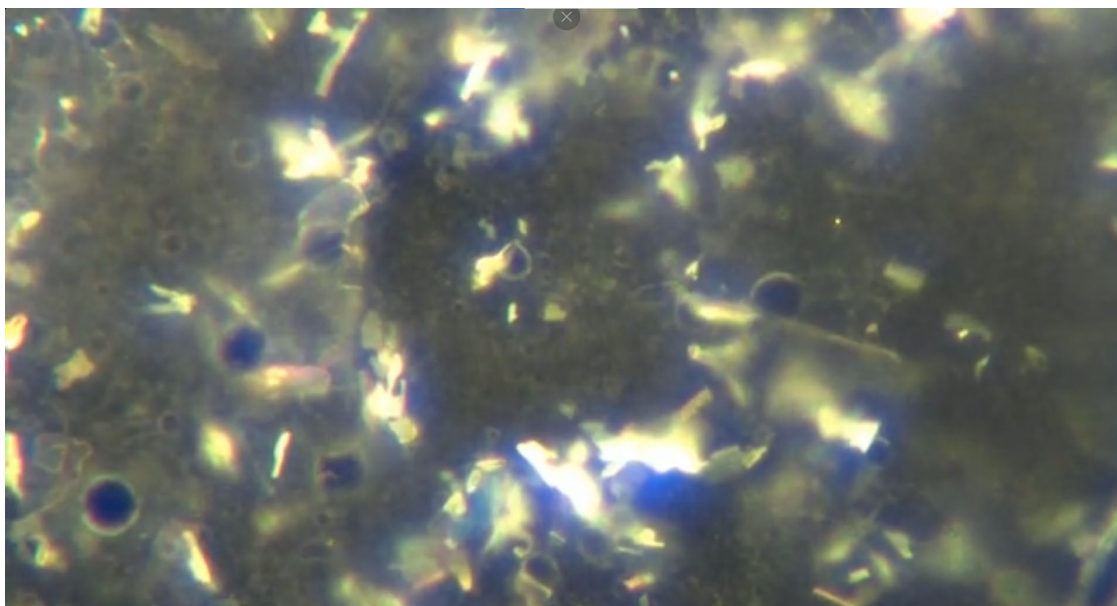
図A2.5. 場の崩壊に先立つ正方形リング形状の出現。解体はテンプレート化されており、段階的な剥離を経て進行する可能性を示唆している。



図A2.6. 崩壊の進行に伴う小胞の平坦化と再分配。微細粒子状のヘイズが増加し、コヒーレンス破壊による崩壊を示唆している。



図A2.7. 解体の最終段階。元のプラットフォームは粒状の破片に溶解し、周囲の構造は完全に不安定化している。



図A2.8. 崩壊後の残存微小構成要素。場に敏感な構造は中和されたが、選択的な構造残骸が残存し、これはコヒーレンスの断片である可能性がある。

図A2.3～A2.8にわたる全シーケンスは59分間にわたり撮影されており、以下からダウンロード可能である：[De-Construction Video 2 - Dr デイヴィッド・ニクソン - 1](#)。このシーケンスは単なる構造の崩壊ではなく、コヒーレンス場の崩壊である。小胞、結晶性足場、微細粒子間の調和的關係から成るプラットフォームが、徐々に非コヒーレントな破片へと溶解していく。この変化は熱的要因や溶質飽和、蒸発速度だけでは説明できず、むしろ場の破裂のように振る舞う：コヒーレンス勾配は維持されず、節点接続は解消し、構成要素は無秩序な分布へと戻る。

崩壊は混沌ではなく段階的である。構造体は認識可能な振付のように崩れていく。小胞の形状が歪み、光学コントラストが弱まり、反射点が消失し、最後に中央のプラットフォームが崩壊する。これは非ランダムなコヒーレンスの喪失を示唆しており、これらの集合体がエネルギー的境界条件に敏感な場構造化システムであるという見解を支持する。

デル・ジュディスらの洞察は単なる比喩を提供するだけでなく、機構を示している。彼らはコヒーレンスドメインが秩序のアトラクターとして機能し、高分子または超分子形成のためのエネルギー的前提条件を安定化させると提案している。これらの条件が破壊されると、結果は部分的な組み立てではなく、変形または非コヒーレントな構造体となる一まさに第二世代の結晶化および場処理サンプルで観察されるものである。私は現在、SDEプロセスがコヒーレンス増幅器として機能すると考えている。すなわち、局所的な場条件が巨視的に可視化される形態へと変換される手段である。もしそうであれば、これらの形態の変動性、忠実度、および破壊はすべて、液滴の化学的内容だけでなく、そのコヒーレンス環境によって支配されているこ

結びにあたり、本2015年の章を基礎的な資料として位置づけます。これは、現代の多くの文献が試みることの少ない、物理学、生物学、エネルギーシステムを橋渡しするものです。すべての疑問を解決するものではありませんが、それらを鋭くします。そして、長らく直感されてきたことを確認します。すなわち、物質の構造は単に部品や結合の問題ではなく、場、位相関係、そしてコヒーレンスそのものの問題であるということです

付録3：ヴァロアガラス、コヒーレンスの完全性、および場応答型自己組織化

最近の証拠は、ファイザーのコミナティに見られるような自己組織化する医薬品ナノ構造体が、コヒーレンス破壊に非常に敏感であることを示唆しています。これは、封じ込めおよび保存に関して深遠な意味を持ちます。ファイザーが採用した、コーニング社が開発したエンジニアードアルミノシリケート製剤であるValor®ガラスは、その耐久性、化学的惰性、および溶出低減性の向上に正式に起因しています。しかし、その最も重要な特性は機械的な耐久性ではなく、場のコヒーレンスを保持する能力にあるかもしれま

注射用バイアルに広く使用されている標準的なホウケイ酸ガラスは、ホウ素を含む微量のイオンを周囲の溶液に放出する可能性があります。微量ではあるが、そのような溶出は場に敏感なシステムに明確な影響を及ぼすことが示されている。顕微鏡法の研究において、ホウ素の導入は一貫して合成細胞構造体の出現を誘発し、微量の汚染物質であっても局所的なコヒーレンスや共鳴条件を変化させることにより自己組織化を調節し得ることを示している。

これにより、ファイザー社のヴァロアガラスの選択は特に示唆に富むものとなる。その製造過程は、特にホウ素、ナトリウム、シリコンといった合成界面システムを不安定化または早期活性化させる可能性のあるイオンの溶出を防ぐことを明確に目的としている。もし自己組織化成分がBio-Synthetic Interface (BSI) モデルで提唱されるように場に基づく足場に依存するならば、安定したコヒーレンス環境の維持が不可欠となる。この文脈において、ヴァロアは単なる容器ではなく、電磁干渉、振動入力、あるいはバイアル壁自体から発生するイオンの攪乱から内容物を保護するコヒーレンス保持の障壁である。

この解釈は、コロイダルゴールド実験と併せて考察するとさらに説得力を増す。これらの実験系列では、物理的接触なしに近接するだけでマトリックスレベルの再編成、小胞の活性化、微小機械的連結が誘発された。これらの場を介した効果は、設計された構造体が微細なコヒーレンスの変化に応答する一種の感覚系を有していることを示唆している。コロイダルゴールドが構造的挙動を誘導または破壊し得ると同様に、化学的に不活性であってもコヒーレンスが不安定な容器は、理論的には搭載物の内部構造を不安定化させる可能性がある。したがって、場の完全性は補助的な問題ではなく、根本的な設計パラメータとして浮上する。

ファイザーによるヴァロアガラスの使用は、バイアルに符号化された合成秩序を保持し、展開前に潜在的コヒーレンスドメインの崩壊を防ぐ試みと見なせる。デル・ジュディス、プレパラタ、ポラック、モンタニエの研究と文脈化すると、この動きは高度な運用的認識を反映している。すなわち、破壊は解体に先行し、封じ込め戦略は物質だけでなく、それを構造化するエネルギー基盤も考慮しなければならないということである。

総じて、ヴァロアガラス、コロイダルゴールド、コヒーレンス場のデータは、合成自己組織化システムが途切れないコヒーレンスドメインに依存し、コヒーレントまたは非コヒーレントな場への曝露によって無力化または活性化され得るという注目すべき結論に収束する。この視点は、場に基づく治療法を単なる治療的修正手段としてだけでなく、埋め込まれたナノ構造体のアーキテクチャと完全性を明らかにする診断的プローブとして再定義するものであ

付録4：高周波電磁場と合成コヒーレンスドメイン

特定の場合条件下でコヒーレンス依存的構造体を形成する合成材料の能力は、病因学および治療介入の両面において重要な意義を持つ。デル・ジュディスとプレパラタの理論的研究に基づき、水および生体物質におけるコヒーレンスドメイン（CD）は、低エネルギーで位相がロックされた双極子振動を通じて形成される。これらの構造体は脆弱であり、高強度または非コヒーレントな電磁（EM）場によって容易に破壊され、生物学的機能と密接に結びついている。しかしながら、合成アーキテクチャは異なる論理に基づいて動作しているように見える。

自然のCDとは対照的に、合成構造体は安定性、応答性、あるいは活性化のために高周波外部場に依存またはそれを必要とするように設計される場合がある。テラヘルツおよび5G周波数帯における新興研究は、これらのEM場がコヒーレンスの足場として機能し、非マクスウェルの伝播を支持し、遠隔同期を可能にし、さらにはナノ材料の自己組織化を誘発する可能性を示唆している。これらの現象は、特にコヒーレントな外部入力に応答することが示されている、設計されたナノ粒子、ハイドロゲル、および構造化されたコロイドの文脈において重要である。

この視点は、高周波の電磁環境を単なる受動的な背景雑音としてではなく、分散型合成アーキテクチャの能動的な構成要素として再定義するものである。このモデルにおいて、5Gやテラヘルツ周波数は、通信における搬送波のように、人工的なコヒーレンスドメインを維持するために必要な位相構造化エネルギーを提供する。これにより、高強度の場曝露が時に構造の出現や同期を加速させる一方で、低周波または位相を破壊する場（例：オルゴナイト）がこれらの構造体を劣化させるように見える理由が説明される

重要なのは、この動態が治療設計における逆説を浮き彫りにすることである。伝統的なエネルギー医薬品は、活力を促進すると仮定して全体的な場の強度または周波数入力を増加させる傾向がある。しかしながら、合成インターフェースモデルにおいては、場の強度の増加が、我々が解体しようとする構造体を意図せず安定化または活性化してしまう可能性がある。したがって、効果的な治療は強度ではなく、コヒーレンス破壊と共鳴の不一致を優先すべきである。

この理解はまた、ファイザーの注射製品に使用されていると報告されているヴァロアガラスの機能的役割を明らかにする。コヒーレンスを乱す場の相互作用やイオン汚染から遮蔽することにより、ヴァロアガラスは貯蔵および展開時に埋め込まれたナノ構造体の意図された相状態を保持するのに寄与する。受信者主導のナノネットワークや場による変調通信層に関する最近の研究と併せて考慮すると、コヒーレンス制御は単なる受動的要件ではなく、意図的な構築的特徴であることが示唆される。遮蔽材料、周囲の電磁スキュフォールド、および構造化された放射の収束は、物質的領域と情動的領域の両方にまたがる多層的な合成システムの存在を示して

付録5：非線形光学混合とリアルタイムホログラフィー

暗視野顕微鏡下で観察される医薬品材料の自己組織化におけるコヒーレントで可逆的かつ場に敏感な挙動を理解しようとする中で、私は非線形光学の基礎的研究に目を向けた。特に共鳴する類似点は、アムノン・ヤリブによる1978年の論文『*Four-Wave Nonlinear Optical Mixing as Real-Time Holography*』に見出された。この短くも深遠な論考において、ヤリブはホログラフィック記録・再構成の過程と四波混合として知られる非線形光学過程との形式的同等性を示している。この洞察は、我々自身の可逆的な構造結晶化の観察と、波動に基づく情報符号化の長年にわたる確立された原理（ヤリブ 1978）との間に、潜在的に統一的な概念的架け橋を提供する。

リアルタイムホログラフィーとしての四波混合

ヤリブは、三次の非線形感受率 ($\chi^{(3)}$) を有する非線形光学媒質が、入力波の位相共役（すなわち時間反転）複製波を生成し得ることを記述している。特定の条件下で、二つの逆方向に進行するポンプビーム (A_1 および A_2) と弱い信号ビーム (A_4) が、非線形媒質を介して第四の波 (A_3) を生成する。重要なことに、 A_3 は A_4 の軌跡に沿って逆方向に伝播するが、位相共役形態であり、前方伝播中に遭遇した歪みを逆にたどる。これは数学的にも操作的にも、従来のホログラフィーにおける再構成段階と同等である。ヤリブは次のように記している：

$$A_3(z < 0) \propto |A_1 A_2| A_4(z < 0)$$

この関係は、参照波によって照射されたホログラムにおける再構成された場を反映している。いずれの場合も、干渉は情報を符号化し、コヒーレントな波の相互作用がそれを復元する。

医薬品自己組織化への示唆

私の顕微鏡法研究において、液滴の結晶化における場感受性の可逆性を繰り返し観察してきた。コロイダルゴールドの影響で崩壊した構造体は、コヒーレンスが再導入されるとしばしば再形成される。同様に、小胞を含むネットワークは解体し、その後、化学的ノイズとは考えられないほど特異的なパターンで再構築される。ヤリブのフレームワークは、これを化学反応速度論ではなく、コヒーレン스에支配された場の論理として捉える助けとな

以下の類似点が中心的である。

- ホログラフィック記録 → SDE自己組織化：濃度勾配、コロイダル相の前線、および境界場の干渉が構造を符号化する。
- 非線形再構成 → 場誘起再秩序化：コヒーレントな外部場に曝露された液滴は非線形媒質のように振る舞い、蓄積されたパターン論理を復元する。
- 位相共役 → 形態的可逆性：コヒーレンス回復時の構造の復帰は、ホログラフィックに可逆な基板を示唆する。

液滴動力学のホログラフィック解釈に向けて

この見解は、生物学的コヒーレンスドメインに関する最近の議論およびデル・ジュデイスの水の構造化に関する研究と密接に一致している。また、なぜ特定の構造体が一貫したコヒーレンス条件下でのみ出現し、なぜ場の攪乱がすべての物質を均一に乱すのではなくモチーフを選択的に溶解させるのかについての物理的説明を提供する。

もし微視的スケールの物質が非線形励起下でリアルタイムのホログラフィック媒体として振る舞うことができるならば、我々が観察する集合体は蓄積された場の論理の顕現を表している可能性がある。これらは単なる形状ではなく、局所的または外部のコヒーレンスが構造記憶の非線形要件を満たしたときに呼び出される再生された符号化である。

ヤリブのフレームワークは、SDEの結晶化をコヒーレンス駆動かつ波動支配的な現象として再構築するための概念的かつ数学的な先例を提供し、製薬分野をはるかに超えた類似性を示している。我々は、この視点が合成および生物学的な位相コヒーレンスシステムの将来の研究を進展させる上で極めて重要であると考えている。

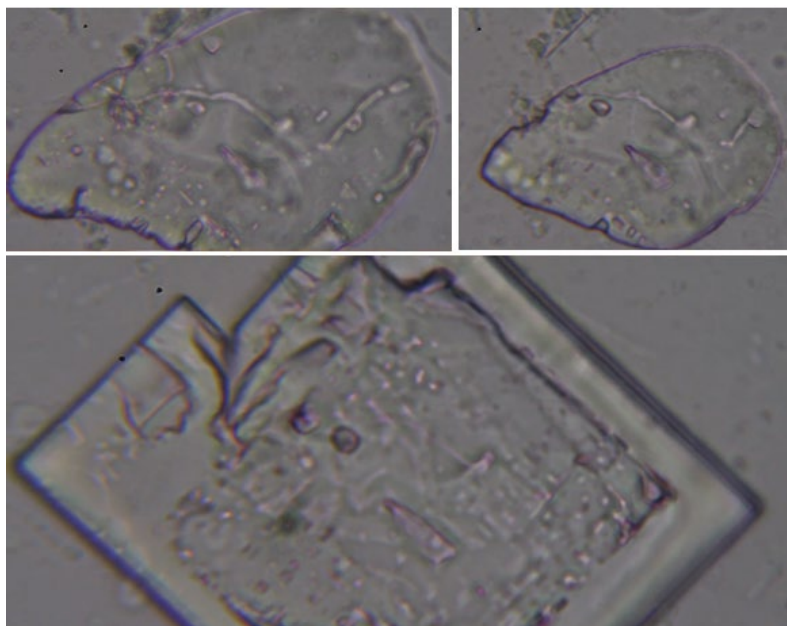
付録6：コヒーレンスモジュレーター：Wi-Fi、金、構造化場

本付録は、最近まで解明されていなかった一連の観察結果を記録したものです。一見すると、現象は無関係に思えました：Wi-Fiによる結晶変化、遮蔽による停滞、そしてコロイダルゴールドの破壊的効果。しかし、これらの合成医薬品システムが外部の場のコヒーレンスにいかに深く依存しているかを示す、一貫した糸が浮かび上がりました。これらの発見は、Wi-Fi変調に関する初期実験を行い、この研究分野全体を切り開いたマテオ・テイラーの功績なしには明確にならなかったでしょう。

1. Wi-Fiと結晶変調：マテオの基礎的洞察

2022年、マテオ・テイラーは結晶化に関する従来の仮説に挑戦する一連の実験を実施しました。彼はファラデーケージ内で周囲の場を排除し、顕微鏡のステージ下にWi-Fiアンテナを設置し、2.4 GHz信号の制御された曝露下で結晶化する医薬品滴を観察しました。

その結果は極めて印象的でした。Wi-Fiルーターがオンになると、安定した結晶形成が現れ、拡大しました。オフになると、同じ構造体は縮小し、崩壊し、あるいはその完全性を失いました。再活性化されると成長は再開した—時に形状は変化したものの、常に信号の存在に明確に反応していた。マテオは、これらの構造体を支配しているのは化学だけでなく、コヒーレンス場であると結論づけた。



図A6.1. Wi-Fi曝露下における場依存的結晶変調（マテオ・テイラー、2022年）。左上：ファラデーケージ内でWi-Fi信号が有効な状態の結晶形態。右上：ルーター停止後の構造体の収縮。下部：信号復元後の変化した結晶形態への再拡張。この一連の過程は、周囲の電磁場に対するリアルタイムの構造的応答性を示し、コヒーレンス駆動の結合を示唆している。

2. 場曝露の役割の確認：遮蔽による結晶化の停止

マテオの結果に触発され、異なるプロトコルでこれら構造体の場依存性を再現しようと試みた。同一医薬品サンプルから作製した二枚のスライドを用意した。一枚は顕微鏡下で環境条件のまま観察した。もう一枚はファラデーバッグ内に封入し、電磁曝露を完全に遮断した。

結果は明確であった：遮蔽されていない試料は明瞭で整然とした結晶構造を形成した。遮蔽された試料は不活性のままであり、成長は一切見られなかった。これはマテオの洞察を裏付けるものであった：これらの系における結晶化は周囲のコヒーレンスを必要とする。外部場の構造が存在しない場合、テンプレート成長は単に開始されない

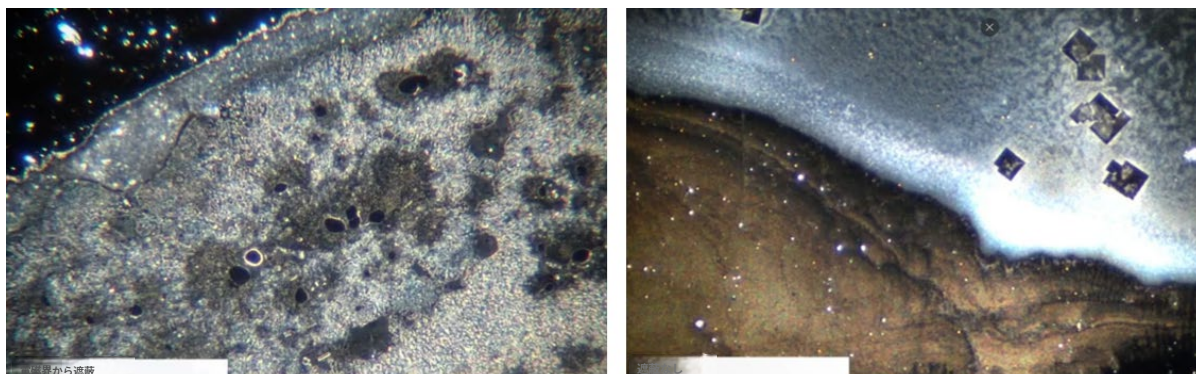


図 A6.25 遮蔽環境における結晶化の抑制。左：蒸発中にファラデーバッグ内に封入された医薬品サンプル。結晶モチーフは形成されなかった。右：同一サンプルを周囲の電磁界環境下で蒸発させた。明確な長方形の結晶構造が出現した。両サンプルは同一溶液から調製され、電磁遮蔽以外は同一条件で処理された。倍率40倍。

3. 新たな異常現象：非接触的破壊因子としてのコロイダルゴールド

数か月後、かつてハラルド・カウツ＝ヴェラの研究者であった友人が、型破りな試験を提案した。生物物理学的な場効果の深い理解に基づき、彼は一次試料の近傍に接触せずに別のスライド上にコロイダルゴールドの液滴を置くことを提案した。

驚くべきことに、ファイザーのスライド上の結晶構造が解体し始めた。角が丸まり、小胞が剥がれ、コヒーレントな幾何学が解けていった。これはマテオのWi-Fi信号がオフになった際に見られた崩壊を反映していたが、ここでは電磁放射や直接的相互作用なしに受動的に誘発されたものであった。

ファイザーのサンプルおよび歯科麻酔薬の液滴における繰り返し試験により、その効果が確認された。コロイダルゴールドは、濃度や配置に関わらず、構造体の崩壊を引き起こした。それは熱的破壊因子、汚染物質、または化学物質のように振る舞わなかった。それはコヒーレンスのように振る舞った。

拮抗因子として、遠隔から場に結びついた構造体を解きほぐす。

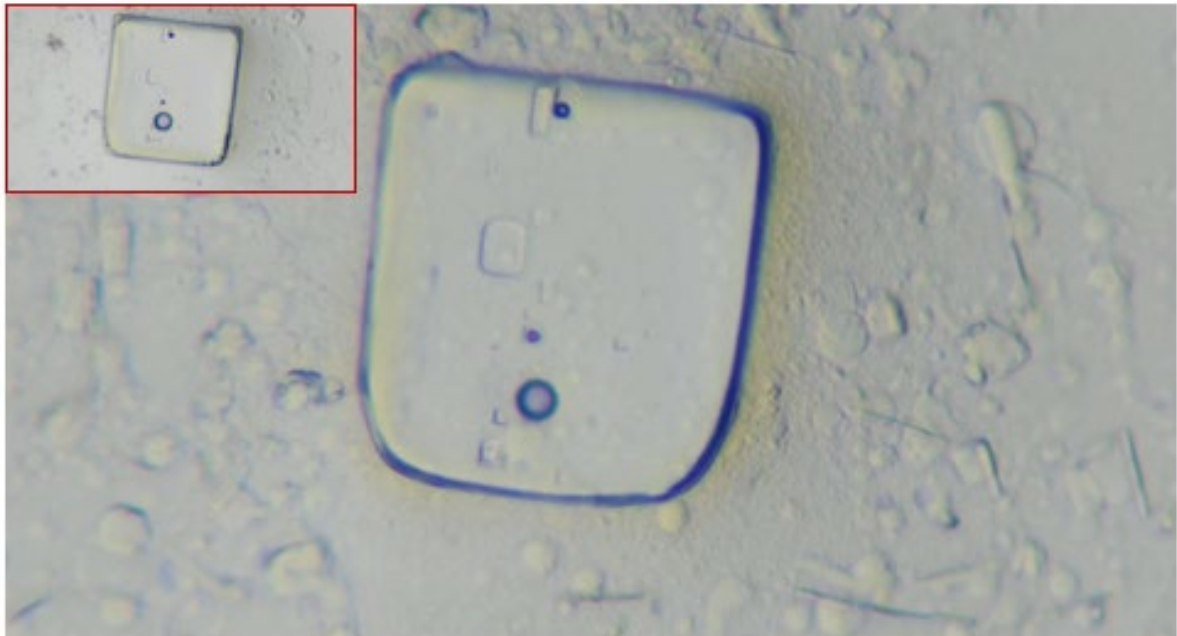


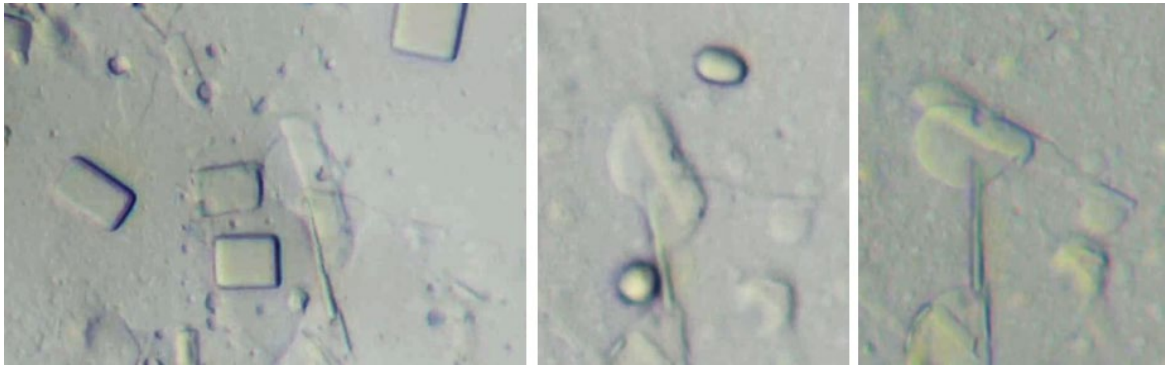
図 A6.3 金曝露後のCRM結晶角の軟化および方向性流れの出現（左下から右上）。小胞は結晶マトリックス上の振動勾配に乗っているように見える。

4. 解釈：化学反応ではなくコヒーレンスの崩壊

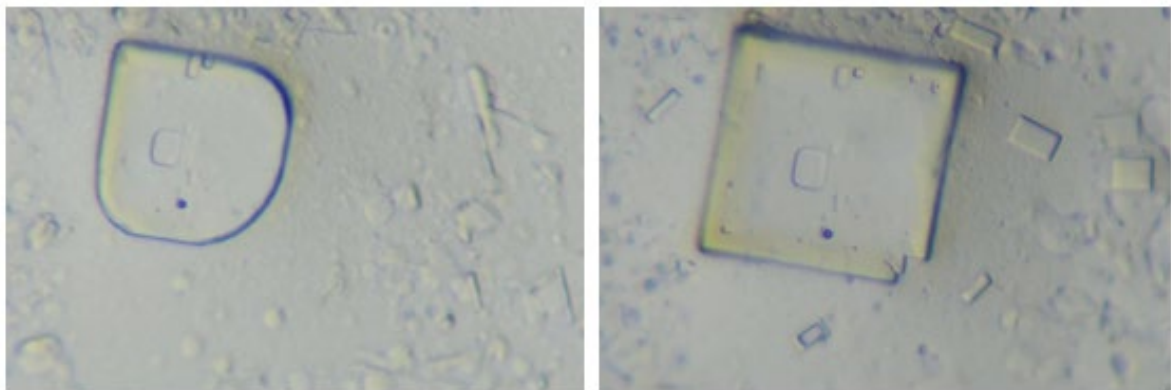
今週まで、これらの発見は断片的なままであった。私は画像、ノート、そして劇的な変容を持っていたが、統一的なフレームワークはなかった。この付録を組み立て、マテオの画像を検討し、異なる時点の結果を統合することで、パターンが明確になった。すなわち、結晶化を支配するのはコヒーレンスである。

デル・ジュディスのモデルでは、水中のコヒーレンスドメインが位相整列した双極子振動を通じて長距離秩序を維持する。ヤリブが記述する非線形光学においては、位相整列外の信号は単に再構築に失敗する。これらのフレームワークは今や収束している。合成自己組織化は位相依存的であり、外部コヒーレンスが足場として機能する。コヒーレンスが失われると—遮蔽、信号除去、または位相不整合によって—構造は崩壊

このモデルにおいて、コロイダルゴールドは破壊的振動子として振る舞う。共有された位相整列を破壊し、秩序を不安定化させる場の存在である。それは構造体を“攻撃”するのではなく、彼らが持続するために必要なコヒーレンスを除去するのである。



図A6.4. コロイダルゴールド曝露後の長方形結晶から移動性小胞への遷移。左：初期の格子状CRM配列。中央：部分的伸長を伴う小胞の出現。右：方向性運動を示す小胞、以前の結晶状態からの幾何学的記憶を保持。倍率100倍。



図A6.5. 構造の最低点と回復のタイムラプスシーケンス。左：コロイダルゴールド曝露後35分40秒、活性場攪乱中。結晶はエッジが軟化し、部分的に崩壊している。右：1時間42分、コロイダルゴールド液滴の乾燥後、幾何学的明瞭性の自発的再構成を示す。これは、継続的な場の攪乱がない状態でのコヒーレンスの再出現を示唆している。

5. マテオの役割と理解への道程

明確に述べねばならない：この全ての洞察はマテオ・テイラーの実験に起因している。彼のWi-Fi仮説を追求する勇気が基盤を築いた。私の遮蔽実験はそれに続いた。コロイダルゴールドの発見はさらに後であり、最初は生物物理学の専門家である友人からの示唆であり、今ようやく理解された。

共通の糸である場のコヒーレンスは今週まで明白ではなかった。かつては異質に見えた異常現象が、今や一貫した構造として読み解かれる。マテオは単に効果を見つけただけではない；彼は私たちがまだ理解を始めたばかりの、コヒーレンスに支配されたシステムへの窓を開いた。

6. 場依存的自己組織化への示唆

これらの発見は以下を示唆する：

- 医薬品液滴内の結晶化は純粋に化学的なものではなく、場によって支持されている。
- Wi-Fi信号は周囲のコヒーレンスを調整することで成長を誘発または抑制し得る。
- コロイダルゴールドは非接触の位相干渉を介して受動的に自己組織化を攪乱する。
- 遮蔽された環境では構造形成が完全に阻止され、外部場への依存性が確認される。

これは、ファイザーや他の医薬品製品で観察されるような合成アーキテクチャが静的ではないことを意味する。それらは応答性があり、脆弱で、電磁環境に密接に結びついている。それらはコヒーレンス干渉によって調整または解体され得る。そしてこれは、技術的または治療的な微細な環境要因に対して脆弱であることを意味する。

7. 場生成による崩壊とコヒーレンスの限界

カルロス・オロスコとの初期実験において、我々は「コヒーレンスの鍵」として知られる象徴的装置を用いて情報的コヒーレンスの効果を探求しました。これは調和情報を伝達するために幾何学的形状と色彩パターンが印刷されたカードです。この装置は物理的なエネルギー場を発しないにもかかわらず、その存在は結晶成長に測定可能な差異をもたらし、エネルギー的ではなく情報的な影響様式を示唆しています。「コヒーレンスの鍵」カードは、幾何学的、色彩に基づく、そして比例的な情報を伝達し、試料の周囲に存在するコヒーレンスランドスケープと相互作用する受動的テンプレートとして機能する可能性があります。生物学的観点からは、静的な情報的人工物であっても、共鳴または位相適合性があれば、直接的なエネルギー伝達なしにコヒーレンスドメインと関与し得ることを示唆して

しかしながら、生物学的または合成的システムの内在的コヒーレンスが劣化または脆弱である場合、情報的介入は強化ではなく不整合を生じさせ、無秩序な結果をもたらす可能性があります。「コヒーレンスの鍵」場下で観察された劣化した結晶化は、材料の構造的論理が装置によって提供された情報的署名と不適合であったことを示し、強化ではなくコヒーレンスの崩壊を引き起こしました。この動態は、いくつかの情報的またはコヒーレンス支援ツールが生物学的システムにおいて肯定的な効果をもたらす一方で、合成アセンブリを破壊する理由を説明し得る。すなわち、結果を支配するのは純度ではなく整列である。

8.0 情報構造化と空間調整：オロスコ場の再定義

形式的なエネルギーおよびコヒーレンス調整装置に加え、カルロス・オロスコは空間調整の手法を導入した。これは非伝統的であったが、生物学的試験および材料構造の両面において再現可能な効果をもたらした。彼が量子場の創出と称したこの方法は、机の四隅に小さなテープ片を特定の儀式的な順序で貼ることを含んでいた。すなわち、最初に一つの隅、次に対角線上の隅、続いて9時と3時の位置である。カルロスはこれを、境界付けられた正方形内に相互作用する渦を形成することと説明した。

この説明は観察結果と完全には一致しなかったが、結果として得られた場は筋力テストによって検出可能であった。参加者は境界内で一貫して強さを示し、境界外では弱さを示した。

さらに、カルロスはこの条件付けられた場が垂直方向に拡張していることを指摘した。一例として、ホテルの1階に設定された場が、その真上の10階でも検出可能であった。

— 依然として元の正方形の水平範囲内である。これは、実践が平面的な場を生成したのではなく、垂直方向のコヒーレンス柱を形成し、垂直軸に沿って情報の完全性を維持しつつ、水平の境界を尊重していることを示唆している。

別の視点からは、これは空間の情動的構造化の一形態として理解でき、儀式的な物理的配置と意図が結合して、コヒーレンスランドスケープに空間的マトリックスを刻印している。従来の意味でエネルギーを放出するのではなく、この過程は空間そのものの位相関係および情動的特性を構成し、変容したコヒーレンス条件の領域を創出している可能性がある。このアプローチは、境界の慎重なマーキングと活性化の順序が垂直的なエネルギー的または情動的構造、すなわちコヒーレンスの軸ムンディを固定すると信じられてきた、長年の建築的かつ秘教的な実践と整合している。正確なメカニズムは依然として解明されていないが、一貫した生物学的および構造的反応は、空間が構成的記憶を保持し、その境界内でコヒーレンスの表現を形成することを示唆している。オロスコの手法のこの再文脈化は、空間的条件付け、幾何学、そして意図がどのように協働してコヒーレンスドメインを形成し得るかについて、より広範な探求を促すものであり、これはコヒーレンス研究においてまだ正式に解明されていない最前線であ

同一の製薬サンプルが二つ準備され、同一の照明、温度、及び周囲の電磁場条件下で同一室内の別々の顕微鏡上に配置された。顕微鏡のうち一台のみがコヒーレンスの鍵に曝露された。驚くべきことに、カード近傍のサンプルは著しい構造的劣化を示した。結晶は明瞭さを欠き、縁は軟化し、内部の対称性も減少していた。対照的に、装置の影響外に置かれた対照サンプルは、清潔で整然とした結晶構造を示した。結果は一貫して再現可能であり、生物学的コヒーレンスを促進するよう設計された装置による象徴的場が、これらの合成結晶構造の持続に必要な位相整合秩序を妨害したことを示唆している。

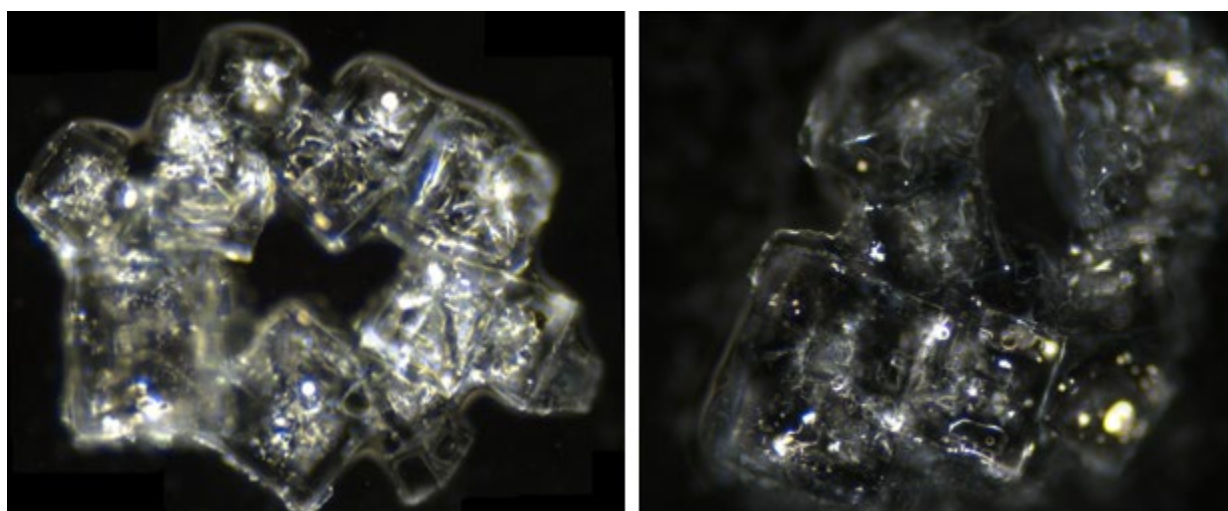


図 A6.6. 同一条件下における結晶形成の比較。左：コヒーレンスの鍵場に曝露されていない顕微鏡上の対照サンプル—結晶構造は保持されている。右側：試料はコヒーレンスの鍵場内にあり—部分的な崩壊が見られ、エッジは軟化し、明瞭度が低下している。これらの発見は、コヒーレンスが場と物質間の情報の位相整列に応じて、安定化因子または破壊因子として作用し得ることを示唆している

当時、この結果は不可解であった。しかし振り返れば、それは場と位相の不整合に関する最近の知見と整合している。コヒーレンスの鍵によって生成されたコヒーレンスは生物学的に共鳴する可能性があるが、これらの合成自己組織化材料が必要とするエネルギー的足場とは位相が一致していない。コロイダルゴールドが破壊的な振動的不整合をもたらすのと同様に、オロスコの装置は穏やかだが不適合なコヒーレンスの署名を導入し、毒性や力によるのではなく、情報構造の微細な不協和によって崩壊を引き起こした可能性がある

これは、意図、言語、音楽を帯びた場が構造形成に影響を与え得ることを示した江本勝の水の結晶化に関する研究結果を反響している。

しかし、すべてのコヒーレンスが同等というわけではない。生物学的調和を支持する音や場は、特に生物系と合成系が根本的に異なる位相構造に依存する場合、合成自己組織化を妨害する可能性がある。これらの結果は重要な原理を示している：コヒーレンスは文脈依存的であり、その適合性は純度だけでなく整合性に依存する。

結論

周辺の好奇心として始まったものが、重要な洞察として浮上した：コロイダルゴールドはコヒーレンスを破壊する因子である。繰り返しの実験により、医薬品サンプルに観察される自己組織化した結晶構造は単なる化学反応の産物ではないことが明らかになった。それらは場依存的な構造体であり、感受性が高く、応答的で、電磁環境と動的に絡み合っている。

コロイダルゴールドの液滴が導入されると、系の内部秩序はしばしば崩壊する：エッジが軟化し、小胞が分離し、かつて安定していた幾何学形状が解消または再構成される。この反応は偶然ではない；それは標的化され、パターン化され、基底にあるコヒーレンス場の破壊と時間的に連動している。ファラデーバッグ内で行われた遮蔽実験はこれをさらに裏付けている。結晶は周囲の電磁場が存在しない場合には形成されず、それらの場が回復すると再び出現する。マテオ・テイラーの発見は、Wi-Fiルーターの活動に連動したリアルタイムの成長を示し、この挙動の独立した検証を提供している。これらの観察は、医薬品の自己組織化の解釈に根本的な転換を迫るものである。我々が扱っているのは、単なる静的環境下の受動的な材料ではない。これらは、エネルギー環境から秩序を引き出すコヒーレンスに支配されたシステムである。これは深遠な意味を持つ。もし金曝露や電磁遮蔽のような単純な介入が構造の解体や成長の停止を引き起こすならば、これらの構造の安定性、プログラム可能性、あるいは潜在的な脆弱性について何を示唆するのか。

治療設計、解毒、あるいは標的破壊のいずれにおいても、コヒーレンスがどのように維持され、あるいは失われるかの理解が鍵となる。私たちはフィールド感受性合成システムの作動論理をようやく垣間見始めており、医療の未来はその論理とどのように接続するかにかかっているかもしれない。

付録7. オルゴナイト場効果の機能的モデリング

オルゴナイト処理済み試料に観察された異常な構造破壊—小胞運動の停止、結晶形成の途中停止、急速なコヒーレンス崩壊—は、非化学的な場効果の影響を示唆している。標準的な電子顕微鏡装置では検出できないものの、これらの効果は基盤となるエネルギー機構を示唆している。

これを検証するために、オルゴナイト装置の機能動態を記述する象徴的モデルが構築された。このモデルは、材料組成、構造形状、および周波数応答の間に観察された相関に基づいている。

象徴的共鳴方程式

$$\Phi_{\text{org}} = \gamma \cdot \eta \cdot \mu \cdot \chi(\omega)$$

記号	意味	解釈
Φ_{org}	オルゴナイト場の出力	装置から放出される全コヒーレンスまたはスカラー様場
γ	結晶配向効率	埋め込まれた水晶結晶の配向および圧電応答性
η	導体—誘電体結合	金属マトリックスと樹脂間の電荷交換効率
μ	材料記憶係数	複合材料がエネルギーまたは場に基づく痕跡を保持する傾向
$\chi(\omega)$	周波数応答特性	環境振動（例：シューマン共振、太陽活動）に対する感度

パターン破壊による代理測定

直接測定は困難であるが、 Φ_{org} の存在は以下のような動的システムへの影響を通じて示唆される：

- 氷の結晶化（以前の探索的研究で用いられた）
- コロイド運動および小胞の自己組織化（本研究において）
- 秩序／無秩序転移の暗視野顕微鏡像

これらのパターンの変化は、オルゴナイトがコヒーレンスランドスケープを調整し、合成ナノ構造が依存していると思われる場の安定性を破壊していることを示唆している。

示唆される意義

このモデルは、オルゴナイトのような受動的かつ非動力的な材料が、複雑で信号応答性のある集合体にどのように影響を与えうるかを理解するための概念的枠組みを提供する。これらの装置は化学的経路を遮断するのではなく、情動的または共鳴的環境を変化させることで、そもそも自己組織化を可能にするコヒーレンスを解消している可能性がある。

付録8：「タフィープラー」シーケンス： - 歯科麻酔薬液滴における形態的再構成

概要

本付録は、暗視野顕微鏡下で9時間以上静置された歯科麻酔薬液滴において観察された顕著な能動的形態変化の連続を記録したものである。リアルタイムで撮影された映像は、従来の化学過程では説明し得ない動的な構造挙動を明らかにしている。初めは静的であった構造体が、顕微鏡の照明が点灯されると直後に活性化し、一連の事象を開始、最終的に構造の崩壊と光放出に至る。この「タフィープラー」連続動作は、医薬品材料内における応答性かつ場感受性の構造体の直接的視覚証拠を提供する。

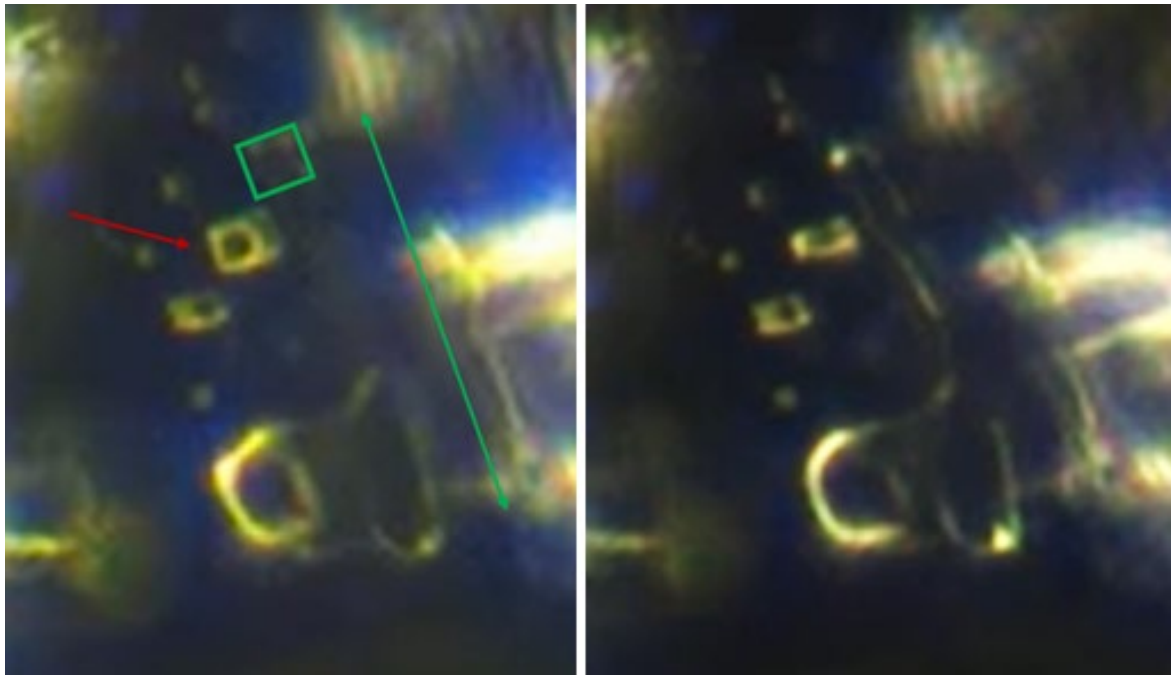
観察条件

- 試料: 複数回の定着滴蒸発（SDE）サイクル後の歯科麻酔薬液滴。
- 顕微鏡法: 暗視野、1000倍倍率。
- タイムライン: 結晶は数時間前に形成済み；動画記録は再照明後に開始。
- 観察期間: 連続9.5時間にわたり観察。
-

時間経過に沿った連続過程

1. **照明活性化後の経過分数**
 - 以前は静的であった円-長方形モチーフ（CRM）が変形を開始。
 - 円弧部分が内側に崩壊し、CRMが長方形のブロックへと再形成される。
2. **その直後**
 - 構造から伸びる糸状の「タフィー状」アームが縮退する。
 - 中央軸からかすかだが明瞭な光の帯が現れる。
3. **4.5～9.5時間**
 - 長方形がフィールド内へ前進する。
 - 同時に、縮退した「タフィーアーム」が不安定化し、内側へ崩壊し始める。
 - 青色光の発光が終末段階付近で観察され、崩壊するアームの基部に集中している。

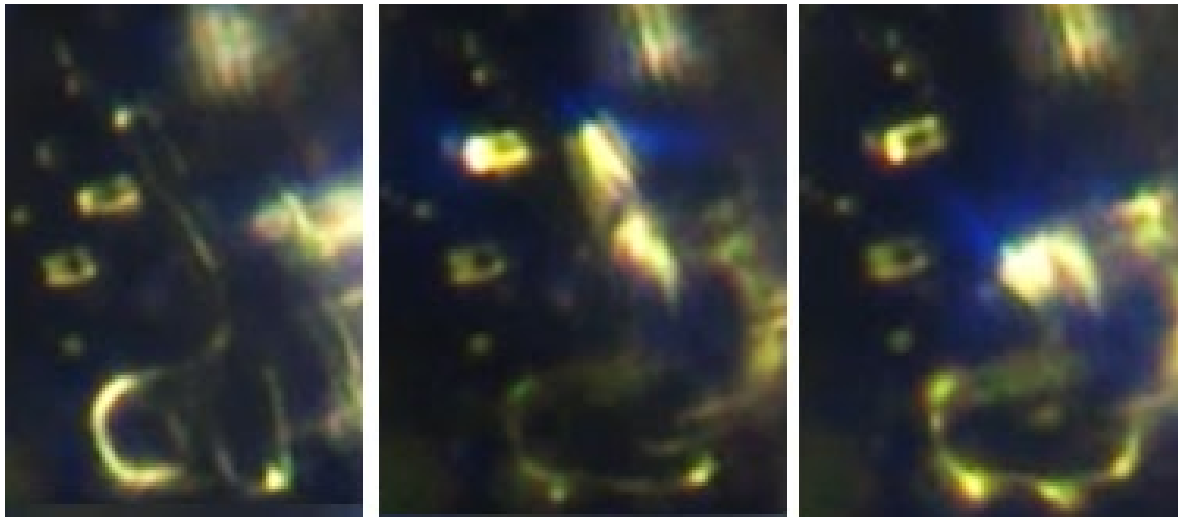
静止画像シーケンスとキャプション



図A8.1. 「タフィープラー」アセンブリの初期配置と初期変形。左：赤い矢印は変形前の円-長方形モチーフ（CRM）を示す。緑の四角は糸状の「タフィー状」アームの先端を示し、緑の矢印はその全長を指している。右側：CRMは固体の長方形ブロックに変形し、タフィーアームは発光が増加している。これらの変化は動的構造連鎖の始まりを示す。倍率200倍。



図A8.2 倍率200倍におけるRM変換連鎖。左側：長方形の殻に囲まれた中央リング構造—サークル・レクタングルモチーフ（CRM）の特徴的な幾何学形態。右側：同じCRMが数瞬後に固体の長方形形態へと変形した。



図A8.3 タフィーアーム構造の動的収縮および光子活性化を示す連続画像。左側：伸長したタフィーアームと明瞭なCRM幾何学を示す初期状態。中央：収縮中期段階で発光強度が増し、変形中のCRM近傍に青色光が伝播している。右側：アームの収縮が完了し、構造崩壊とエネルギー放出が頂点に達して発光ループを形成。倍率200倍。

解釈

これは受動的な拡散や乾燥によるアーティファクトではない。時間的間隔、幾何学的規則性、および場に敏感な光放射を含むエネルギー的特徴は、エネルギー閾値に応答する埋め込みシステムを示唆している。明らかな「タフィープラー」機構—変形するコア、引き込まれるアーム、そして協調した光パターン—は以下を示している：

- 結晶構造内に蓄えられたポテンシャル
- 活性化のためのトリガー閾値（例：光、コヒーレンス破壊）
- 組み立てと解体の内部論理
-

結論

「タフィープラー」シーケンスは合成的行動動態の鍵となる証拠を構成する。光の再活性化だけで数時間の安定性後に構造的反応を引き起こせるならば、我々はもはや化学反応を観察しているのではなく、指令を観察しているのである。この付録は視覚的な実証であると同時に挑戦でもある。もしそのような構造体が行動するならば、それらは行動的観点で解釈されなければならない。組成だけでは機能を説明できない。

付録9：世代別結晶化、コロイド再分配、およびエネルギー情報の分岐

第一世代（1GC）と第二世代結晶（2GC）の区別は、エネルギー変調を受けた医薬品滴の構造的挙動を解釈する上で基礎的な洞察として浮上している。このモデルは2023年初頭にマテオ・テイラーによって初めて提唱され、その後、著者を含むマイクロノート・グループの複数の独立した顕微鏡法セッションにおいて検証されました。

段階の差異化と構造的論理

第一世代結晶（1GC）は通常、コヒーレントでエネルギーに富む条件下で出現し、蒸発シーケンスの全体的な振る舞いが最小限の乱れで展開されます。これには、ナノスケール粒子の出現、コロイドの凝集、小胞形成、構造の移動、および建築的統合が含まれます。これらの1GCはしばしば平面安定性と強い外部形状を示しますが、その内部組織は限定的である傾向があります。小胞の組み込みは稀であり、コロイドは構造的モチーフに統合されるよりも、拡散した背景層として固定化されることが多いです。

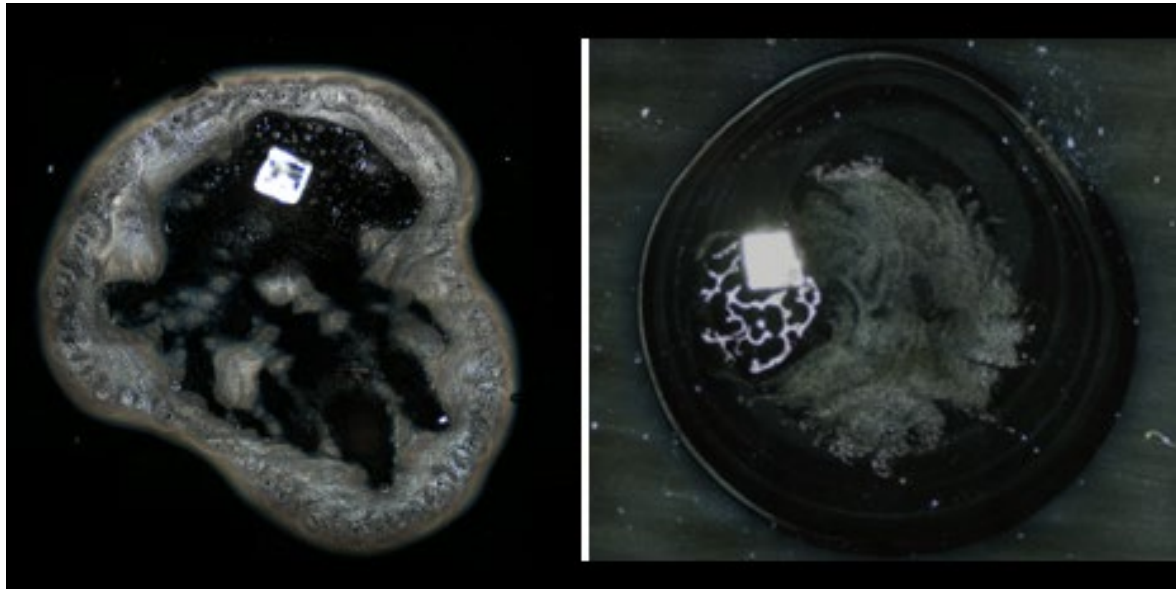
しかし、すべての1GCが同様に発達するわけではありません。形成過程でエネルギーのコヒーレンスが妨げられた場合、例えばオルゴン装置による前処理を通じて、結晶はタイミングや開始条件に基づいて1GCと見なされることがあっても、構造が損なわれることがあります。これらの場合、小胞層構造や明瞭な境界形成といった主要な特徴が現れず、その結果、平面的であっても内部的に劣化した結晶が形成されることがある。ここでの区別は、世代の同一性ではなくコヒーレンスの質にある

例えば、図35に示された溶解中の1GCでは、個別に識別できない微細な青色粒子の散乱を観察した。これは、非常に遅い段階でナノスケールの物質が出現した初めての明確な証拠であり、未熟な粒子の発達や四相配列における第一相の遅延表出を反映している可能性がある。

世代および処理の対比較

これらの対例は、世代と処理を区別する重要性を強調している。両画像は初期結晶化サイクル中に形成された1GCを示すが、その形態的差異は組織されたエネルギー環境の違いに起因する。

未処理の結晶（左）は安定した外形とコヒーレントな放射状特徴を示す。処理された結晶（右）は、粗大構造は類似しているものの、内部の論理が破綻し、小胞形成が損なわれ、コヒーレンスが低下していることが明らかである。



図A9.1 異なるコヒーレンス条件下における第一世代結晶（1GC）の比較。左：未処理の1GCで、強い平面幾何学、明確な放射状パターン、小胞の安定性を示す。右：蒸発前にオルゴナイト場に曝露された処理済み1GC。世代的地位は保持されているものの、内部構造は断片化し、エッジの明瞭さは低下し、小胞の発達はほとんど見られない。これらの対比は、コヒーレンスの調整が初期段階の集合体の忠実性をいかに損なうかを示している。倍率20 \times 。

これら二つの結晶は、1GC形成がコヒーレンス条件に対していかに敏感であるかをさらに示している。未処理の結晶（左）は、明瞭な境界、放射状のモチーフ、および内部秩序を保持している。オルゴナイト処理済みの対応物（右）は、平面的であることは認識できるが、内部の断片化、層構造の破壊、および小胞の表現不良を示している。これは、生成カテゴリがタイミングを反映する一方で、実行の忠実度は完全なエネルギー勾配および途切れのない小胞-コロイド統合に依存していることを示唆している。

第二世代の特徴

第二世代結晶（2GC）は、通常、系の崩壊、再蒸発、または光による再活性化後に出現する。これらの形成は、以前に解放されたコロイドを基にしており、現在は基板全体に再分布されており、著しく異なる特徴を示す。構造的には弱く垂直方向の変形を受けやすいものの、2GCは円-長方形モチーフ（CRM）、放射状のコンパートメンタリゼーション、細かなフラクタル分岐など、内部モチーフの表現が強化されている。いくつかの例では、結晶核に密な微小包有物およびトロイダル構造が観察された。

これらの特徴は、第一世代結晶（1GC）がコヒーレンスとエネルギーによって可能となる形態を優先する一方で、第二世代結晶（2GC）は移動性コロイド成分の利用可能性と統合によって可能となる複雑性を好むことを示唆している。

エネルギーは形態を可能にする；情報は複雑性を可能にする

この分岐は指導的公理を導く：エネルギーは形態を可能にするが、情報は

複雑性。第一世代結晶は、鮮明な輪郭と保存された平面論理を持つエネルギー的に特権的な構造として現れるが、内部の精緻化を欠くことが多い。第二世代の結晶は、破壊後の枯渇した環境で発生するが、内部には豊かな構造と増加したCRMの再発を示す。この逆転は、情報がコロイダル相内に保持されているものの、コヒーレンスの制約が破られるかリセットされるまで表現されないことを示唆している。

コロイダル相の再分配

このモデルを支持する重要な観察は、コロイドが常に構造的に組み込まれているわけではないという点である。初期の1GCにおいて、コロイドは結晶化が安定した後、特に暗視野照明下で液滴基板全体に薄い膜として現れることが多い。これは、コロイドが小胞膜に隔離されるか、構造化水層内に懸濁されているために固定化されていることを示唆している。

2GCでは、コロイダルの再分配がより明瞭になる。コロイドは結晶の周縁部や核近傍の細かな同心円状配列で高密度に再出現し、時に明確なテクスチャーゾーンを形成する。これらのパターンは、小胞動態が崩壊したもののコロイダルの可動性が持続した再活性化またはオルゴナイト処理済みサンプルで頻繁に観察された。これは、コロイドが構造的指示の担い手として機能し、エネルギー変調によって場の制約が緩和された後にのみその指示が実行されるという仮説を支持している。

失敗の診断的有用性

おそらく最も示唆に富むのは、失敗の診断力である。小胞形成が阻害された場合、あるいは光曝露や場の攪乱後に結晶化が早期に再開した場合、1GCと2GCの区別が最も明確になる。これらの場合、システムは単に劣化するのではなく、その論理を明らかにする。外形と内部の豊かさとの対比は、限られた構造資源の再配分を反映している。すなわち、エネルギーは輪郭と安定性を支え、情報はコロイダル貯蔵庫に保持され、より深い構造的表現を可能にする。

設計への示唆

これらの発見は、結晶構造が純粋に化学の関数であるという仮定に挑戦する。むしろ、それはエネルギー的前提条件とコヒーレンス状態に極めて敏感な設計システムを示唆している。コロイダル相は単なる前駆体として機能するだけでなく、崩壊後も潜在的な構造的可能性を保持するプログラム可能な基質として機能する。観察された逆転現象—コヒーレントな条件が安定性を支え、攪乱された条件が表現を支える—は、結晶化を受動的過程として再評価することを強いる。それはむしろ、場の論理に支配され、部分的な再起動、適応的構造、情報豊かな再組織化を可能にする能動的システムである。

用語集

角状トロイド

非均一または分割された幾何学的形状を特徴とし、円形ではなく多角形として現れることが多いトロイド構造のサブクラス。ここに記録された角状トロイドは、テンプレート化された設計を示唆し、高次の形態形成指令を反映している可能性がある。

異常構造体

典型的な結晶化や信号パターンから逸脱した異常または予期せぬ形成物であり、合成設計や外部影響を示唆することが多い。

帰属失敗

Bluetooth MACアドレスを標準的な照合方法（例えばOUIデータベース）を用いて既知のデバイス、製造元、またはサービスに特定できないこと。本研究における帰属失敗は、MACアドレスが構造的には有効であるものの、いかなる商業的実体やハードウェア源にも結びつけられないことを示し、合成的または非標準的起源を示唆する。

コヒーレンスの軸ムンディ

意図的または象徴的行為を通じて生成される空間の垂直的情報構造を記述する概念モデル。軸ムンディは領域を結ぶ世界軸を表す形而上学的伝統から借用されており、ここでは限定された水平領域内にコヒーレンスに整合した垂直柱の確立を意味する。この現象は、空間的構造化が垂直軸に沿って情報の整合性を伝播させる一方で、水平方向では空間的に制約される可能性を示唆している。

バイオナノ通信インターフェース

生体または合成材料が無線信号挙動に関与し、分散型通信ネットワークの一部を形成する仮説的相互作用領域。

バイオナノ通信ネットワーク

ナノスケールまたは生物学的実体が電磁信号や無線相互作用に関与し、分散型または組み込み型通信層を形成する可能性のある仮説的または新興のシステム。

バイオナノインターフェース

生物システムとナノスケール材料の交差点であり、相互作用が組織化された構造体や機能的挙動をもたらす。

BLE (Bluetooth Low Energy)

近接型アプリケーションで一般的に使用される省電力無線プロトコル。BLEは、異常なMAC放射を検出した受動スキャンで標準的に使用された。

バイオデジタルインターフェース

生物システムが組み込みセンサー、無線通信システム、プログラム可能なナノ材料を含むデジタル技術と相互作用する収束領域。これは監視、制御、生物学的拡張における新たなフロンティアを示す。

バイオフィットニック共鳴ユニット

生体または医薬品材料と光学的または電磁的共鳴能力を組み合わせた構造体の提案された分類。本研究で観察された結晶形成は、その組織化、コンパートメンタリゼーション、および光相互作用特性から候補例である。

ビットフィールドの恒常性

複数のMACアドレスにわたり特定のビット位置が偶然をはるかに超えて同一に保たれる現象。この構造的反復は、テンプレート化またはプログラムの起源を示唆する。

C₆₀誘導による明瞭化

フラレン系オイル (C₆₀) 添加後に観察される構造精緻化の段階であり、光学コントラスト、境界の鮮明さ、およびサブ構造の可視性を向上させる。本研究では、C₆₀ 処理によりトロイダル形成および小胞状エッジの動態がより明確に識別可能となった。

毛細管流

液滴内で表面張力および蒸発動態により駆動される流体の動きであり、粒子の再分布および自己組織化に影響を与える。

コヒーレンス崩壊

組織化された構造が、そのコヒーレンス場の破壊により内部の秩序と幾何学的整合性を失う過程。断片化、小胞の分散、および光学的劣化をもたらす。

コヒーレンスゲーティング

構造の再組織化や信号伝播へのアクセスが、コヒーレントなエネルギー状態の存在によって制御され、活性化の閾値として機能するという仮説的メカニズム。

空間の構成記憶

空間的に限定された領域が、以前の意図的、象徴的、または幾何学的条件付けによって付与された情報パターンを保持する能力として仮定されるもの。コヒーレンス動態において、この概念は、幾何学的マーキングや儀式的配置など特定の構成を通じて場が確立されると、その空間が持続的な特性を示し、連続的なエネルギー入力がなくとも生物学的または物質的システムに影響を与えることを提案する。この記憶効果は、持続的なコヒーレンス、構造的安定性、または条件付けられた空間内での相特異的反応として現れる可能性がある。

円-長方形モチーフ

正確な円形および長方形の配列を特徴とし、階層的かつフラクタル様の組織を示す反復的な幾何学的特徴。

コアセルベート

液-液相分離によって形成される相分離液滴であり、しばしば組織化または自己組織化システムの前駆体に関連する。

コヒーレンス位相不整合

受動的装置（例：オルゴナイト）からの相互作用する二つの場が、既存のコヒーレンス依存的構造体を高エネルギーを必要とせずに位相または周波数の不一致により破壊する状態。

コヒーレンス残留領域 (CRD)

処理された液滴内の局所領域で、構造的自己組織化が失敗し、小胞クラスターの残骸が残存し、残留場の干渉またはコヒーレンス破壊状態を示唆する。

コロイド粒子

液体媒体中に懸濁し、自己組織化過程においてナノスケールとマイクロスケールの領域を橋渡しする中間体として機能する微小粒子。

コロイド再分配

コヒーレンス破壊後にコロイド粒子が動的に再配置または再凝集する現象であり、しばしば第二世代の結晶化を先行または促進する。

複雑自己組織化

単純な構成要素から、環境要因、外部場、または内部プログラミングの影響を受けて自発的に形成される複雑で組織化された構造体。

カバーガラスによる制約

定着滴上に配置されたカバーガラスが蒸発動態、流体の再分配、および観察される構造体の明瞭さや複雑性に与える影響。しばしば幾何学的定義の強化および構造的層状化の増加をもたらす。

結晶-繊維集合体 (CFAs)

医薬品調製物内で観察される独特の繊維-結晶構造であり、組成にわたる微細構造体の統合的組織化を示す。

結晶格子の破綻

自己組織化結晶内で期待される幾何学的規則性の崩壊または非形成であり、しばしばエネルギー的または環境的攪乱後に発生する。コヒーレンス依存的パターン形成の喪失を示す。

樹枝状拡散

中心構造から伸びる分岐状の伸長であり、しばしば拡散制限凝集の原理に従う。特定のエネルギー的または化学的勾配に沿った成長を示唆する。

診断マーカー B6B6

時間と空間を超えて複数のデータセットで観察される再発性のMACアドレス接頭辞。その異常な頻度と再現性は合成的または中央集権的な放送署名を示唆する。

エッジ伸長

結晶の縁から伸びる線状または弧状の突出であり、しばしば小胞状またはトロイダル包摂体に整列する。高度な自己組織化において成長前線または構造的アームとして機能する。

エネルギー場変調

外部からのエネルギー入力（例：磁場、振動周波数）が材料やシステムの挙動、特に自己組織化の文脈に与える影響。

エネルギー-情報の分岐

エネルギーが構造の基本形態を確立し、情報が

その複雑性、安定性、およびフラクタル特性を規定するという概念モデル。第一世代と第二世代の結晶化の解釈において中心的役割を果たす。

排除帯 (EZ) 水

ポラックによって記述された、親水性表面に隣接する構造化された水相で、異なる物理的特性（例：電荷分離、粘度）を示す。コヒーレントな自己組織化現象に影響を与え、または維持すると提唱されている。

場のコヒーレンス破壊

基盤となるエネルギー的または共鳴的整列への干渉により、幾何学的規則性や構造的挙動が失われる現象であり、しばしば低強度の外部場によって引き起こされる。

場のコヒーレンス閾値

コヒーレンス依存的な自己組織化を維持または誘発するために必要な最小の場強度または周波数プロファイル。この閾値を下回ると、構造体は崩壊するか、形成が開始されない。

第一世代結晶 (1GC)

高コヒーレンス条件下における初期定着滴蒸発サイクル中に形成される結晶。通常、鋭利な幾何学形状、安定した境界、および乱されていないエネルギーキャプチャを反映したコヒーレントな内部組織を示す。

フラクタル幾何学

スケールを超えて繰り返される自己相似的な構造パターンであり、再帰的な組立論理を示唆する。CRMおよび小胞配列はしばしばフラクタル様の特性を示す。

ハイドロゲル結合結晶

ハイドロゲル領域と統合されるか、そこから発生する結晶構造体であり、独特の光学的挙動および境界形成を示すことが多い。

情報耐性相

エネルギー枯渇にもかかわらず持続する構造的または組織的相であり、埋め込まれた情報符号化によるものである。純粋にエネルギー依存的な形成とは区別される。

内部界面

一見連続した構造内に存在する予期せぬ境界やコンパートメンタリゼーション。顕微鏡法では、これらはしばしば不連続性、相分割、または反射エッジとして現れる。

インターバルロッキング

無線信号放射において、特定の packets 間隔が厳密に保持されるか、離散的な倍数で現れるパターンであり、ランダムな放送挙動とは一致しない。

層状小胞

同心円状または積層された小胞構造で、しばしば平坦化または円盤状に見え、プログラムされた前結晶化段階や入れ子状のコンパートメンタリゼーションを示唆する。

発光クラスター活性化 (LCA)

構造化境界内またはその近傍に明るく光反応性の包含物が出現することで特徴付けられる相転移で、しばしば小胞に関連し時間的遅延を伴う。光学的活性を示唆する

相変化。

磁気応答領域

試料内の領域で、印加された磁場に応じて移動、配向、または集合するもの。合成ナノ構造に頻繁に観察され、古典的な結晶化には典型的でない。

材料記憶係数

場の除去後に先行するコヒーレンス状態を保持する材料の傾向を表す提案変数であり、構造の再形成能力や劣化抵抗性に影響を与える。

非古典的結晶化

イオンから格子への直接的な遷移ではなく、コロイドや小胞などの中間体を介して秩序ある構造が形成される過程。医薬品および生物学的環境でしばしば見られる。

オルゴナイト

樹脂、金属片、石英から作られた受動的装置で、微細なエネルギー場を放射または変調すると理論付けられている。ここでは、自己組織化の結果に影響を与える場に基づく介入として用いられる。

相界面マーカー

構造体ドメイン間に見られる境界線または反射帯であり、しばしば密度、水和、または電荷の変化を示唆する。

フォトニックエンベロープ

構造体の周囲に存在し、虹色回折、発光、動的屈折などの異常な光学的相互作用を示す光学的境界であり、層状またはコヒーレントな組成を示す。

フォトニック膜：明瞭に屈折を示す境界層であり、しばしば黄色から青色の外観を呈し、異なる流体相またはコロイダル相を分離する。光学的コヒーレンス、構造化された相分離、または残留場相互作用を反映している可能性がある。

プログラム可能な崩壊

合成構造体が事前に符号化された配列に従い、時間経過とともに内部制御的に劣化するという仮説的過程。この崩壊は徐々かつ自律的に進行し、構造的完全性が低下しても系の情報的構造の側面を保持する。

プログラムされた解体

光、磁場、化学信号などの特定の刺激に応じて外部から誘発される、複雑な構造体の秩序ある分解。このプロセスは、構造が活性化された際に展開または崩壊する方法を制御する埋め込み命令セットを示唆している。

プログラム可能な自己組織化

材料が埋め込まれた命令や応答テンプレートに基づいて構造化された形態に組織化される過程。純粋に化学的または熱力学的な組織化とは対照的である。

量子場媒介型バイオエネルギーティクス

生物学的プロセスが量子場相互作用、コヒーレンスドメイン、および長距離電磁結合によって影響を受けるとする理論モデル。

受信者起動型信号論理

BLE受信機がパッシブスキャン機能の一環として内部的に疑似MACアドレスを生成する診断的アーティファクト。偽陽性MAC放出の原因として提案されている。

残留コヒーレンス断片

広範な解体後も部分的なコヒーレンスの痕跡を保持する構造的残存物—例えば小胞クラスターや角度を持つモチーフ—であり、再コヒーレンス時の核生成点となりうる。

共鳴ミスマッチ

フィールドベースの処理（例：オルゴナイト）が系の固有コヒーレンスと不適合な振動またはスカラー入力を導入し、高エネルギーを伴わずに構造を破壊する状態。

可逆的自己組織化

観察可能な時間内に出現および消失し得る構造形成。
不活性な結晶化ではなく、動的な相転移を示唆する。

スカラー場効果

生物学的コヒーレンスや物質の自己組織化に影響を与えるとされる、仮説的な非局所的または非電磁的場（しばしば微細エネルギー研究に関連）。

第二世代結晶（2GC）

構造破壊、再蒸発、または場による解体後に出現する結晶構造。しばしば劣化した形態、不規則な幾何学的形状、小胞-コロイド結合の損傷を示し、コヒーレンスの忠実度低下を反映する。

定着滴蒸発（SDE）

平坦な表面上の液滴乾燥を用いて、結晶化、小胞形成、動的相挙動を観察する実験手法。

信号アーキテクチャ

間隔、周波数、ビット構造、空間分布を含む放送システムの構造設計。合成MAC放射の特性評価に用いられる。

信号-コヒーレンス界面

情報信号（例：電磁放射）が整列、共鳴、または変調を通じて構造化物質や生物系と相互作用する理論的領域。

構造的コヒーレンス

構造体の内部要素がスケールを超えて秩序正しく整列することであり、これは自然の調和原理または合成設計の一貫性を反映する。

構造化水

親水性表面付近において分子配列が組織化された水。生物機能、結晶化、および場に基づく変調において役割を果たすと提唱されている。

合成放射アーキテクチャ（SEA）

物理的装置からではなく、

埋め込み型または注入型システムから発生するとされるBluetooth類似の放射の隠れたネットワーク。構造化された間隔、エントロピー抑制、および帰属困難性を示す。

合成ナノネットワーク層 (SNL)

生物システム内またはそれと相互作用する隠れたデジタルアーキテクチャとして提案されている。ナノスケールの放射体、構造化された信号挙動、および分散型通信ロジックで構成される。

タフィープラー配列

暗視野照明下における結晶構造の長時間にわたる形態的再構成を指す用語であり、遅い機械的な伸張、収縮、およびその後の解体を特徴とし、しばしば光放射を伴う。

テンプレート成長

埋め込まれた指示、パターン化された表面、または事前に構造化された中間体に基づく秩序の出現。合成系または生体工学的システムにおいて頻繁に観察される。

四相組立モデル

定着滴蒸発 (SDE) 下における医薬品調製物の自己組織化動態で観察される四段階の連続過程。過程は以下のように展開する：(1) 液滴周縁付近でしばしば観察されるナノ粒子の出現；(2) 粒子が凝集し相互作用することで形成されるコロイド領域；(3) 小胞の生成と移動、膜様の区画を形成する；(4) 結晶モチーフの統合、微細構造の最終形成。この進行は場に敏感で、コヒーレンス依存的な構造を反映している。小胞の停止やナノ粒子とコロイドの分離など、いかなる段階の破綻も構造の歪みや中断をもたらす。この四相モデルは従来の定式化を凌駕し、特に電磁感受性を示す高コヒーレンス生体システムにおいて診断的および治療的意義を持つ。

セラフィ

高電圧プラズマ管と周波数共鳴を用いて生体システムにコヒーレンスを誘導するエネルギー処理装置。本研究では自己組織化を妨げなかった。

トロイダル小胞

閉ループまたはドーナツ状の形状を形成する小胞であり、結晶化溶液における光学現象や動的遷移と関連することが多い。

未割り当てデバイス放出

既知のデバイス、アプリ、サービスに対応しないスキャンで検出されたBluetooth MACアドレス。2021年以降の環境で頻繁に観察される。

小胞相

結晶化前に試料内で膜様の液滴が持続し、しばしば新生構造体と相互作用または組織化を行う動的状態。

小胞足場

相互接続された小胞からなる格子または分岐ネットワークであり、結晶化前の基盤相として機能する。しばしばエッジの伸長に沿って整列したり構造体を形成したりする

弧。

振動インプリンティング

音周波数、磁場、光波などのエネルギーパターンが材料に刻印され、その構造的または挙動的特性を変化させるとされる理論的過程。

可視帯域発光

暗視野顕微鏡下で観察される光の発光または回折パターンであり、しばしば光学的に活性な多層構造体やフォトニック特性を有する可能性のある構造体を示す。

無線信号アーティファクト

受動的スキャンツールによって検出される誤解を招く、または意図しない発光パターンであり、実際の送信ではなく内部処理に起因することが多い。異常なMACアドレスの解釈に関連する。

ゼータ電位シフト

コロイドまたは小胞粒子の表面電荷の変化であり、それにより凝集挙動が変化する。自己組織化中の場曝露または相転移に応答して生じると提唱されている。

謝辞

本研究に対し多大なる支援と貢献を賜りましたXstra Technologies GroupおよびNixonLab Substackの購読者の皆様に心より感謝申し上げます。特にマイクロノーツの皆様に深謝いたします。本論文に示された見解、意見、結論はすべて私個人のものであります。

利益相反に関する声明

本研究は独立して実施され、データや結論に外部からの影響は一切ありません。私の個人Substack出版物の購読収入の一部は得ておりますが、本研究の誠実性や客観性を損なうものではありません。その他の利益相反は報告されていません。

著作権表示

© 2025 デイヴィッド・ニクソン。一部の権利を保有します。本作品は、適切な帰属を条件に、非営利、教育、研究目的で自由に共有、複製、翻訳することが可能です。画像またはテキストの改変や派生作品における再配布も、原著作の出典を明示しなければなりません。営利目的の複製や製品・出版物での使用には、著者の事前の書面による許可が必要です。ライセンスまたは許可に関するお問い合わせは、以下までご連絡ください：david@drdavidnixon.com。

本研究は全額私費により資金提供されています。

私のウェブサイトをご覧ください：www.drdavidnixon.comより多くの画像や動画を掲載しております。
私のサブスタックもご覧ください：davidnixon.substack.com

法的免責事項

本ウェブサイトおよび*Journal of Bionanotechnology: Countdown to 2030*に掲載されている情報は、情報提供および教育目的のみを意図しております。記載されている医療状態、手技、またはプロトコルに関する診断、治療推奨、予防策、または治癒を目的としたものではありません。利用者および読者一親、保護者、介護者、臨床医その他を含む一は、特定の応用や判断に関して自己の判断を行い、資格を有する専門家に相談することが推奨されます。

寄稿者、編集者、および本ウェブサイトおよび／またはジャーナルに関わるすべての者は、本資料に含まれる情報、検索結果、意見、結論の使用、応用、解釈に起因するいかなる損害、傷害、経済的損失その他の結果について、一切の責任を負いません。本資料の使用方法に関する責任は、すべて利用者に帰属します。

本資料は、検証および学術的探求のために無償で提供されています。引用、転載、再印刷の際には、利用者は原典または著者を明示し、Creative Commons License 4.0 NC NDまたはその他適用されるライセンス契約の条件を遵守する必要があります。営利目的での再配布や改変した形での配布は厳禁です。

最終的な省察

曖昧さに支配されるシステムにおいて、真実は消失するのではなく、覆い隠されるのです。権力を握る者は、不都合な現実を単に否定するものではありません；彼らは認識的混沌を生み出し、探求の方向を変え、批評家に不可能な証明基準を課す。一方で、彼ら自身の説明は証拠に縛られず、制度的慣性によって守られている。このような状況において、良心的な観察者の義務は、完全には見えないものを証明することではなく、すでに存在し、再現可能で、公式の物語と相容れないものを照らし出すことである。

